

Edition 1.0 2017-06

# INTERNATIONAL STANDARD

# NORME INTERNATIONALE



Semiconductor devices – Mechanical and climatic test methods – Part 43: Guidelines for IC reliability qualification plans

Dispositifs à semiconducteurs – Méthodes d'essais mécaniques et climatiques – Partie 43: Lignes directrices concernant les plans de qualification de la fiabilité des CI





## THIS PUBLICATION IS COPYRIGHT PROTECTED Copyright © 2017 IEC, Geneva, Switzerland

All rights reserved. Unless otherwise specified, no part of this publication may be reproduced or utilized in any form or by any means, electronic or mechanical, including photocopying and microfilm, without permission in writing from either IEC or IEC's member National Committee in the country of the requester. If you have any questions about IEC copyright or have an enquiry about obtaining additional rights to this publication, please contact the address below or your local IEC member National Committee for further information.

Droits de reproduction réservés. Sauf indication contraire, aucune partie de cette publication ne peut être reproduite ni utilisée sous quelque forme que ce soit et par aucun procédé, électronique ou mécanique, y compris la photocopie et les microfilms, sans l'accord écrit de l'IEC ou du Comité national de l'IEC du pays du demandeur. Si vous avez des questions sur le copyright de l'IEC ou si vous désirez obtenir des droits supplémentaires sur cette publication, utilisez les coordonnées ci-après ou contactez le Comité national de l'IEC de votre pays de résidence.

IEC Central Office Tel.: +41 22 919 02 11 3, rue de Varembé Fax: +41 22 919 03 00

CH-1211 Geneva 20 info@iec.ch Switzerland www.iec.ch

#### About the IEC

The International Electrotechnical Commission (IEC) is the leading global organization that prepares and publishes International Standards for all electrical, electronic and related technologies.

#### **About IEC publications**

The technical content of IEC publications is kept under constant review by the IEC. Please make sure that you have the latest edition, a corrigenda or an amendment might have been published.

#### IEC Catalogue - webstore.iec.ch/catalogue

The stand-alone application for consulting the entire bibliographical information on IEC International Standards, Technical Specifications, Technical Reports and other documents. Available for PC, Mac OS, Android Tablets and iPad

## IEC publications search - www.iec.ch/searchpub

The advanced search enables to find IEC publications by a variety of criteria (reference number, text, technical committee,...). It also gives information on projects, replaced and withdrawn publications.

## IEC Just Published - webstore.iec.ch/justpublished

Stay up to date on all new IEC publications. Just Published details all new publications released. Available online and also once a month by email.

#### Electropedia - www.electropedia.org

The world's leading online dictionary of electronic and electrical terms containing 20 000 terms and definitions in English and French, with equivalent terms in 16 additional languages. Also known as the International Electrotechnical Vocabulary (IEV) online.

## IEC Glossary - std.iec.ch/glossary

65 000 electrotechnical terminology entries in English and French extracted from the Terms and Definitions clause of IEC publications issued since 2002. Some entries have been collected from earlier publications of IEC TC 37, 77, 86 and CISPR.

## IEC Customer Service Centre - webstore.iec.ch/csc

If you wish to give us your feedback on this publication or need further assistance, please contact the Customer Service Centre: csc@iec.ch.

#### A propos de l'IEC

La Commission Electrotechnique Internationale (IEC) est la première organisation mondiale qui élabore et publie des Normes internationales pour tout ce qui a trait à l'électricité, à l'électronique et aux technologies apparentées.

#### A propos des publications IEC

Le contenu technique des publications IEC est constamment revu. Veuillez vous assurer que vous possédez l'édition la plus récente, un corrigendum ou amendement peut avoir été publié.

## Catalogue IEC - webstore.iec.ch/catalogue

Application autonome pour consulter tous les renseignements bibliographiques sur les Normes internationales, Spécifications techniques, Rapports techniques et autres documents de l'IEC. Disponible pour PC, Mac OS, tablettes Android et iPad.

## Recherche de publications IEC - www.iec.ch/searchpub

La recherche avancée permet de trouver des publications IEC en utilisant différents critères (numéro de référence, texte, comité d'études,...). Elle donne aussi des informations sur les projets et les publications remplacées ou retirées.

#### IEC Just Published - webstore.iec.ch/justpublished

Restez informé sur les nouvelles publications IEC. Just Published détaille les nouvelles publications parues. Disponible en ligne et aussi une fois par mois par email.

## Electropedia - www.electropedia.org

Le premier dictionnaire en ligne de termes électroniques et électriques. Il contient 20 000 termes et définitions en anglais et en français, ainsi que les termes équivalents dans 16 langues additionnelles. Egalement appelé Vocabulaire Electrotechnique International (IEV) en ligne.

## Glossaire IEC - std.iec.ch/glossary

65 000 entrées terminologiques électrotechniques, en anglais et en français, extraites des articles Termes et Définitions des publications IEC parues depuis 2002. Plus certaines entrées antérieures extraites des publications des CE 37, 77, 86 et CISPR de l'IEC.

## Service Clients - webstore.iec.ch/csc

Si vous désirez nous donner des commentaires sur cette publication ou si vous avez des questions contactez-nous: csc@iec.ch.



Edition 1.0 2017-06

# INTERNATIONAL STANDARD

# NORME INTERNATIONALE



Semiconductor devices – Mechanical and climatic test methods – Part 43: Guidelines for IC reliability qualification plans

Dispositifs à semiconducteurs – Méthodes d'essais mécaniques et climatiques – Partie 43: Lignes directrices concernant les plans de qualification de la fiabilité des CI

INTERNATIONAL ELECTROTECHNICAL COMMISSION

COMMISSION ELECTROTECHNIQUE INTERNATIONALE

ICS 31.080.01 ISBN 978-2-8322-4471-5

Warning! Make sure that you obtained this publication from an authorized distributor.

Attention! Veuillez vous assurer que vous avez obtenu cette publication via un distributeur agréé.

## CONTENTS

FC	REWO	RD	4
IN	ΓRODU	CTION	6
1	Scop	e	7
2	Norm	ative references	7
3	Term	s and definitions	8
4	Prod	uct categories and applications	8
5		re	
	5.1	Failure distribution	
	5.2	Early failure	
	5.2.1	Description	
	5.2.2	•	
	5.2.3	•	
	5.3	Random failure	17
	5.3.1	Description	17
	5.3.2	Mean failure rate	17
	5.4	Wear-out failure	20
	5.4.1	Description	20
	5.4.2		
6	Relia	bility test	
	6.1	Reliability test description	
	6.2	Reliability test plan	
	6.2.1	3	23
	6.2.2	Estimation of the test time required to confirm the TDDB from the number of test samples	26
	6.2.3	Estimation of the number of samples required to confirm the TDDB from the test time	27
	6.3	Reliability test methods	28
	6.4	Acceleration models for reliability tests	31
	6.4.1	Arrhenius model	31
	6.4.2		
	6.4.3		
	6.4.4		
7		s test methods	
8	Supp	lementary tests	33
9	Sumr	mary table of assumptions	34
10	Sumr	mary	36
Bib	oliograp	hy	37
Fiç	jure 1 -	- Bathtub curve	10
		- Failure process of IC manufacturing lots during the early failure period	
		- Weibull conceptual diagram of the early failure rate	
		- Example of a failure ratio: $lpha$ (in hundreds) and the number of failures for	· <b>-</b>
		%	14
		Screening and estimated early fail rate in Weibull diagram	
_		Bathtub curve setting the point immediately after production as the origin	

Figure 7 – Bathtub curve setting the point after screening as the origin	17
Figure 8 – Conceptual diagram of calculation method for the mean failure rate from the exponential distribution	18
Figure 9 – Conceptual diagram of calculation method for the mean failure rate as an extension of early failure	19
Figure 10 – Conceptual diagram of the wear-out failure	21
Figure 11 – Conceptual diagram describing the concept of the acceleration test	21
Figure 12 – Concept of the reliability test in a Weibull diagram (based on sample size)	25
Figure 13 – Concept of the reliability test in a Weibull diagram (based on test time)	28
Figure 14 – Difference in sampling sizes according to the $m$ value (image)	29
Table 1 – Examples of product categories	9
Table 2 – Cumulative failure probability 0,1 % over 10 years [×10 <sup>-6</sup> ] for the third, fifth and seventh years	25
Table 3 – Major reliability (life) test methods and purposes	
Table 4 – Examples of the number of test samples and the test time in typical reliability (life) test methods	31
Table 5 – LTPD sampling table for acceptance number Ac = 0	33
Table 6 – Major reliability (strength) test methods and purposes	33
Table 7 – Supplementary tests	34
Table 8 – Accelerating factors, calculation formulae and numerical values <sup>a</sup>	35

## INTERNATIONAL ELECTROTECHNICAL COMMISSION

## SEMICONDUCTOR DEVICES – MECHANICAL AND CLIMATIC TEST METHODS –

## Part 43: Guidelines for IC reliability qualification plans

## **FOREWORD**

- 1) The International Electrotechnical Commission (IEC) is a worldwide organization for standardization comprising all national electrotechnical committees (IEC National Committees). The object of IEC is to promote international co-operation on all questions concerning standardization in the electrical and electronic fields. To this end and in addition to other activities, IEC publishes International Standards, Technical Specifications, Technical Reports, Publicly Available Specifications (PAS) and Guides (hereafter referred to as "IEC Publication(s)"). Their preparation is entrusted to technical committees; any IEC National Committee interested in the subject dealt with may participate in this preparatory work. International, governmental and non-governmental organizations liaising with the IEC also participate in this preparation. IEC collaborates closely with the International Organization for Standardization (ISO) in accordance with conditions determined by agreement between the two organizations.
- 2) The formal decisions or agreements of IEC on technical matters express, as nearly as possible, an international consensus of opinion on the relevant subjects since each technical committee has representation from all interested IEC National Committees.
- 3) IEC Publications have the form of recommendations for international use and are accepted by IEC National Committees in that sense. While all reasonable efforts are made to ensure that the technical content of IEC Publications is accurate, IEC cannot be held responsible for the way in which they are used or for any misinterpretation by any end user.
- 4) In order to promote international uniformity, IEC National Committees undertake to apply IEC Publications transparently to the maximum extent possible in their national and regional publications. Any divergence between any IEC Publication and the corresponding national or regional publication shall be clearly indicated in the latter.
- 5) IEC itself does not provide any attestation of conformity. Independent certification bodies provide conformity assessment services and, in some areas, access to IEC marks of conformity. IEC is not responsible for any services carried out by independent certification bodies.
- 6) All users should ensure that they have the latest edition of this publication.
- 7) No liability shall attach to IEC or its directors, employees, servants or agents including individual experts and members of its technical committees and IEC National Committees for any personal injury, property damage or other damage of any nature whatsoever, whether direct or indirect, or for costs (including legal fees) and expenses arising out of the publication, use of, or reliance upon, this IEC Publication or any other IEC Publications.
- 8) Attention is drawn to the Normative references cited in this publication. Use of the referenced publications is indispensable for the correct application of this publication.
- 9) Attention is drawn to the possibility that some of the elements of this IEC Publication may be the subject of patent rights. IEC shall not be held responsible for identifying any or all such patent rights.

International Standard IEC 60749-43 has been prepared by IEC technical committee 47: Semiconductor devices.

The text of this International Standard is based on the following documents:

FDIS	Report on voting
47/2389/FDIS	47/2406/RVD

Full information on the voting for the approval of this International Standard can be found in the report on voting indicated in the above table.

This document has been drafted in accordance with the ISO/IEC Directives, Part 2.

A list of all parts in the IEC 60749 series, published under the general title *Semiconductor devices – Mechanical and climatic test methods*, can be found on the IEC website.

The committee has decided that the contents of this document will remain unchanged until the stability date indicated on the IEC website under "http://webstore.iec.ch" in the data related to the specific document. At this date, the document will be

- reconfirmed,
- withdrawn,
- replaced by a revised edition, or
- amended.

IMPORTANT – The 'colour inside' logo on the cover page of this publication indicates that it contains colours which are considered to be useful for the correct understanding of its contents. Users should therefore print this document using a colour printer.

## INTRODUCTION

This document provides guidelines for semiconductor IC vendors in the preparation of detailed reliability test plans for device qualification. Such plans are intended to be prepared before commencing qualification tests and after consultation with the user of their semiconductor integrated circuit product.

The guideline gives some examples for creating reliability qualification test plans to determine appropriate reliability test conditions based on the quality standards demanded in use conditions for each application of semiconductor integrated circuits. Categories are set for automotive applications and for general applications as a target of reliability. The grade for automotive use is further classified into two grades according to applications. The guideline assumes annual operating hours, useful life, etc. for each grade, and defines the verification methods for early failure rate and wear-out failure to propose appropriate reliability tests, and at the same time, presents concepts to properly ensure the quality of semiconductor integrated circuits using screening techniques which are designed to reduce the early failure rate.

Note that the test conditions and the values of acceleration factors presented in this guideline are shown to provide examples of calculations for obtaining reliability test conditions in order to verify the required quality standards, and are not designed to define the standards to ensure reliability of semiconductor integrated circuits.

NOTE Qualification tests are tests in which the semiconductor vendor takes account of the reliability required by its product users.

## SEMICONDUCTOR DEVICES – MECHANICAL AND CLIMATIC TEST METHODS

## Part 43: Guidelines for IC reliability qualification plans

## 1 Scope

This part of IEC 60749 gives guidelines for reliability qualification plans of semiconductor integrated circuit products (ICs). This document is not intended for military- and space-related applications.

NOTE 1 The manufacturer can use flexible sample sizes to reduce cost and maintain reasonable reliability by this guideline adaptation based on EDR-4708, AEC Q100, JESD47 or other relevant document can also be applicable if it is specified.

NOTE 2 The Weibull distribution method used in this document is one of several methods to calculate the appropriate sample size and test conditions of a given reliability project.

## 2 Normative references

The following documents are referred to in the text in such a way that some or all of their content constitutes requirements of this document. For dated references, only the edition cited applies. For undated references, the latest edition of the referenced document (including any amendments) applies.

IEC 60749-5, Semiconductor devices – Mechanical and climatic test methods – Part 5: Steady-state temperature humidity bias life test

IEC 60749-6, Semiconductor devices – Mechanical and climatic test methods – Part 6: Storage at high temperature

IEC 60749-15, Semiconductor devices – Mechanical and climatic test methods – Part 15: Resistance to soldering temperature for through-hole mounted devices

IEC 60749-20, Semiconductor devices – Mechanical and climatic test methods – Part 20: Resistance of plastic encapsulated SMDs to the combined effect of moisture and soldering heat

IEC 60749-21, Semiconductor devices – Mechanical and climatic test methods – Part 21: Solderability

IEC 60749-23, Semiconductor devices – Mechanical and climatic test methods – Part 23: High temperature operating life

IEC 60749-25, Semiconductor devices – Mechanical and climatic test methods – Part 25: Temperature cycling

IEC 60749-26, Semiconductor devices – Mechanical and climatic test methods – Part 26: Electrostatic discharge (ESD) sensitivity testing – Human body model (HBM)

IEC 60749-28, Semiconductor devices – Mechanical and climatic test methods – Part 28: Electrostatic discharge (ESD) sensitivity testing – Charged device model (CDM) – Device level

IEC 60749-29, Semiconductor devices – Mechanical and climatic test methods – Part 29: Latch-up test

IEC 60749-42, Semiconductor devices – Mechanical and climatic test methods – Part 42: Temperature and humidity storage

## 3 Terms and definitions

For the purposes of this document, the following terms and definitions apply.

ISO and IEC maintain terminological databases for use in standardization at the following addresses:

- IEC Electropedia: available at http://www.electropedia.org/
- ISO Online browsing platform: available at http://www.iso.org/obp

#### 3.1

## failure mode

style classification of a fault phenomenon which causes product failure

Note 1 to entry: Disconnection, a short circuit, occasional loss, abrasion, characteristic deterioration, etc. are typical items considered as failure modes.

#### 3.2

## failure mechanism

physical, chemical or other process which has led to a failure

## 3.3

## integrated circuit

IC

microcircuit in which all or some of the circuit elements are inseparably associated and electrically interconnected so that it is considered to be indivisible for the purpose of construction and commerce

## 4 Product categories and applications

Quality-related requirements, operating hours, and operating condition of ICs demanded in the field depend on the applications of products in which they are used. As an example of creating scientific test plans, their applications are broadly classified into three product categories: Automotive Use A; Automotive Use B; and Consumer Use. Table 1 shows a list of quality-related requirements according to each product category and the definition of their use conditions.

Table 1 – Examples of product categories

Category	Automotive Use A	Automotive Use B	Consumer Use
Criteria for category	Applications for automotive use directly relating to safety.  (Failures can cause accidents.)  Applications for automotive use not directly relatin safety.		Applications other than for automotive use. Industrial applications shall be handled individually.
Examples of applications	Powertrains, brakes, driving support systems, airbags	Navigation systems, car air- conditioners, audio systems	Home electronics, toys, appliances
Annual operating hours	500 h (driving hours)  Differs depending on whether or not to work with KEY ON/OFF.	500 h (driving hours)	Up to 8 760 h Differs among applications.
Useful life	15 years (cumulative failure probability: 0,1 %)	15 years (cumulative failure probability: 0,1 %)	Up to 10 years (cumulative failure probability: 0,1 %) Differs among applications.
Assumed	Example of engi	ne compartment	
operating conditions	$T_{\text{a,min}} = -40 \text{ °C/}$	$T_{\text{a,min}} = 0 \text{ °C} / T_{\text{a,max}} = 70 \text{ °C}$	
(examples of	$T_{\rm j,typ}$ = 100 °C/	$T_{\rm j}$ = 70°C/105°C (max.)	
conditions which differ among	min. RH: 0 / m	RH = 10 (min.)/80 % (max.)	
applications)	RH (during 10 % drivi	RH (during 20 % power on )	
	Example of inter	(during 60 % power off)	
	$T_{\rm a}$ = -40°C (min	ո.)/85°C (max.)	
	$T_{\rm i}$ = 85°C (typ.		
	RH = 0 (min.)/		
	RH (during 10 % drivi	ng) (during 70 % stop)	
Early failure rate	1 × 10 <sup>-6</sup> or below per annum	50×10 <sup>-6</sup> or below per annum	Up to 500 × 10 <sup>-6</sup> per annum Differs among applications.
Random failure rate	10 FIT or below	50 FIT or below	>50 FIT (typical) Differs among applications.

NOTE These are examples of application conditions and requirements that do not have to all be met to be relevant for each use case.

## 5 Failure

## 5.1 Failure distribution

Failure distribution of ICs can be broadly divided into three regions: early failure portion (e.g.,  $t_{\text{ELF}}$  = 1 year), random failure portion, and wear-out failure portion. Figure 1 shows the relationship between the field use time and the instantaneous failure rate (bathtub curve). Failure distributions for each region are described in detail in 5.2 to 5.4.

Most early failures are screened within manufacturing processes of IC vendors. However, ICs not fully screened can expose problems in a relatively short period after their operation starts in the field.

Random failure has been considered to achieve a certain failure rate with respect to time, but actually, it is appropriate to consider as an extension of the early failure region where the failure rate continues to decline. Potentially induced failures outside of the supplier's control,

such as ESD and EOS, should not be included in the failure rate calculations unless a total fail rate that includes these types of fail modes is intended.

Wear-out failure is a failure which occurs due to the end of life of IC components such as transistors and interconnections, and indicates the life of the ICs themselves. Wear-out failure is a failure which depends on the usage load profile (time windows may be different). The number of failures increases with time, and every IC will eventually cause a failure beyond the intended design life of the part. Wear-out failures are not considered in the same manner, because they have a totally different mechanism and therefore also a different mathematical description (failure distribution). Therefore, it is important to prevent this failure during the durable period. For ICs, the time to reach the cumulative failure probability of 0,1 % over the design life of the part in the given application is generally defined as their design lifetime.

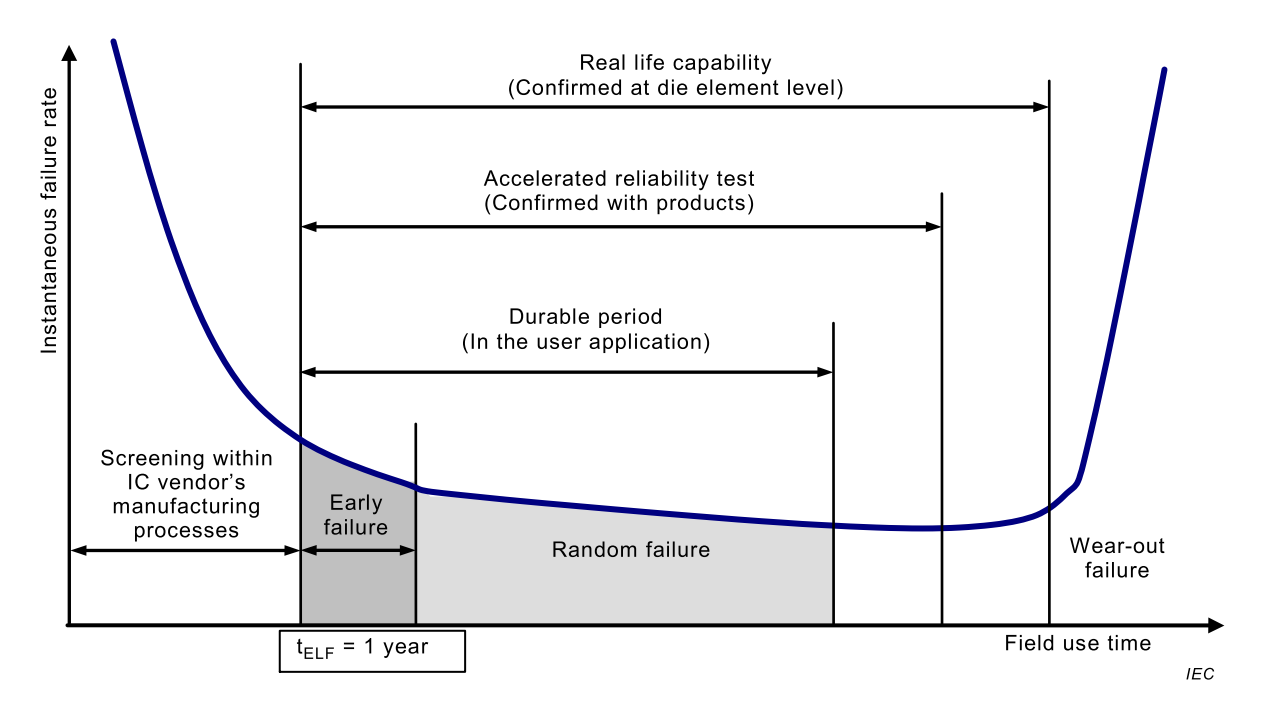


Figure 1 - Bathtub curve

## 5.2 Early failure

## 5.2.1 Description

Since ICs contain very small feature sizes and are dense and complex, they are susceptible to defects generated in manufacturing processes. For this reason, good devices which satisfy required characteristics and functions are sorted out at the final stage of manufacturing processes. The ratio of good devices to the total amount produced and tested in this process is called yield. When sorting good devices, they are measured for as many items as possible including characteristics and functions required. However, some of these sorted good devices can include those with built-in latent defects or weaknesses which does not influence electrical characteristics, and they operate properly during sorting. When the yield is high, devices with these potential defects are less likely to be included. In contrast, when the yield is relatively low, there is a high possibility of mixture of these latent defect devices with good ones. Devices with these potential defects can eventually fail during use due to the shortened lifetime or the intensity of the user application.

A small amount of tested good devices which contain such defects is included in the manufacturing lot and, as such, its failure rate decreases with time. This is because non-defective ICs which are unlikely to cause a failure remain when defective ICs are removed after they cause a failure. In such a case, the shape parameter of the Weibull distribution: m is less than 1 (m < 1).

To be more specific, when a manufacturing lot has good devices with a potential defect as shown in Figure 2, electronic products using such devices may cause a failure during use, and faulty ICs are removed by application screening, repair (component replacement) or disposition. This leaves reliable ICs.

NOTE It is much preferred to screen out these failures, latent or otherwise, at the IC manufacturer rather than have them reach the user, where it is more expensive to correct.

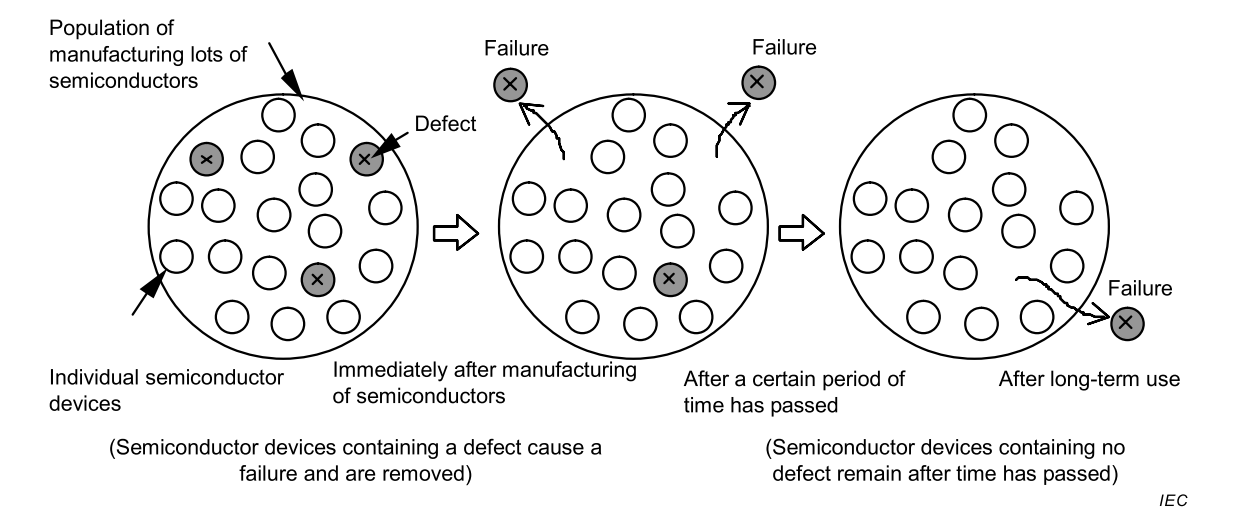


Figure 2 – Failure process of IC manufacturing lots during the early failure period

For this reason, reducing defects generated in manufacturing processes is the major countermeasure against such failures. Another possible countermeasure is to change the design to a structure not susceptible to defects if it is feasible.

There are also screening techniques such as burn-in, which operate ICs under relatively harsh conditions of temperature and/or voltage to induce the defects to fail in advance and remove them by sorting. This acts to consume the early failure period of ICs before shipment, which can reduce impacts of the early failure after shipment. Screening can be optimized if the effect of the above defect reduction is confirmed.

## 5.2.2 Early failure rate

## 5.2.2.1 Early failure rate definition

The early failure rate indicates the probability of degradation failures resulting from manufacturing defects which occur within one year (defined early failure period) after shipment by IC manufacturers and the operation starts in the field (within assembly manufacturers' processes and in end user applications).

The early failure rate is often expressed as "cumulative failure probability", where the failure rate which occurs during the defined early failure period is numerically expressed in percentage (%) or parts per million  $(10^{-6})$ .

## 5.2.2.2 Cumulative fail probability

In general, the cumulative failure probability is expressed as follows.

When the Weibull distribution shape parameter is expressed as m, scale parameter  $\eta$  and time t, the cumulative failure probability F(t): from 0 to t is defined by Formula (1).

$$F(t) = 1 - \exp\left(-\frac{t^m}{\eta^m}\right) \tag{1}$$

Figure 3 shows the concept of the early failure rate using a Weibull distribution chart.

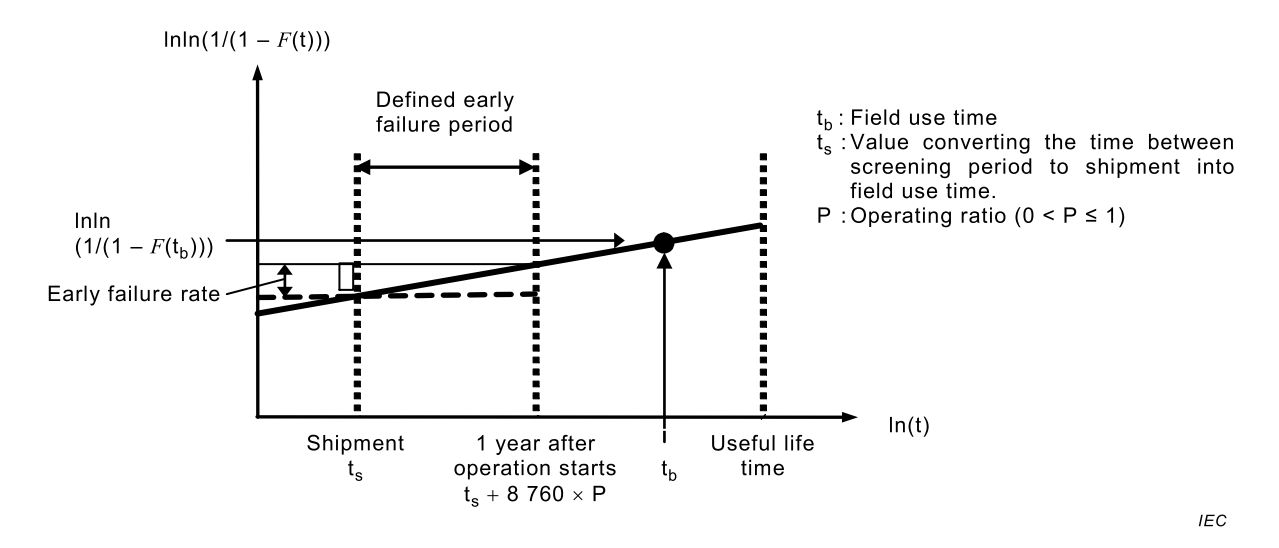


Figure 3 - Weibull conceptual diagram of the early failure rate

The following sections describe how to calculate the early failure rate from the confirmation result of the cumulative failure convergence at screening test.

## 5.2.2.3 Calculation of the early failure rate

Suppose that the cumulative failure probability  $F(\mathsf{t}_\mathsf{b})$  with the field use time  $\mathsf{t}_\mathsf{b}$  was obtained as the confirmation result of the cumulative failure convergence at screening test. The Weibull shape parameter  $\eta$  is obtained from the following formula:

$$\eta = \frac{t_{b}}{\left[-\ln(1 - F(t_{b}))\right]_{m}^{\frac{1}{m}}}$$
 (2)

Where m indicates the value obtained from the experiment result or an estimated value. However, in the above formula, if there are zero failures, then  $F(t_b) = 0$ , and the scale parameter  $\eta$  is undefined, as the denominator goes to 0.

For this reason, the  $\chi^2$  (chi-squared) distribution shall be used to define the cumulative failure probability  $F_{\rm c}({\rm t_b})$  taking account of the confidence level.

However, this is based on the premise that the number of samples N is sufficiently large.

NOTE Typical confidence level used in failure rate calculations for semiconductor devices is 60 %.

The cumulative failure probability at the specified confidence level and at the field use time  $F_{\rm c}({\rm t_b})$  is given by Formula (3).

$$F_{c}(t_{b})|_{g} = \chi_{g,\frac{d}{2\times N}}^{2}$$
(3)

Where.

 $\chi^2$  Chi-square distribution;

g Confidence level (CL in %);

d Degree of freedom =  $(2 \times f) + 2$ ;

f Number of failures:

N Number of samples.

Susbtituting (3) into (2) yields the scale parameter taking account of the confidence level:

$$\eta_c = \frac{t_b}{\left[-\ln(1 - F_c(t_b))\right]_m^{\frac{1}{m}}}$$
 (4)

When the value converting the screening period until shipment into field use time  $t_s$  and the calculated value  $\eta_c$  are used, the early failure rate taking account of the confidence level after shipment:  $F_c(t_1,t_s)$  is given by the following.

If failures are found during the early failure period,  $\eta$  is used instead of  $\eta_c$  and the early failure rate takes no account of the confidence level after shipment.  $F(t_1,t_s)$  is given by the following:

$$F_{c}(t_{1},t_{s}) = 1 - \exp\left[-\frac{(t_{1}-t_{s})^{m}}{\eta_{c}^{m}}\right]$$
 (5)

$$F(t_1, t_s) = 1 - \exp\left[-\frac{(t_1 - t_s)^m}{\eta^m}\right]$$
 (6)

For both Formulae (5) and (6),  $t_1 = 365 \times 24 \times P$ 

where

P Operating ratio ranged from 0 (always off) to 1 (always on);

 $t_1$  Time point of 1 year after operation start measured in hours (constant on = 8 760 hours).

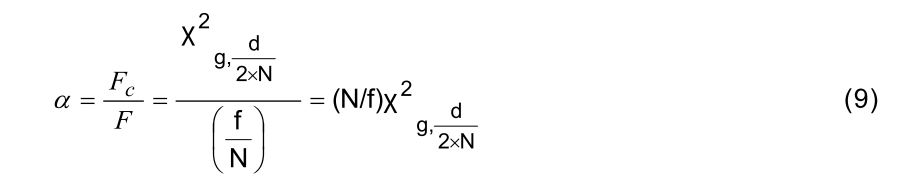
## 5.2.2.4 Calculation of a failure rate ratio

The failure rate ratio:  $\alpha$  between the early failure rate  $F_{\rm c}$  taking account of a confidence level with g (in %) and the early failure rate F taking no account of the confidence level is expressed by the following formulae:

$$F_{c} = \chi^{2}_{g, \frac{d}{2 \times N}} \tag{7}$$

$$F = \frac{\mathsf{f}}{\mathsf{N}} \tag{8}$$

where f = Number of failures in N = Number of samples.



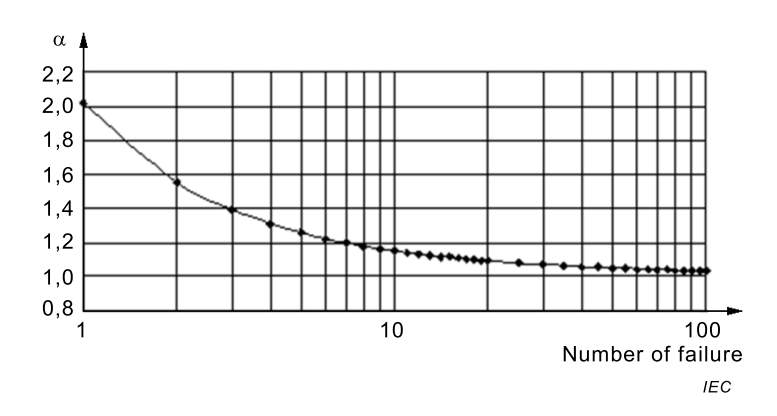


Figure 4 – Example of a failure ratio:  $\alpha$  (in hundreds) and the number of failures for CL of 60 %

F is determined by the number of failures, not by the number of test samples: N.

As the number of failures increases, the ratio between the rates taking account of and without taking account of the confidence level comes closer to 1.

From Figure 4, when the cumulative number of failures is 50, the failure rate difference between the early failure rate taking account of the confidence level:  $F_{\rm c}$  and the early failure rate taking no account of the confidence level: F is 5% ( $\alpha$  = 105 for N = 50 versus  $\alpha$  = 100 for large N).

Therefore, if the difference in the early failure rate depending on the number of failures and the presence of incorporation of the confidence level is allowable, the early failure rate taking no account of the confidence level can be used.

## EXAMPLE:

When a confirmation result of the cumulative failure convergence at screening test is obtained using:

$$m = 0.3$$
;  $t_b = 70$  298 hours; N = 2 000; and f = 69,

and the early failure rate  $F_c(t_1,t_s)$  using:

CL of 60 %; 
$$t_s = 70 298 \text{ hours}$$
;  $P = 1$ 

The scale parameter with confidence level is calculated as  $\eta_c$  = 5,57 × 10<sup>52</sup> from Formula (4).

The early failure rate with confidence level is calculated as  $F_c(t_1:t_s)$  = 129 x 10<sup>-6</sup> from Formula (5).

The scale parameter taking no account of the confidence level  $\eta$  = 2,15 × 10<sup>53</sup> from Formula (2).

The early failure rate taking no account of the confidence level  $F(t_1:t_s) = 124 \times 10^{-6}$  from Formula (6).

Thus, in this example, the failure rate difference between the early failure rate taking account of the confidence level  $F_{\rm c}$  and the early failure rate without taking account of the confidence level F is (129 - 124)/124 = 4 %.

#### 5.2.3 Screening

Since ICs contain very small feature sizes and are dense with complex geometry, they are susceptible to defects generated in manufacturing processes. Therefore, some lots classified as 'good devices' contain potential failures with a minor intrinsic defect which does not

influence measured electrical characteristics. This allows the device to operate to specification during the sorting process. Removing potential failures before shipment and thus reducing or eliminating the early field failure rate is called screening.

General screening methods to remove devices containing such minor intrinsic defects include the application of stricter stresses such as voltage and temperature than those under actual use conditions, combining a product test and burn-in, methods to remove initial defects in packages using X-ray inspections and visual inspections and combining mounting stress and stresses under a temperature cycle test, etc. Screening conditions need to be adjusted when necessary depending on the target early failure rate. They should be examined in a manner that the screening itself will not influence the useful life significantly, i.e. reduce the time to wear out. By stabilizing the product manufacturing lines and manufacturing the product carefully to reduce intrinsic manufacturing defects, the product early failure rate can also be reduced.

Burn-in has generally been conducted after packaging, but recently, it is common to conduct it to die on wafers. Both methods will produce the same effect in terms of the purpose of removing manufacturing defects in device die. Figure 5 shows the relationship between the screening and the early failure rate which can be statistically estimated.

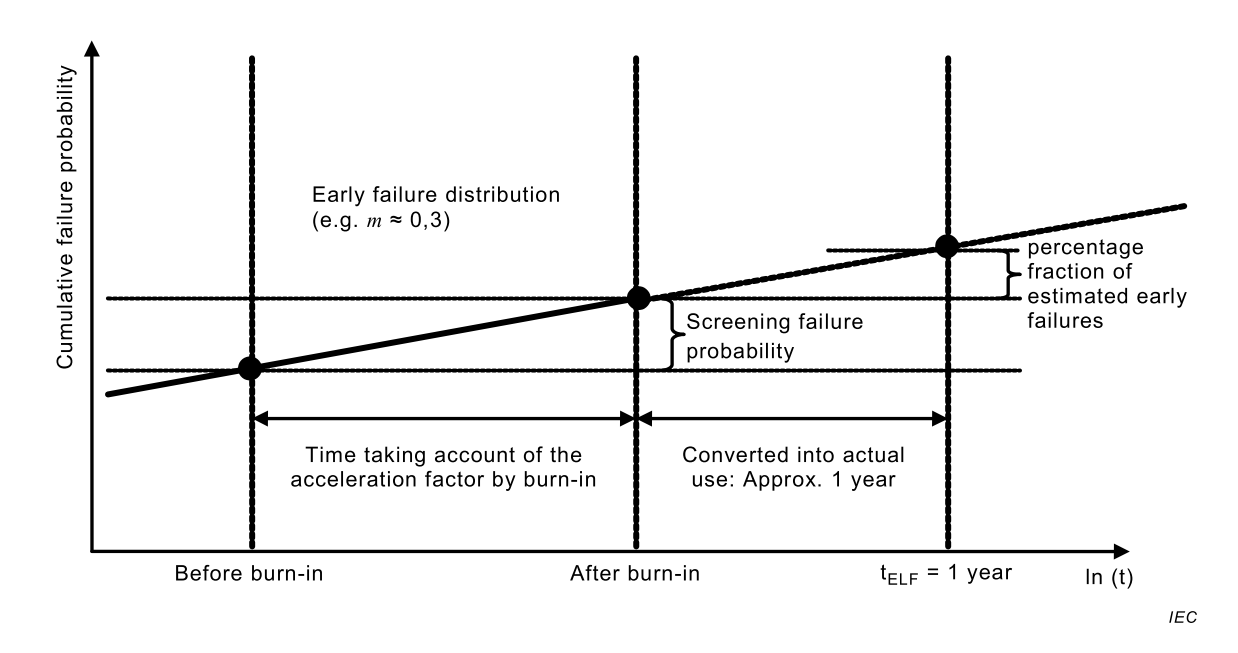


Figure 5 – Screening and estimated early fail rate in Weibull diagram

Figure 5 shows the verification method for the early failure rate after screening which can be estimated statistically. In some cases, burn-in is repeated until no actual burn-in failure occurs to confirm the convergence of the screening but, as shown in Figure 5, the early failure always occurs even at a slight rate when it is statistically estimated in the Weibull distribution. For this reason, the sampling becomes meaningless unless data is statistically analysed taking account of the experimental parameter, acceleration factor, and failure mode even when the burn-in is unreasonably repeated until no burn-in failure occurs.

The m value calculated with the failure probability of the burn-in process does not reflect the failures which occurred and were removed in the test processes before the burn-in process. If the m value is calculated without considering failures in the test processes before burn-in, it becomes larger. Therefore, the early failure rate estimated from the m value tends to become a poorer estimate than the actual quality. In general, it is necessary to calculate the m -value taking account of the failure probability before and after burn-in as shown in Figure 5 to estimate the early failure.

Verification of the early failure distribution and rate based on this concept should be incorporated into the verification of the product reliability, which is also the most effective means to improve the actual delivery quality.

Since the early failure depends on the intrinsic manufacturing defect rate of the manufacturing line, the early failure rate of other products in the same manufacturing line and with the same design standard can also be estimated easily as long as the manufacturing defect rate and the convergent characteristics (m -value of the Weibull distribution) of the early failure are understood.

#### **EXAMPLE:**

Calculation method for the early failure probability in the field:

When  $t_1$  is the time until shipment taking account of the screening (converted into the time in the use environment per Figure 6), then the cumulative failure probability after shipment is:

$$F(t:t_1) = 1 - \exp\left[\frac{(t+t_1)^m - t_1^m}{\eta^m}\right]$$
 (10)

and the failure rate after shipment (see Figure 7) is:

$$\lambda(\mathbf{t}:\mathbf{t}_1) = \frac{m \times (\mathbf{t} + \mathbf{t}_1)^{(m-1)}}{\eta^m} \tag{11}$$

Note that the cumulative failure probability for one year after shipment is F(8 760 h: t<sub>1</sub>) where 1 year = 8 760 h.

When m and  $\eta$  are obtained from the screening data, quantitative calculations are enabled.

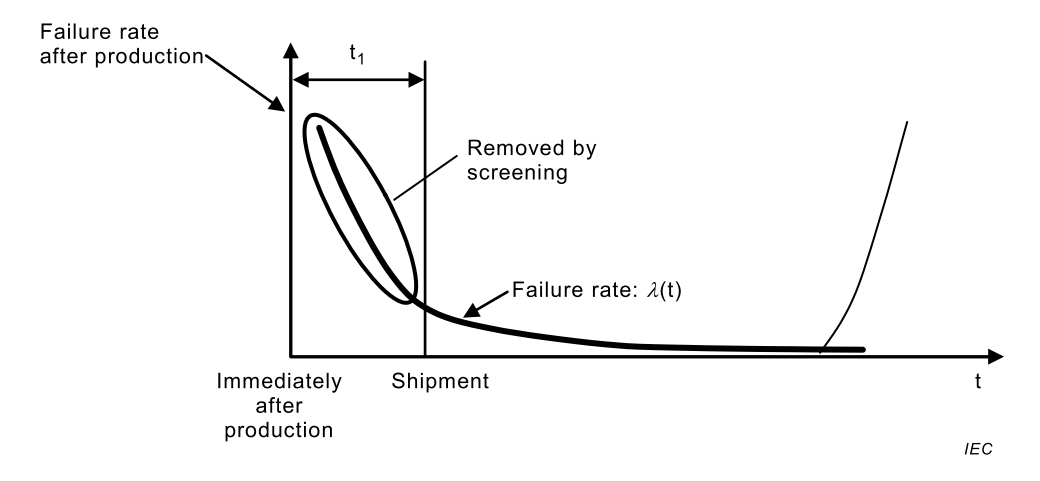


Figure 6 – Bathtub curve setting the point immediately after production as the origin

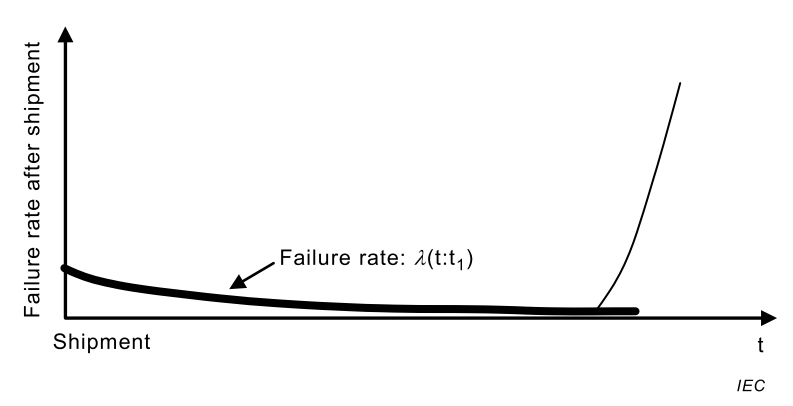


Figure 7 – Bathtub curve setting the point after screening as the origin

#### 5.3 Random failure

## 5.3.1 Description

Random failure generally indicates a failure which occurs between the end of the defined early failure period (in this case, 1 year) and the end of the useful life or onset of the wearout period. It is appropriate to estimate that failures which occur after the defined early failure period are caused by the exposure of surviving early failures which were not completely removed by screening, and in most cases, the Weibull distribution shape parameter: m is not exactly 1. It is sometimes considered that these failures are incidental failures caused by disturbance factors which are not related to manufacturing defects and, to be more specific, by incidental factors.

## 5.3.2 Mean failure rate

Mean failure rate is calculated by converting the probability of failures which occur between the end of defined early failure period and the end of the useful life into the probability of occurrence per unit time. In general, it indicates a numerical value expressed in FIT (Failure In Time = number of failures per  $10^9$  device-hours, e.g., 1 FIT = 1 PPM per 1 000 hours of operation). This estimate can be used because the useful life period exhibits failure rates close to constant.

Since the mean failure rate based on an exponential distribution assuming the Weibull distribution shape parameter m = 1 (constant failure rate) is calculated statistically using the operating life test result, the value is uniquely determined by the number of samples, the time, and the acceleration factor of the test. Therefore, the calculated value does not always indicate the actual quality. The mean failure rate calculated using the exponential distribution is just conceptual and, in reality, the actual failure rate after the defined early failure period also becomes a region where numbers of failures gradually decrease. Though it depends on the acceleration factor, the wearout failure is not expected to occur by design and built in margin during an accelerated operating life test of about 1 000 hours, and it is appropriate to consider that the failures during the operating life test period remain with the Weibull distribution shape parameter: m < 1, if the number of random failures caused by disturbance factors is small enough. Therefore, it is practical to extend the early failure distribution after screening to the assumed operating time considering that the mean failure occurs as an extension of the early failure, and express the estimated cumulative failure probability as the failure rate per unit time in FIT. Figure 8 shows the concept describing the calculation method for the mean failure rate using an exponential distribution from the operating life test result; Figure 9 shows the concept describing the calculation method for the mean failure rate taking account of the Weibull distribution shape parameter: *m* as the extension of the early failure.

In the method to calculate the mean failure rate by an exponential distribution based on the operating life test result, the FIT value tends to be larger because the mean failure rate is calculated by fixing m = 1 uniquely taking no account of the actual failure distribution, and

using a small amount of test samples, test acceleration factor, and test time. In the example of Figure 8, it is calculated to be approximately 1,36 FIT when the number of failures in the operating life test is f = 0 ( $r_c$  (0; 0,6) = 0,92) with CL of 60 % and  $r_c$  and  $r_c$  are the contraction of the samples of the contraction of the samples of the samples of the contraction of the con

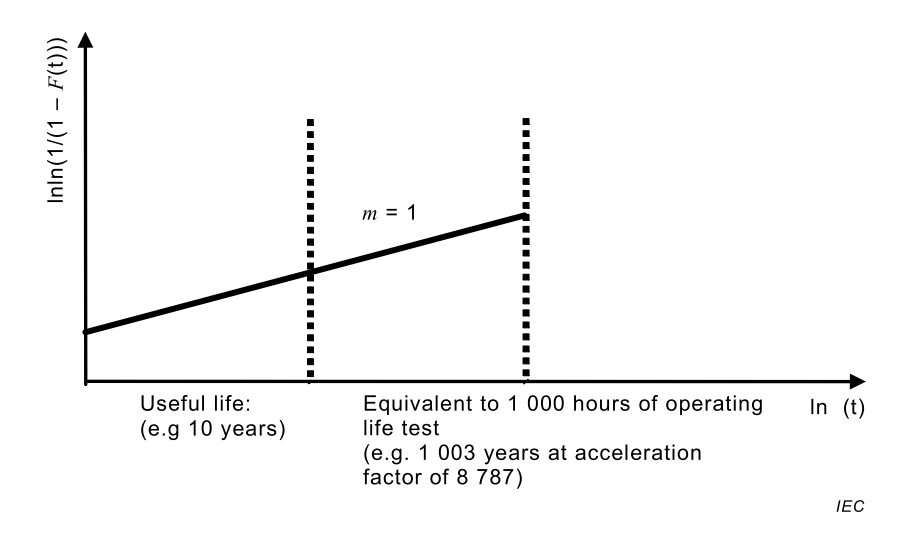


Figure 8 – Conceptual diagram of calculation method for the mean failure rate from the exponential distribution

**EXAMPLE 1:** 

$$\lambda = \frac{r_{c}(f,g)}{N \times T \times A_{cc}} \times 10^{9} \text{ FIT}$$
 (12)

where

λ Failure rate

f Number of failures

g Confidence level (unit %)

 $r_c(f,g)$  Corrected number of failures with CL of g (in %) when the actual number of failures is f, e.g.: when f = 0 and g = 60 % then  $r_c(0;0,6)$  = 0,92

N Number of samples for the operating life test: 77

T Operating life test time: 1 000 hours

 $A_{\mathrm{CC}}$  — Acceleration factor for the reliability test is 8 787 times

Then, the mean failure rate is:

$$\lambda = \frac{0.92}{77 \times 1000 \times 8787} \times 10^9 \text{ h}^{-1} = 1.36 \text{ FIT}$$

On the other hand, when the actual failure distribution (m value) is taken into account for the calculation, the cumulative failure probability (cumulative mean failure probability) between the end of the defined early failure period and the end of the useful life is calculated, which is converted into the mean failure rate. This calculation method has advantages such as high credibility of data because it is calculated based on the confirmation result of the cumulative failure convergence at screening test.

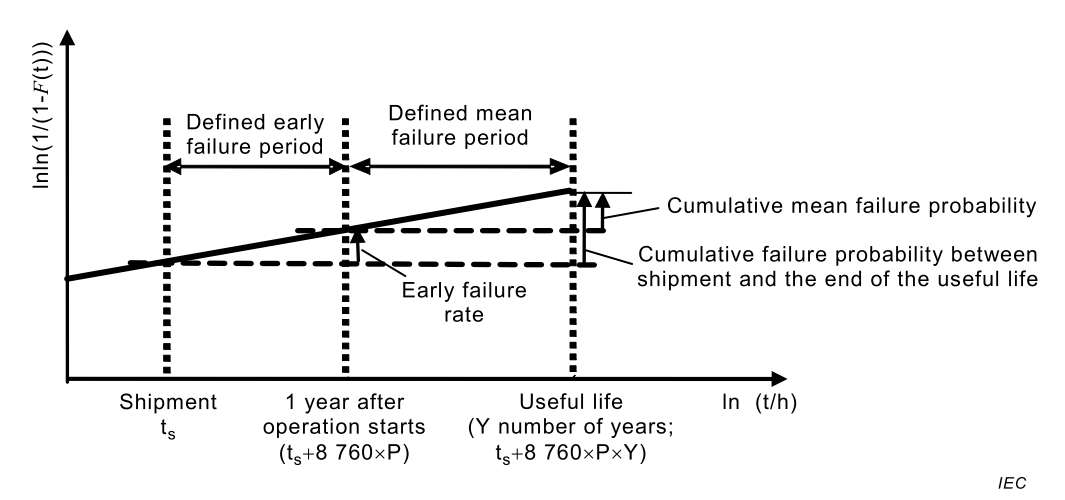


Figure 9 – Conceptual diagram of calculation method for the mean failure rate as an extension of early failure

Method for calculating mean failure rate with the Weibull model is defined as follows because the early failure rate during the defined early failure period is defined separately and the defined mean failure period is considered as an extension of the early failure, not the conventional exponent function distribution.

Defined mean failure period: period between the end of the defined early failure period and the end of the useful life.

The above relationships are expressed by a mathematical formula taking account of the confidence level as follows:

 $F_{\rm c}(t)$ : Cumulative mean failure probability

 $\lambda(t)$ : Mean failure rate

 $F_{\rm c}(t_{\rm V},t_{\rm s})$ : Cumulative failure probability between shipment and the end of the useful life

 $F_{\rm c}(t_1,t_{\rm s})$ : Cumulative failure probability during the defined early failure period

Y Useful life (number of years)

P Operating ratio  $(0 < P \le 1)$ 

$$F_c(t_Y:t_S) = 1 - \exp\left[-\frac{(t_Y + t_S)^m - t_S^m}{\eta_c^m}\right]$$
 (13)

$$t_{Y} = Y \times 365 \times 24 \times P \tag{14}$$

$$F_{c}(t) = F_{c}(t_{Y} : t_{s}) - F_{c}(t_{1} : t_{s})$$
 (15)

$$\lambda(t) = \frac{F_{c}(t_{Y}:t_{s}) - F_{c}(t_{1}:t_{s})}{(Y-1) \times 365 \times 24}$$
(16)

When  $F_{\rm c}$  is substituted with F and  $\eta_{\rm c}$  with  $\eta$  in the above formula, it presents the mean failure rate taking no account of the confidence level.

## EXAMPLE 2:

a) When a confirmation result of the cumulative failure convergence at screening test are obtained:

```
m = 0.3; t_h = 70 298 \text{ h}; N = 2 000; and f = 69
```

the mean failure rate taking account of:

```
t_s = 70 298 h; P = 1; useful life of 10 years; and CL of 60 %
```

are expressed as follows:

$$\eta_{\rm c}$$
 = 5,57 × 10<sup>52</sup> from Formula (4);  $F_{\rm c}({\rm t_1,t_s})$  = 129 × 10<sup>-6</sup> from Formula (5); and  $F_{\rm c}({\rm t_Y,t_s})$  = 898 × 10<sup>-6</sup> from Formula (8)

the cumulative mean failure probability is  $769 \times 10^{-6} \, h^{-1}$  and the mean failure rate is 9,8 FIT.

b) When the confidence level is not considered,

```
\eta = 2,15 × 10<sup>53</sup> from Formula (2); F(t_1,t_s) = 124 × 10<sup>-6</sup> from Formula (6); and F(t_Y,t_s) = 862 × 10<sup>-6</sup> by substituting F_c with F and F_c with F_c in Formula (8).
```

the cumulative mean failure rate is  $738 \times 10^{-6} \, h^{-1}$  and the mean failure rate is 9,4 FIT.

#### 5.4 Wear-out failure

## 5.4.1 Description

Wear-out failure indicates the life of ICs themselves. When entering the wear-out failure region, every IC will eventually cause a failure. Therefore, this failure shall be prevented during the durable useful life period. For this reason, each IC vendor incorporates "reliability design" in the design phase to prevent the occurrence of the wear-out failure during the durable period by providing adequate design margin. In the wear-out failure region where the useful life is confirmed, the Weibull distribution shape parameter: m is larger than 1 (m > 1).

Design standards (e.g. manufacturing conditions, design conditions) which satisfy the reliability (or design specifications), for which the life converted into the actual use is required, are determined through design review based on the test results using the TEG (Test Element Group) for evaluation, etc. with elements constituting ICs (e.g. transistors, interconnections) and assembly elements such as packages, and ICs shall be designed based on them.

The shape parameter m of the wear-out failure is obtained from experiment results or an estimated value. If its value can be fixed, reliability targets in the field are set by drawing a Weibull diagram with the shape parameter m which passes the failure rate assumed from the number of test samples and the test time, and a reliability test to confirm that the reliability is exactly what was assumed is conducted by the acceleration test.

## 5.4.2 Wear-out failure rate

Figure 10 and Figure 11 show the conceptual diagrams describing the concept of the wear-out failure rate and the acceleration test.

Based on these conceptual diagrams, the following describes the calculation methods for the number of samples and the time for the reliability test.

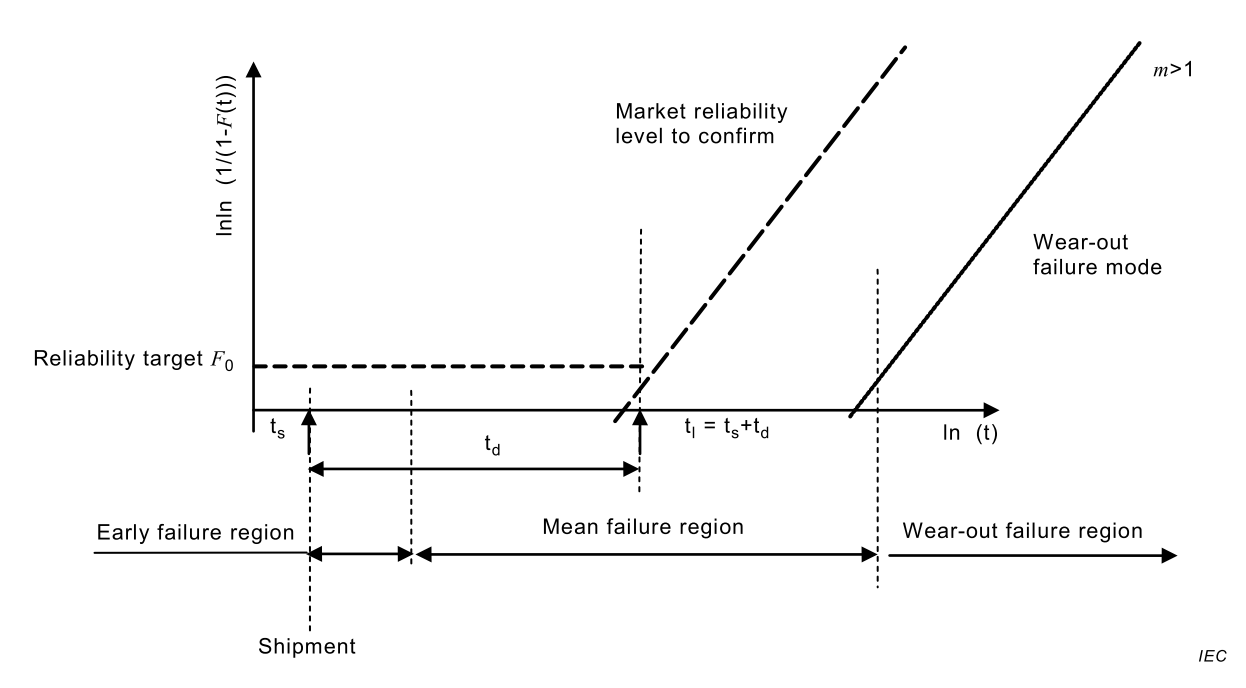


Figure 10 - Conceptual diagram of the wear-out failure

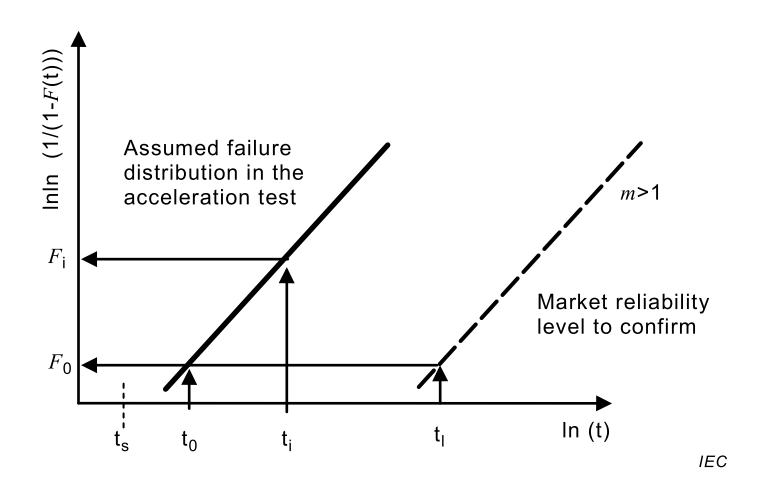


Figure 11 – Conceptual diagram describing the concept of the acceleration test

The time to achieve the failure probability  $t_0$  confirmed in the acceleration test corresponding to the field use time until the useful life  $t_{\rm l}$  is expressed by the following formula:

$$t_0 = \frac{t_l}{A_{CC}} \tag{17}$$

where

 $t_1 = t_s + t_d$ 

ts Value converting the screening period until shipment into field use time

t<sub>d</sub> Durable period

A<sub>cc</sub> Acceleration factor

From CL of g (in %) and the number of samples  $n_i$ , the estimated maximum failure rate (estimated cumulative failure probability)  $F_i$  calculated from the binomial distribution when the number of failures is 0 is expressed by the following formula:

$$F_{i} = 1 - \left(1 - \frac{g}{100}\right)^{\frac{1}{n_{i}}} \tag{18}$$

Formula (18) can also be expressed by the following formula.

$$n_{\rm i} = \frac{\ln\left(1 - \frac{\rm g}{100}\right)}{\ln(1 - F_{\rm i})}\tag{19}$$

The cumulative failure probability for the assumed failure distribution in the acceleration test is expressed by the following formulas:

$$F_{i} = 1 - \exp\left(-\frac{\mathsf{t}_{i}^{m}}{\eta^{m}}\right)^{\frac{1}{n_{i}}} \tag{20}$$

$$F_0 = 1 - \exp\left(-\frac{t_0^m}{\eta^m}\right)^{\frac{1}{n_i}}$$
 (21)

where

t<sub>i</sub> Test time including screening time conducted until shipment

 $F_{\mathsf{n}}$  Cumulative failure probability to confirm during the durable period

The following formula is obtained from the above Weibull formulae:

$$\frac{\ln(1-F_{i})}{\ln(1-F_{0})} = \left(\frac{t_{i}}{t_{0}}\right)^{\frac{1}{m}} = \left(t_{i} \times \frac{A_{CC}}{t_{i}}\right)^{m}$$
(22)

Once CL of g (in %) and the number of samples:  $n_{\rm i}$  are fixed, the estimated cumulative failure rate:  $F_{\rm i}$  is obtained, and the test time including screening time conducted until shipment:  $t_{\rm i}$  can be calculated from the cumulative failure probability to confirm during the durable period:  $F_0$  and Formula (22).

If a binomial distribution is applied with the number of failures: 0, the test time including screening time conducted until shipment:  $t_i$  is expressed as follows:

$$t_{i} = \left[\frac{\ln\left(1 - \frac{g}{100}\right)}{n_{i} \times \ln(1 - F_{0})}\right]^{\frac{1}{m}} = \frac{t_{l}}{A_{cc}} \left[\frac{\ln\left(1 - \frac{g}{100}\right)}{n_{i} \times \ln(1 - F_{0})}\right]^{\frac{1}{m}}$$
(23)

If the test is conducted using samples for which the screening of the field use time:  $t_s$  was conducted until shipment, the test time excluding the screening time conducted until shipment:  $t_i$  is expressed as follows:

$$t_i = t_1 - \frac{t_s}{A_{co}} \tag{24}$$

The estimated cumulative failure rate:  $F_i$  is obtained from the test time excluding the screening time conducted until shipment:  $t_i$ ; the cumulative failure probability to confirm during the durable period:  $F_0$ ; and Formula (22), and the number of samples:  $n_i$  can be calculated from CL of g (in %).

$$t_{i} = t_{d} + \frac{t_{s}}{A_{cc}} \tag{25}$$

$$F_{i} = 1 - \exp\left[\left(t_{i} \times \frac{A_{cc}}{t_{l}}\right)^{m} \times \ln(1 - F_{0})\right]$$
(26)

When a binomial distribution is applied with the number of failures is 0, the number of samples  $n_i$  is expressed as follows:

$$n_{\rm i} = \left(\frac{\mathsf{t}_0}{\mathsf{t}_{\rm i}}\right)^m \times \frac{\mathsf{In}\left(1 - \frac{\mathsf{g}}{100}\right)}{\mathsf{In}(1 - F_0)} = \left(\frac{\mathsf{t}_{\rm l}}{A_{\rm cc} \times \mathsf{t}_{\rm i}}\right)^m \times \frac{\mathsf{In}\left(1 - \frac{\mathsf{g}}{100}\right)}{\mathsf{In}(1 - F_0)} \tag{27}$$

## 6 Reliability test

## 6.1 Reliability test description

Product reliability tests are conducted mainly to confirm the useful life (wear-out failure) and stability of the designed circuit. The wear-out failure causes a failure when the IC reaches the end of its intrinsic usefulness (intrinsic mode). Though the time before causing a failure depends on variations during manufacturing and stress in use, every IC will eventually reach the end of its life. For this reason, the failure rate increases sharply after the durable period is over. The reliability test is conducted to confirm that the wear-out failure is within the desired cumulative failure probability during the period assuming actual use. Since m > 1 in the wear-out failure, a reliability test using only a small number of samples (e.g. a couple to dozens of samples) can also be equivalent to a test which is several times to several hundred times the period assuming actual use. This is true if a significant number of samples (> 50 %) can be stressed to failure and whose fail times can be sequentially arranged into a Weibull slope. If not, estimates of slope parameters shall be used in lifetime calculations as described earlier.

The reliability test is a means to confirm the useful life carefully designed in the design phase, and not a means to confirm delivery quality. Manufacturing defects which influence delivery quality should be handled as the early failure, and be isolated from the concept of the reliability test. For countermeasures against the early failures see Clause 8.

## 6.2 Reliability test plan

## 6.2.1 Procedures for creating a reliability test plan

Reliability tests are conducted by accelerating voltage, temperature, humidity, etc. of the actual use environment. Since the test is designed to detect wear-out failure, the assumed failure distribution tends to have fewer variations, and it can serve the purpose with a small amount of samples in a short test time by greatly accelerating the conditions. However, since there are also mechanisms which are accelerated slightly, considerations should be given to the number of test samples and the test time according to acceleration factors for failure

mechanisms. It should also be noted that the test becomes meaningless when an excessively severe stress is applied to fracture the test piece if the failure mechanism is not correlated with failures which occur in the field. When acceleration conditions are set, it is necessary to accelerate the conditions within a range in which the failure mode, the failure mechanism, and the acceleration factor are constant.

The example below describes how to create a reliability test plan to confirm that the wear-out failure is 0,1 % or below after 10 years of the period assuming actual use utilizing acceleration, taking the time-dependent dielectric breakdown (TDDB).

- a) Decide reliability test methods appropriate for the failure mode and mechanism to detect.
  - As a rule, conduct more than one reliability test to confirm the assumed failure mode and mechanism. This section takes an "operating life test" as an example as a reliability test method to confirm the TDDB.
- b) Calculate the acceleration factor for the reliability test. Since the acceleration of the TDDB is promoted by the electric field and the temperature, set a higher electric field and temperature than those under the actual use environment as the test conditions. In this example, the voltage and the temperature are accelerated under the following conditions, and the acceleration factor is 966 times.

#### **EXAMPLE:**

Voltage in actual use: 2,5 V; test voltage: 3,4 V;  $\beta$  = 4,0 V<sup>-1</sup> yields the voltage acceleration factor:

$$\alpha_{V} = \exp[\beta \times (V_2 - V_1)] = 36,6$$
 (28)

Temperature in actual use: 70 °C; test temperature: 125 °C; Ea = 0,7 eV yields the thermal acceleration factor:

$$\alpha_{\mathsf{T}} = \exp\left[\frac{\mathsf{E}_{\mathsf{a}}}{\mathsf{k}} \times \left(\frac{1}{\mathsf{T}_{\mathsf{1}}} - \frac{1}{\mathsf{T}_{\mathsf{2}}}\right)\right] = 26,4\tag{29}$$

Multiplying the two yields the acceleration factor for the reliability test:

$$A_{\rm CC} = \alpha_{\rm V} \times \alpha_{\rm T} = 36.6 \times 26.4 = 966$$
 (30)

- c) Assume the failure distribution. In general, when the failure distribution was obtained in a process reliability test using a TEG before the product reliability test is conducted and it is known, the m value obtained from the TEG may be used.
- d) Draw a failure distribution which passes the cumulative failure probability 0,1 % for the time intervall of 10 years based on the assumed failure distribution. In this example, a Weibull distribution and the shape parameter: m=3 are used. Normally, draw a failure distribution which passes the cumulative failure probability: 0,1 % during the assumed service life (10/966 = 90,7 h in this example using the acceleration factor is 966 times). Change the life and the cumulative failure probability to confirm when necessary, for example, by changing them to 0,1 % in 15 years for automotive use. If the ratio between the operating time and the non-operating time (duty) can be incorporated, it can also be included
- e) Finalize the test plan from the relationship between the test time at which the failure distribution crosses the cumulative failure probability to confirm during the acceleration test mentioned in item d) above. Since wear-out failures are infrequently detected in actual product reliability tests, the reliability test results can be substituted with a statistical number of failure occurrences using the confidence level such as CL of 60 %.

In the example of Figure 12 below, the probability of 0,1 % for the time intervall of 10 years can be confirmed with the number of samples: 77 and the test time: 208 hours; and the number of samples: 22 and the test time is 317 hours. In this way, the reliability test can be optimized by changing the combination of the test time and the number of test samples. When the number of test samples needs to be reduced, the test time should be extended instead. In

contrast, when the reliability evaluation needs to be completed in a short period of time, it can be achieved by increasing the number of samples.

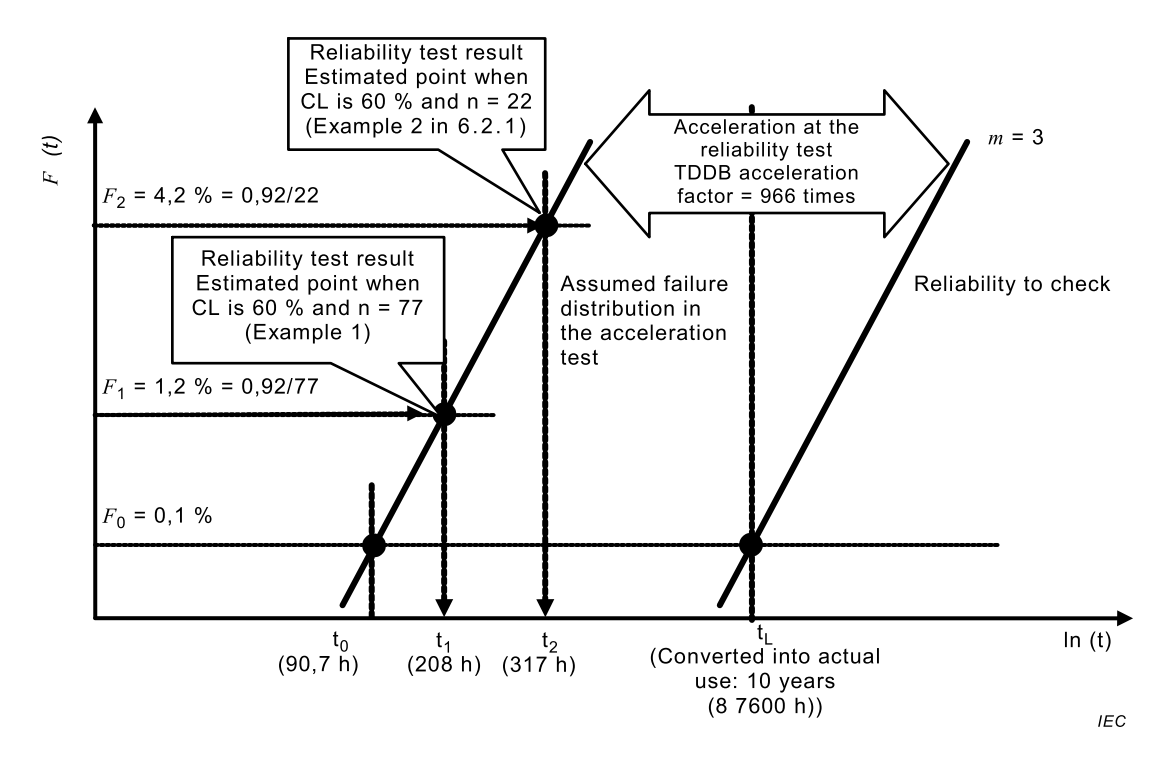


Figure 12 – Concept of the reliability test in a Weibull diagram (based on sample size)

In principle, a test plan should have a margin taking account of variations, and it shoud not be a plan to exactly confirm 0,1 %. The example of TDDB assumes m=3, but when the m value is small, the probability of occurrence of wear-out failure during the period assuming actual use increases in the confirmation of 0,1 % for the time interval of 10 years. Therefore, the target cumulative failure probability in 10 years needs to be set lower than 0,1 %. Table 2 shows the cumulative failure rate of the third, fifth, and seventh years with the target set at 0,1 % for the time interval of 10 years when m is between 1 to 5. As shown in the table, even when the target cumulative failure probability of the wear-out failure is set at 0,1 %, the wear-out failure is less likely to pose a problem within the period assuming actual use as long as the m value is large. The concept of the reliability test is that the test scale which can confirm the "wear-out failure of 0,1 % or below" is enough to verify the risk of the occurrence of wear-out failures, and it does not assume the acceptance of the occurrence of 0,1 % wear-out failures.

Table 2 – Cumulative failure probability 0,1 % over 10 years [ $\times$ 10<sup>-6</sup>] for the third, fifth and seventh years

m value	third year	fifth year	seventh year	tenth year
1,0	300	500	700	
2,0	90	250	490	1 000
3,0	27	125	343	1 000
5,0	2,0	31	168	

Subclause 6.2.2 describes the calculation method for the necessary test time and number of samples shown in Figure 12 and Figure 13.

## test samples

An estimate of the failure probability can be confirmed using the available number of samples, taking account of the confidence level.

**- 26 -**

When the Weibull function is expressed in a simple manner, the cumulative failure probability  $F_0$  is expressed by the following formula.

$$F_0 = 1 - \exp\left(-A \times \mathbf{t_0}^m\right) \tag{31}$$

where A is a constant including the shape parameter m and the scale parameter  $\eta$ ; Positional parameter  $\gamma = 0$ .

$$1 - F_0 = \exp\left(-A \times \mathbf{t_0}^m\right) \tag{32}$$

$$ln(1-F_0) = -A \times t_0^m$$
(33)

Similarly, since  $ln(1-F_1) = -A \times t_1^m$ , the following relationship is established:

$$\left[\frac{\ln(1-F_1)}{\ln(1-F_0)}\right] = \left(\frac{t_1}{t_0}\right)^m \tag{34}$$

#### **EXAMPLE 1:**

For CL of 60 % and 77 samples:  $F_1$  = 0,92/77 = 1,2 %. By substituting the parameter, the required test time can be calculated. When 77 samples are used, the cumulative wear-out failure probability of 0,1 % for a time intervall of 10 years can be confirmed in 208 hours.

$$t_1 = t_0 \times \left\lceil \frac{\ln(1 - F_1)}{\ln(1 - F_0)} \right\rceil^{\frac{1}{m}} = \frac{t_1}{A_{cc}} \times \left\lceil \frac{\ln(1 - F_1)}{\ln(1 - F_0)} \right\rceil^{\frac{1}{m}} = \frac{10 \times 8760 \text{ h}}{966} \times \left\lceil \frac{\ln(1 - 0.0012)}{\ln(1 - 0.001)} \right\rceil^{\frac{1}{3}} = 208 \text{ h}$$

#### **EXAMPLE 2**:

Similarly, when 22 samples are used,  $F_2$  = 0,92/22 = 4,2 %, and the cumulative wear-out failure probability of 0,1 % for a time intervall of 10 years can be confirmed in 317 hours.

$$t_2 = t_0 \times \left[ \frac{\ln(1 - F_2)}{\ln(1 - F_0)} \right]^{\frac{1}{m}} = \frac{t_1}{A_{cc}} \times \left[ \frac{\ln(1 - F_2)}{\ln(1 - F_0)} \right]^{\frac{1}{m}} = \frac{10 \times 8760 \text{ h}}{966} \times \left[ \frac{\ln(1 - 0,0042)}{\ln(1 - 0,001)} \right]^{\frac{1}{3}} = 317 \text{ h}$$

where

t<sub>0</sub> Time to achieve the failure probability confirmed in the acceleration test

t<sub>1</sub>,t<sub>2</sub> Test time to obtain

t<sub>i</sub> Duration of use in the field: 10 years = 87 600 h

 $F_0$  Cumulative failure probability to confirm with the life time: 0,1 % = 0,001

 $F_1,F_2$  Failure probability which can be confirmed from the number of test samples, which is calculated using the confidence level. Example 1: 1,2 %; Example 2: 4,2 %

m Weibull shape parameter of the failure: m = 3

 $A_{\rm cc}$  Acceleration factor for the reliability test: 966 times

## 6.2.3 Estimation of the number of samples required to confirm the TDDB from the test time

The estimation of the failure probability can be confirmed with the test time, substituting the parameter, and deciding the necessary test parameter from the calculated result.

$$\left[\frac{Ln(1-F_3)}{Ln(1-F_0)}\right] = \left(\frac{t_3}{t_0}\right)^m = \left(\frac{t_3 \times A_{cc}}{t_1}\right)^m 
Ln(1-F_3) = \left(\frac{t_3 \times A_{cc}}{t_1}\right)^m \times Ln(1-F_0) 
F_3 = 1 - \exp\left[\left(\frac{t_3 \times A_{cc}}{t_1}\right)^m \times Ln(1-F_0)\right]$$
(35, 36, 37)

#### **EXAMPLE 1:**

When the reliability test with  $t_3$  = 500 h is conducted, the number of samples with which the failure probability of 15,4 % can be confirmed can serve the test purpose. When CL is 60 %, the number of samples is 0,92/15,4 % = 5,97, which indicates that 500 h of the test conducted with 6 samples can confirm the cumulative wear-out failure probability of 0,1 % for a time intervall of 10 years.

$$F_3 = 1 - \exp\left[\left(\frac{t_3 \times A_{cc}}{t_1}\right)^m \times Ln(1 - F_0)\right] = 1 - \exp\left[\left(\frac{500 \times 966}{87600}\right)^3 \times Ln(1 - 0.001)\right] = 0.154 = 15.4\%$$

#### **EXAMPLE 2**:

Similarly, when the test with  $t_4$  = 100 h is conducted, the number of samples is 0,92/0,134 % = 686,6, and the cumulative wear-out failure probability of 0,1 % for a time intervall of 10 years can be confirmed with 687 samples.

$$F_4 = 1 - \exp\left[\left(\frac{t_4 \times A_{cc}}{t_1}\right)^m \times Ln(1 - F_0)\right] = 1 - \exp\left[\left(\frac{100 \times 966}{87600}\right)^3 \times Ln(1 - 0,001)\right] = 0,00134 = 0,134\%$$

where

 $t_2, t_4$ : Test time to be conducted: Example 1: 500 h; Example 2: 100 h

 $t_1$ : Duration of use in the field: 10 years = 87 600 h

 $F_0$ : Cumulative failure probability to confirm with the life time: 0,1 %

 $F_3,F_4$ : Failure probability which can be confirmed with the planned test time

m: Weibull shape parameter of the failure: m = 3

 $A_{cc}$ : Acceleration factor for the reliability test: 966 times

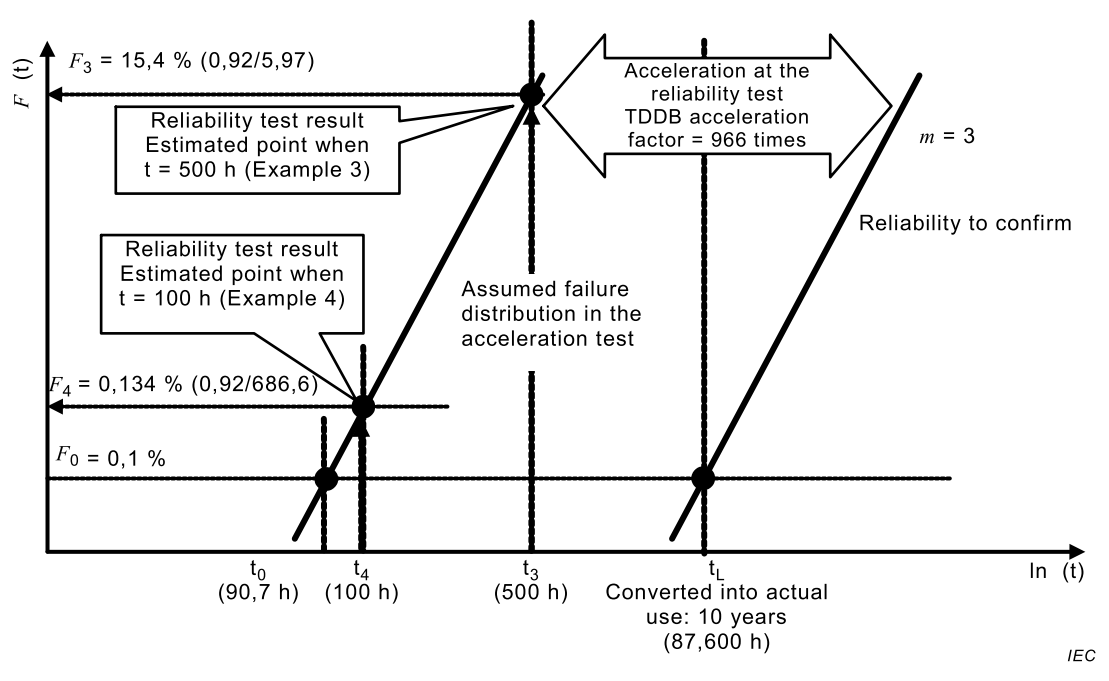


Figure 13 – Concept of the reliability test in a Weibull diagram (based on test time)

## 6.3 Reliability test methods

Table 3 and Table 4 show product reliability test methods with finished products and the major purposes of each test method. The test methods listed in Table 3 shall be used for tests conducted using this reliability test plan. Table 4 shows an example of the number of test samples and the test time in typical reliability (life) test methods. See each test standard for more details. General test scales are listed in consideration of industrial standards but the test scale can be changed flexibly as long as it is possible to confirm that the cumulative failure probability of the wear-out failure during useful life is 0,1 % or below. However, the wear-out failure-confirmation level during the useful life needs to be statistically explainable to change the test scale. In most tests, stress conditions can be accelerated by voltage, temperature, humidity, etc. Reliability during the useful life can be confirmed in a short period of time using these acceleration conditions. Table 4 shows an example of the number of test samples and the test time required to confirm the cumulative wear-out failure probability of 0,1 % for a time interval of 10 years taking acceleration models and factors of typical reliability test methods (life-confirmation) as an example. As shown in the table, the life can be confirmed with a small amount of samples in a short period of time according to the test acceleration factor. Detailed description of acceleration models and acceleration factors are shown in the bibliography which should be referred to when necessary. Note that the accuracy of the life test calculation may deteriorate when the number of samples is reduced unreasonably if the mvalue is small and the variations in the failure distribution are large. Therefore, sampling with consideration given to the wear-out failure distribution is necessary (see Figure 14).

NOTE 1 Each test in Table 4 contains only one relevant failure mechanism detectable from that test. Multiple fail mechanisms are similarly accounted for and their fail rates summed to represent a true set of test conditions and sample sizes.

NOTE 2 Detailed description of acceleration models and acceleration factors are shown in [1] as references.

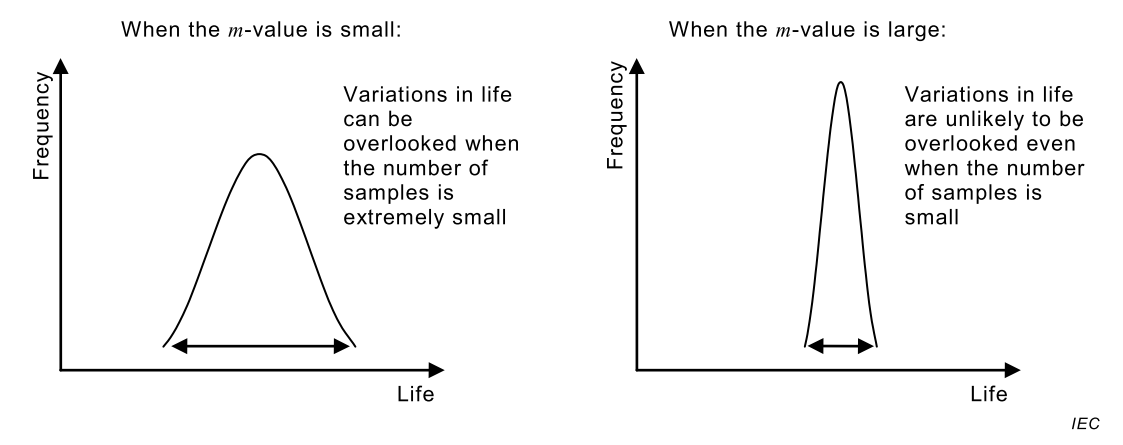


Figure 14 – Difference in sampling sizes according to the *m* value (image)

Since the useful life is carefully designed in the design phase, it is technically feasible to have a reliability test evaluation using representative models for a new product of the same design standard, with the same functions, and at the same plant as those of the existing products which have actual records of reliability test evaluations if the IC vendor and the user agree on the identity and the equivalence. To be more specific, the reliability (life) of products whose circuit design was made using the existing wafer manufacturing process and design standard at the same plant can be evaluated with the results of the reliability test of prior existing products. Hence, by explaining the equivalence based on the result of the analysis of the difference between the prior products and the new products, it can be considered as "evaluation with representative models."

Previously, wafers and dies sold received a reliability test after packaging, but currently, development of a method to conduct a reliability test in wafer form has been promoted due to problems such as the total test turnaround time including the creation of test samples. The same concept of the test with the package sealed basically applies even when the reliability test is conducted in the wafer form. However, since it is necessary to examine the test conditions when conducting operating life tests of package products, with junction temperature:  $T_{\rm j}$  taking account of package heat resistance, an appropriate test environment temperature:  $T_{\rm a}$  in consideration of heat dissipation by self-heating needs to be set when the test is conducted in the wafer form. Failure criteria shall follow individual standards.

Table 3 – Major reliability (life) test methods and purposes

Test method	Purpose	Failure mechanisms
High temperature operating life IEC 60749-23	This test provides for the methods to evaluate the endurance of ICs when they are submitted to electric stress and thermal stress of long duration.	Breakdown of oxide film over time by the electric field, migration of metal film interconnection
Temperature humidity bias IEC 60749-5	This test provides for the methods to evaluate the endurance of IC devices when they are used in high temperature and high humidity ambient.	Electrolytic corrosion of metal film interconnection, ion migration between metal interconnection, leak current caused by water
Temperature humidity storage IEC 60749-42	This test provides for the methods to evaluate the endurance of plastic moulded package ICs when they are used in high temperature and high humidity ambient.	Corrosion of metal film interconnection, leak current caused by water
Resistance of plastic encapsulated SMDs to the combined effect of moisture and soldering heat IEC 60749-20	This test provides for the methods to evaluate the resistance and the endurance of plastic molded SMD after moisture absorption during storage and after being submitted to soldering heat stress when mounted on the printed circuit board.	Package cracks, separations inside the package
Temperature cycle IEC 60749-25	This test provides for the methods to evaluate the endurance of ICs when they are exposed to repeated temperature variation cycles between high temperature and low temperature.	Package cracks, chip cracks
High temperature storage IEC 60749-6	This test provides for the methods to evaluate the endurance of ICs when stored under high temperature for a long time.	Failure of nonvolatile memory data retention

Table 4 – Examples of the number of test samples and the test time in typical reliability (life) test methods

Test method	Assumed failure mode	Failure distribu- tion	Accelera- tion parameter	Accele- ration formula	Acce- lera- tion factor	Reliability qualification plan to confirm the life of 10 years / 0,1 %									
High temperature	TDDB (Time-	Weibull	Activation energy: Ea = 0,7eV	Formula (21)	77,8	Number of test samples	11	22	45	77	154	231			
operating life IEC 60749- 23	dependent dielectric breakdown of oxide film) distribution $m=3$	Voltage acceleration factor: β = 4,0	Formula (22)	36,6	Test time (h)	136	108	84	70	55	48				
Temperature humidity bias	Corrosion	Weibull	Water vapor			Number of test samples	11	22	45	77	154	231			
Temperature humidity storage	of metallic fine wiring $m = 4$	bution	pressure acceleration: n = 2	Formula (23)		497,7	Test time (h)	538	450	358	329	276	250		
Temperature cycle	cycle Au wire distri- difference For fracture bution acceleration:		difference	Formula		40,9	Number of test samples	11	22	45	77	154	231		
IEC 60749-25		acceleration:			acceleration:		on: (24)		40,9	Test time (cycles)	437	379	327	294	256
High temperature	Failure of nonvolatile memory	nonvolatile Weibuil	distri- Activation	Formula	Formula 2816.7	Number of test samples	11	22	45	77	154	231			
storage IEC 60749-6	data retention	bution m=4	energy: Ea = 1.0 eV	(21)	2010,7	Test time (h)	95	79	66	57	48	44			

## Preconditions

Confirm level: Cumulative failure probability: 0,1 % or below

Mean use environment temperature:  $T_i$  = 55 °C,  $T_a$  = 40 °C,

Accelerated environment temperature:  $T_{\rm j}$  = 125 °C (operating life test);  $T_{\rm a}$  = 85 °C (thermal humidity test);

 $T_a = 150 \, ^{\circ}\text{C}$  (high temperature exposure test)

Mean use environment relative humidity: 30 %

Accelerated environment relative humidity: 85 %

Use environment temperature difference: 85 °C

Accelerated environment temperature difference: 215 °C (-65 °C  $\leftrightarrow$  150 °C)

Changes in temperature environment: Twice/day

Working voltage: 2,5 V

Acceleration voltage: 3,4 V

Temperature cycle acceleration with 40 °C/30 % relative humidity and 85 °C/30 % relative humidity

Vapor pressure at 85 °C/85% relative humidity: 49,37 kPa and 40 °C/30 % relative humidity: 2,213 kPa

## 6.4 Acceleration models for reliability tests

## 6.4.1 Arrhenius model

$$\alpha_{\mathsf{T}} = \mathsf{exp} \left[ \frac{\mathsf{E}_{\mathsf{a}}}{\mathsf{k}} \times \left( \frac{\mathsf{1}}{T_{\mathsf{1}}} - \frac{\mathsf{1}}{T_{\mathsf{2}}} \right) \right] \tag{38}$$

where

E<sub>a</sub> Activation energy for the relevant failure mechanism being modelled

k: Boltzmann constant

 $T_1$  Absolute temperature in actual use

T<sub>2</sub> Absolute stress test temperature

#### 6.4.2 V-model:

$$\alpha_{V} = \exp[\beta \times (V_2 - V_1)] \tag{39}$$

where

β Constant depending on dielectric material, device structure, etc.

V<sub>1</sub> Voltage in actual use

V<sub>2</sub> Stress test voltage

## 6.4.3 Absolute water vapor pressure model

$$\alpha_{\mathsf{Vp}} = \left(\frac{V_{\mathsf{p2}}}{V_{\mathsf{p1}}}\right)^{\mathsf{n}} \tag{40}$$

where

 $V_{p1}$  Actual use environment water vapor pressure

 $V_{\rm n2}$  Test environment water vapor pressure

n Acceleration exponent (empirically determined)

## 6.4.4 Coffin-Manson model

$$\alpha_{\Delta T} = \left(\frac{\Delta T_2}{\Delta T_1}\right)^m \tag{41}$$

where

 $\Delta T_1$  Temperature difference in actual use;

ΔT<sub>2</sub> Stress test temperature difference

m Coffin-Manson exponent dependent on material hardness

## 7 Stress test methods

Unlike the reliability test (e.g., TDDB) which is designed to confirm the lifetime due to a particular fail mechanism, the stress test (e.g., HTOL, THB) aims to confirm tolerance (strength) for mechanical and environmental stresses received in customers' processes or in the field, and does not aim to confirm particular failure mechanisms which progress over operating hours. In general, the stress test does not confirm the reliability by setting a target failure rate, and instead, it judges the reliability according to the product category determined by strength or acceptance against standard values. The number of test samples has conventionally been determined based on the LTPD sampling standard (LTPD 10 %) and Table 5 shows an acceptance number for Ac = 0. However, unlike manufacturing defects, the strength distribution is determined by materials and structures, hence it does not have large variations. The same applies to tests such as electrostatic breakdown in which the strength is determined by circuit designs, circuit layouts, and device structures. Stress test conditions simulate stresses received in the field and are set more strictly than actual stresses received in the field. Some tests such as the solderability test set test conditions more strictly than

those under the real environment by pre-treatment, hence actual risks are small, for example, even when 5 samples with LTPD 50 % or 11 samples with LTPD 20 % are used for sampling, which are sufficient as the test scale. For tests which may produce different results depending on variations in materials, it is only necessary to give considerations such as deciding the sampling size taking account of variations in materials. For example, since the result of the terminal stress test depends on the terminal thickness, risks of reducing the number of samples can be reduced taking account of variations by conducting the test using samples created with the lower limit (thin) of the thickness specifications. Major reliability (strength) test methods are shown in Table 6. The test methods listed in Table 6 shall be used for tests conducted using this reliability test plan.

Table 5 – LTPD sampling table for acceptance number Ac = 0

LTPD	50 %	20 %	10 %
Sample size	5	11	22

Table 6 - Major reliability (strength) test methods and purposes

Test method	Purpose	Failure mechanisms
Resistance to soldering temperature for through-hole mounted devices  IEC 60749-15	This test provides for the methods to evaluate the resistance to heat working on the ICs during soldering.	Package cracks, separations inside the package
Solderability IEC 60749-21	This test provides for the methods to evaluate the solderability of the terminals of ICs.	Failure of soldering to the terminal
Electrostatic discharge (ESD) sensitivity testing – Human body model (HBM) IEC 60749-26,	This test prescribes procedure of evaluating the endurance of an IC to human body electrostatic discharging while the IC is handled until mounting into electronic equipment.	Mainly diffusion bonding disruption, oxide film destruction
Electrostatic discharge (ESD) sensitivity testing – Direct contact charged device model (DC-CDM) IEC 60749-28	This test specifies the test method for clarifying resistance when integrated circuits are exposed to the electrostatic discharge of the charged device model during handling until integrated circuits are mounted in electronic equipment.	Mainly oxide film destruction
Latch-up test IEC 60749-29	the latch-up susceptibility of ICs with CMOS	

## 8 Supplementary tests

Table 7 shows supplementary test methods and their purpose. Although these are established test methods, their use as reliability tests is questionable due to no correlation in terms of failure detection of ICs or their duplication of other test methods. In light of this, these test methods are classed as "supplementary tests" in this document, with a lower priority.

Table 7 – Supplementary tests

Test method	Purpose	Major detectable failures
Cold IEC 60068-2-1	This test provides for the methods to evaluate the endurance of ICs when stored under low temperature for a long time.	In general, there is no failure mode of ICs which becomes apparent when exposed at a low temperature.
Damp heat cyclic (12h + 12h cycle) IEC 60068-2-30)	This test provides for the method to evaluate the endurance of ICs when they are exposed temperature changes under high humidity conditions.	Cracks caused by package respiration and freezing.
Rapid change of temperature – two-fluid- bath method IEC 60749-11	This test provides for the method to evaluate the endurance of ICs when they are submitted to rapid changes in the temperature.	Package cracks

## 9 Summary table of assumptions

A summary table of assumptions such as calculation formulae and numerical values is given in Table 8 (see Bibliography, [4]).

Table 8 – Accelerating factors, calculation formulae and numerical values<sup>a</sup>

Accelerating factor	Acceleration model	Coefficient (reference value)	Remarks
Temperature	Arrhenius model	Ea: 1,0 eV to 1,26 eV	Al-Au alloy
	$TTF = A \times exp\left(\frac{E_a}{k \times T}\right)$	Ea: 0,55 eV to 0,6 eV	Electro-migration of Al
	( <b>k</b> ×T )	Ea: 0,8 eV to 1,0 eV	Electro-migration of Cu
		Ea: 0,7 eV to 0,9 eV	Al corrosion (moisture ingress)
		Ea: 0,3 eV to 1,1 eV	Time-dependent dielectric breakdown (TDDB) of oxide film
		Ea:-0,1 eV to -0,2 eV	Hot carrier injection (HCI)
Electric field (voltage)	E model (Vg model)	γ: 2 cm/MV to 4 cm/MV	
(voitage)	$TTF = A \times exp(-\gamma \times E_{ox})$	β: 3/V to 8/V	TDDB of gate oxide
	$TTF = A \times exp \Big( -\phi \times V_{g} \Big)$	p. 6, 1 to 6, 1	(Tox > 5 nm)
	$V_{\rm q}^{-n}$ model (Power-law model)		TDDB of ultrathin gate oxide
	$TTF = A \times V_{g}^{-n}$	N: 30 to 50	(Tox < 2 nm)
Temperature difference	Temperature difference acceleration model	n: 6 to 7,5	Al slide
unierence	$TTF = A \times \Delta T^{-n}$	n: 4,4 to 11	Interlayer film cracks
	111 - A \ 21	n: 4 to 7	Au wire fracture
		n = 5	Package cracks
	Modified Coffin-Manson model <sup>[6]</sup>	m = 1/3	Soldering thermal fatigue
	(Norris-Landzberg Model)	n = 1,9	
	$TTF = A \times f^{m} \times \Delta T^{-n} \times exp\left(\frac{E_{a}}{k \times T_{max}}\right)$		
Humidity (water vapor)	Absolute water vapor pressure model	n = 2	
	$TTF = A \times V_{p}^{-n}$		
	Relative humidity model	n: 4 to 6	
	$TTF = A \times RH^{-n} \times exp\left(\frac{E_a}{k \times T}\right)$	n: 2,7 to 3,0	Al corrosion
Electric current	Black model	n: 1 to 3	Electromigration of Al
	$TTF = A \times J^{-n} \times exp\left(\frac{E_a}{k \times T}\right)$	n: 1 to 2	Electromigration of Cu
	Substrate current model	n: 2 to 4	Hot carrier injection (NMOS)
	$TTF = A \times I_{sub}^{-n}$		

<sup>&</sup>lt;sup>a</sup> Failure at low temperature can be caused by hot carrier injection. However, its activation energy is sufficiently low and the stress voltage condition is limited in the actual product. Circuit design considerations to avoid this failure are sufficiently well known that this failure is not a dominant failure mode.

#### 10 Summary

This document describes methods to assess the reliability and quality of ICs. Product categories were set for automotive applications and for general applications as a target of reliability. The category for automotive use was further classified into two sub-categories according to applications. Annual operating hours, useful life, etc. were assumed for each category to define verification methods for early failure rate and wear-out failure.

In general, ICs tend to cause failures in early failure mode more often, and the random failure and the wear-out failure infrequently occur.

Since early failures are mainly caused by manufacturing defects, the early failure rate can be reduced by screening potential failures. Concerning the wear-out failure, the reliability test accelerating environmental conditions such as voltage, temperature, and humidity allows to confirm that the failure does not occur during the durable period.

The early failure rate can be estimated statistically using the convergent characteristics obtained from the failure probability by screening in each process such as the probe test and burn-in as well as the acceleration factors according to failure modes, and the screening conditions and time to achieve the target early failure rate can be fixed. The wear-out failure can be verified with a small number of samples in a short period of time by setting voltage, temperature, and humidity within the appropriate range of stress according to failure modes to confirm and applying stress which accelerates the stress in the actual field environment. If the acceleration factor is large, the time or the number of samples for the reliability test can be reduced without being bound by the conventional concept of 1 000 h by giving sufficient considerations to the accuracy of the test, such as variations in the failure distribution.

The publication of this document aims at demonstrating that reliability test costs and period can be reduced by introducing appropriate reliability test times and number of test samples per the methods introduced in this guideline, and that it is important to precisely screen the early failures which determine the actual field quality. However, it is important to verify the grounds for the acceleration factor, the Weibull shape parameter, etc. used to decide the screening conditions or the reliability test conditions, not limited to the early failure and the wear-out failure, and be able to explain the validity of the test.

## Bibliography

- [1] IEC 60068-2-1, Environmental testing Part 2-1: Tests: Test A: Cold
- [2] IEC 60068-2-30, Environmental testing Part 2-30: Tests: Test Db: Damp heat cyclic (12 h + 12 h cycle)
- [3] IEC 60749-11, Semiconductor devices Mechanical and climatic test methods Part 11: Rapid change of temperature two-fluid-bath method
- [4] JEITA EDR-4704A, Application Guide of the Accelerated Life Test for Semiconductor Devices, Japan Electronics and Information Technology Industries Association (JEITA), 2007
- [5] JEDEC JESD94A, Application Specific Qualification Using Knowledge Based Test Methodology, 2007
- [6] JEDEC JEP122, Failure Mechanisms and Models for Semiconductor Devices
- [7] JP001, Joint publication. foundry process. qualification guidelines. (Wafer Fabrication Manufacturing Sites)
- [8] IECQ (Parts 01-03), IEC Quality Assessment System for Electronic Components (IECQ System)
- [9] JEDEC JESD74, Early Life Failure Rate Calculation
- [10] JEITA EDR-4705, Report on Failure Mechanism of LSI and Reliability Test Method
- [11] JEDEC JESD47, Failure mechanism based stress test qualification for integrated circuits
- [12] JEDEC JEP122, Failure Mechanisms and Models for Semiconductor Devices
- [13] JEDEC JESD85, Calculating Failure Rates in Units of FITS
- [14] JEITA EDR-4708, Guideline for LSI Reliability Qualification Plan
- [15] AEC Q100, Stress Test Qualification for Integrated Circuits

# SOMMAIRE

ΑV	ANT-P	PROPOS	40
INT	RODU	JCTION	42
1	Dom	aine d'application	43
2	Réfé	rences normatives	43
3	Term	nes et définitions	44
4	Caté	gories de produits et applications	44
5	Défa	illance	45
	5.1	Distribution des défaillances	45
	5.2	Défaillance précoce	
	5.2.1	Description	46
	5.2.2	Paux de défaillance précoce	48
	5.2.3	B Dépistage	51
	5.3	Défaillance aléatoire	53
	5.3.1	Description	53
	5.3.2	2 Taux moyen de défaillance	54
	5.4	Défaillance par usure	57
	5.4.1	Description	57
	5.4.2	Taux de défaillance par usure	57
6	Essa	ni de fiabilité	60
	6.1	Description	60
	6.2	Plan d'essai de fiabilité	61
	6.2.1	Modes opératoires pour la création d'un plan d'essai de fiabilité	61
	6.2.2	Estimation de la durée d'essai exigée pour confirmer le TDDB à partir du nombre d'échantillons	63
	6.2.3	Estimation du nombre d'échantillons exigé pour confirmer le TDDB à partir de la durée d'essai	64
	6.3	Méthodes d'essai de fiabilité	65
	6.4	Modèles d'accélération pour les essais de fiabilité	69
	6.4.1	Modèle d'Arrhenius	69
	6.4.2		
	6.4.3	Modèle de pression de vapeur d'eau absolue	69
	6.4.4	Modèle de Coffin-Manson	69
7	Méth	nodes d'essai sous contrainte	69
8	Essa	nis supplémentaires	71
9	Table	eau récapitulatif des hypothèses	72
10	Résu	umé	73
Bib		ohie	
	31		
		– Courbe en baignoire	46
		<ul> <li>Procédé d'identification des défaillances sur les lots de fabrication de CI au la période de défaillance précoce</li> </ul>	47
		- Graphique de Weibull représentant le concept du taux de défaillance	48
		– Exemple d'un rapport de taux de défaillance $lpha$ (en centaines) en fonction	3
		re de défaillances pour un CL de 60 %	50

Figure 5 – Dépistage et taux estimé de défaillance précoce sur le graphique de Weibull	52
Figure 6 – Courbe en baignoire prenant comme origine le point immédiatement après la production	53
Figure 7 – Courbe en baignoire prenant comme origine le point après dépistage	53
Figure 8 – Modèle conceptuel de la méthode de calcul du taux moyen de défaillance à partir de la distribution exponentielle	55
Figure 9 – Modèle conceptuel de la méthode de calcul du taux moyen de défaillance en tant qu'extension de la défaillance précoce	56
Figure 10 – Modèle conceptuel de la défaillance par usure	58
Figure 11 – Modèle conceptuel décrivant le concept de l'essai d'accélération	58
Figure 12 – Modèle conceptuel de l'essai de fiabilité sur un diagramme de Weibull (basé sur la taille d'échantillon)	62
Figure 13 – Concept de l'essai de fiabilité sur un diagramme de Weibull (basé sur la durée d'essai)	65
Figure 14 – Différence de tailles d'échantillonnage en fonction de la valeur $m$ (image)	66
Tableau 1 – Exemples de catégories de produits	45
Tableau 2 – Probabilité de défaillance cumulée à 0,1 % sur 10 ans [×10 <sup>–6</sup> ] pour les 3 <sup>e</sup> , 5 <sup>e</sup> et 7 <sup>e</sup> années	63
Tableau 3 – Principales méthodes d'essai de fiabilité (durée de vie) et objectifs visés	67
Tableau 4 – Exemples du nombre d'échantillons et de la durée d'essai avec des méthodes types de l'essai de fiabilité (durée de vie)	68
Tableau 5 – Echantillonnage en fonction du LTPD avec nombre d'acceptation Ac = 0	70
Tableau 6 – Principales méthodes d'essai de fiabilité (résistance) et objectifs visés	71
Tableau 7 – Essais supplémentaires	71
Tableau 8 – Facteurs d'accélération, formules de calcul et valeurs numériques <sup>a</sup>	72

# COMMISSION ÉLECTROTECHNIQUE INTERNATIONALE

# DISPOSITIFS À SEMICONDUCTEURS – MÉTHODES D'ESSAIS MÉCANIQUES ET CLIMATIQUES –

# Partie 43: Lignes directrices concernant les plans de qualification de la fiabilité des CI

#### **AVANT-PROPOS**

- 1) La Commission Electrotechnique Internationale (IEC) est une organisation mondiale de normalisation composée de l'ensemble des comités électrotechniques nationaux (Comités nationaux de l'IEC). L'IEC a pour objet de favoriser la coopération internationale pour toutes les questions de normalisation dans les domaines de l'électricité et de l'électronique. A cet effet, l'IEC entre autres activités publie des Normes internationales, des Spécifications techniques, des Rapports techniques, des Spécifications accessibles au public (PAS) et des Guides (ci-après dénommés "Publication(s) de l'IEC"). Leur élaboration est confiée à des comités d'études, aux travaux desquels tout Comité national intéressé par le sujet traité peut participer. Les organisations internationales, gouvernementales et non gouvernementales, en liaison avec l'IEC, participent également aux travaux. L'IEC collabore étroitement avec l'Organisation Internationale de Normalisation (ISO), selon des conditions fixées par accord entre les deux organisations.
- 2) Les décisions ou accords officiels de l'IEC concernant les questions techniques représentent, dans la mesure du possible, un accord international sur les sujets étudiés, étant donné que les Comités nationaux de l'IEC intéressés sont représentés dans chaque comité d'études.
- 3) Les Publications de l'IEC se présentent sous la forme de recommandations internationales et sont agréées comme telles par les Comités nationaux de l'IEC. Tous les efforts raisonnables sont entrepris afin que l'IEC s'assure de l'exactitude du contenu technique de ses publications; l'IEC ne peut pas être tenue responsable de l'éventuelle mauvaise utilisation ou interprétation qui en est faite par un quelconque utilisateur final.
- 4) Dans le but d'encourager l'uniformité internationale, les Comités nationaux de l'IEC s'engagent, dans toute la mesure possible, à appliquer de façon transparente les Publications de l'IEC dans leurs publications nationales et régionales. Toutes divergences entre toutes Publications de l'IEC et toutes publications nationales ou régionales correspondantes doivent être indiquées en termes clairs dans ces dernières.
- 5) L'IEC elle-même ne fournit aucune attestation de conformité. Des organismes de certification indépendants fournissent des services d'évaluation de conformité et, dans certains secteurs, accèdent aux marques de conformité de l'IEC. L'IEC n'est responsable d'aucun des services effectués par les organismes de certification indépendants.
- 6) Tous les utilisateurs doivent s'assurer qu'ils sont en possession de la dernière édition de cette publication.
- 7) Aucune responsabilité ne doit être imputée à l'IEC, à ses administrateurs, employés, auxiliaires ou mandataires, y compris ses experts particuliers et les membres de ses comités d'études et des Comités nationaux de l'IEC, pour tout préjudice causé en cas de dommages corporels et matériels, ou de tout autre dommage de quelque nature que ce soit, directe ou indirecte, ou pour supporter les coûts (y compris les frais de justice) et les dépenses découlant de la publication ou de l'utilisation de cette Publication de l'IEC ou de toute autre Publication de l'IEC, ou au crédit qui lui est accordé.
- 8) L'attention est attirée sur les références normatives citées dans cette publication. L'utilisation de publications référencées est obligatoire pour une application correcte de la présente publication.
- 9) L'attention est attirée sur le fait que certains des éléments de la présente Publication de l'IEC peuvent faire l'objet de droits de brevet. L'IEC ne saurait être tenue pour responsable de ne pas avoir identifié de tels droits de brevets et de ne pas avoir signalé leur existence.

La Norme internationale IEC 60749-43 a été établie par le comité d'études 47 de l'IEC: Dispositifs à semiconducteurs.

Le texte de cette Norme internationale est issu des documents suivants:

FDIS	Rapport de vote	
47/2389/FDIS	47/2406/RVD	

Le rapport de vote indiqué dans le tableau ci-dessus donne toute information sur le vote ayant abouti à l'approbation de cette norme.

Ce document a été rédigé selon les Directives ISO/IEC, Partie 2.

Une liste de toutes les parties de la série IEC 60749, publiées sous le titre général *Dispositifs* à semiconducteurs – Méthodes d'essais mécaniques et climatiques, peut être consultée sur le site web de l'IEC.

Le comité a décidé que le contenu de ce document ne sera pas modifié avant la date de stabilité indiquée sur le site web de l'IEC sous "http://webstore.iec.ch" dans les données relatives au document recherché. A cette date, le document sera

- reconduit,
- supprimé,
- remplacé par une édition révisée, ou
- amendé.

IMPORTANT – Le logo "colour inside" qui se trouve sur la page de couverture de cette publication indique qu'elle contient des couleurs qui sont considérées comme utiles à une bonne compréhension de son contenu. Les utilisateurs devraient, par conséquent, imprimer cette publication en utilisant une imprimante couleur.

#### INTRODUCTION

Le présent document donne aux fournisseurs de CI à semiconducteurs des lignes directrices pour la préparation de plans d'essais de fiabilité détaillés concernant la qualification des dispositifs. De tels plans sont destinés à être préparés avant le début des essais de qualification et après consultation de l'utilisateur de leur produit de circuit intégré à semiconducteurs.

Les lignes directrices donnent plusieurs exemples de création de plans d'essais de qualification de fiabilité pour déterminer les conditions adaptées aux essais de fiabilité et basées sur les normes de qualité exigées en conditions d'utilisation pour chaque application de circuits intégrés à semiconducteurs. Différentes catégories sont définies pour les applications automobiles et les applications générales en tant qu'objectifs de fiabilité. La catégorie Utilisation dans le secteur automobile est également scindée en deux souscatégories qui varient en fonction des applications. Les lignes directrices prennent pour hypothèse des heures de fonctionnement annuelles, une durée de vie utile, etc., pour chaque catégorie, et définissent les méthodes de vérification du taux de défaillance précoce et de la défaillance par usure afin de proposer des essais de fiabilité appropriés et présentent, dans le même temps, des concepts visant à garantir la qualité des circuits intégrés à semiconducteurs en utilisant des techniques de dépistage conçues pour réduire le taux de défaillance précoce.

Il faut noter que les conditions d'essai et les valeurs des facteurs d'accélération présentées dans ces lignes directrices sont destinées à fournir des exemples de calcul permettant d'obtenir des conditions d'essai de fiabilité afin de vérifier les normes de qualité exigées, et ne sont pas conçues pour définir les normes visant à garantir la fiabilité des circuits intégrés à semiconducteurs.

NOTE Les essais de qualification sont des essais au cours desquels le fournisseur de semiconducteurs tient compte de la fiabilité exigée par les utilisateurs de ses produits.

# DISPOSITIFS À SEMICONDUCTEURS – MÉTHODES D'ESSAIS MÉCANIQUES ET CLIMATIQUES

# Partie 43: Lignes directrices concernant les plans de qualification de la fiabilité des CI

# 1 Domaine d'application

La présente partie de l'IEC 60749 fournit des lignes directrices concernant les plans de qualification de la fiabilité des produits de circuits intégrés (CI) à semiconducteurs. Le présent document n'est pas destiné aux applications militaires et spatiales.

NOTE 1 Le fabricant peut utiliser des tailles d'échantillon flexibles afin de réduire les coûts tout en maintenant une fiabilité raisonnable par l'adaptation des présentes lignes directrices basées sur l'EDR-4708. S'ils sont spécifiés, les documents AEC Q100, JESD47 ou tout autre document pertinent peuvent également être applicables.

NOTE 2 La méthode de distribution de la loi de Weibull utilisée dans le présent document n'est qu'une méthode parmi d'autres permettant de calculer la taille d'échantillon et les conditions d'essai appropriées pour un projet d'essai de fiabilité donné.

#### 2 Références normatives

Les documents suivants cités dans le texte constituent, pour tout ou partie de leur contenu, des exigences du présent document. Pour les références datées, seule l'édition citée s'applique. Pour les références non datées, la dernière édition du document de référence s'applique (y compris les éventuels amendements).

IEC 60749-5, Dispositifs à semiconducteurs – Méthodes d'essais mécaniques et climatiques – Partie 5: Essai continu de durée de vie sous température et humidité avec polarisation

IEC 60749-6, Semiconductor devices – Mechanical and climatic test methods – Part 6: Storage at high temperature (disponible en anglais seulement)

IEC 60749-15, Dispositifs à semiconducteurs – Méthodes d'essais mécaniques et climatiques – Partie 15: Résistance à la température de soudage pour dispositifs par trous traversants

IEC 60749-20, Dispositifs à semiconducteurs – Méthodes d'essais mécaniques et climatiques – Partie 20: Résistance des CMS à boîtier plastique à l'effet combiné de l'humidité et de la chaleur de brasage

IEC 60749-21, Dispositifs à semiconducteurs – Méthodes d'essais mécaniques et climatiques – Partie 21: Brasabilité

IEC 60749-23, Dispositifs à semiconducteurs – Méthodes d'essais mécaniques et climatiques – Partie 23: Durée de vie en fonctionnement à haute température

IEC 60749-25, Dispositifs à semiconducteurs – Méthodes d'essais mécaniques et climatiques – Partie 25: Cycles de température

IEC 60749-26, Dispositifs à semiconducteurs – Méthodes d'essais mécaniques et climatiques – Partie 26: Essai de sensibilité aux décharges électrostatiques (DES) – Modèle du corps humain (HBM)

IEC 60749-28, Semiconductor devices – Mechanical and climatic test methods – Part 28: Electrostatic discharge (ESD) sensitivity testing – Charged device model (CDM) – Device level

IEC 60749-29, Dispositifs à semiconducteurs – Méthodes d'essais mécaniques et climatiques – Partie 29: Essai de verrouillage

IEC 60749-42, Dispositifs à semiconducteurs – Méthodes d'essais mécaniques et climatiques – Partie 42: Stockage de température et d'humidité

#### 3 Termes et définitions

Pour les besoins du présent document, les termes et définitions suivants s'appliquent.

L'ISO et l'IEC tiennent à jour des bases de données terminologiques destinées à être utilisées en normalisation, consultables aux adresses suivantes:

- IEC Electropedia: disponible à l'adresse http://www.electropedia.org/
- ISO Online browsing platform: disponible à l'adresse http://www.iso.org/obp

#### 3.1

#### mode de défaillance

classification de la nature d'un phénomène de défaut qui engendre la défaillance d'un produit

Note 1 à l'article: Une coupure de l'alimentation, un court-circuit, une perte occasionnelle, l'abrasion, la dégradation de caractéristiques, etc., sont des éléments types considérés comme des modes de défaillance.

#### 3.2

#### mécanisme de défaillance

procédé physique, chimique ou autre ayant conduit à une défaillance

#### 3.3

# circuit intégré

CI

microcircuit dans lequel tout ou partie des éléments constitutifs du circuit sont solidaires les uns des autres et interconnectés électriquement, de manière à ce qu'il soit considéré comme indivisible dans le contexte des procédés de fabrication et de commercialisation

## 4 Catégories de produits et applications

Les exigences liées à la qualité, les heures de fonctionnement et les conditions de fonctionnement des CI exigées sur le terrain dépendent des applications des produits dans lesquels ils sont utilisés. A titre d'exemple de création de plans d'essais scientifiques, leurs applications sont généralement scindées en trois catégories de produits: Utilisation dans le secteur automobile A, Utilisation dans le secteur automobile B et Utilisation dans les produits de consommation. Le Tableau 1 présente une liste d'exigences liées à la qualité en fonction de chaque catégorie de produits, ainsi que la définition de leurs conditions d'utilisation.

Tableau 1 – Exemples de catégories de produits

Catégorie	Utilisation dans le secteur automobile A	Utilisation dans le secteur automobile B	Utilisation dans les produits de consommation
Critères de la catégorie	Applications dans le secteur automobile directement liées à la sécurité. (Une défaillance peut entraîner un accident.)	Applications dans le secteur automobile non directement liées à la sécurité.	Applications autres que dans le secteur automobile. Les applications industrielles doivent être traitées individuellement.
Exemples d'applications	Groupes propulseurs, freins, systèmes d'aide à la conduite, coussins de sécurité gonflables	Systèmes de navigation, climatiseurs de voiture, systèmes audio	Produits électroniques de consommation, jouets, appareils domestiques
Heures de fonctionnement annuelles	500 h (heures de conduite)  Varie en fonction de la position de clé nécessaire pour le fonctionnement (marche/arrêt).	500 h (heures de conduite)	Jusqu'à 8 760 h Varie selon l'application.
Durée de vie utile	15 ans (probabilité de défaillance cumulée: 0,1 %)	15 ans (probabilité de défaillance cumulée: 0,1 %)	Jusqu'à 10 ans (probabilité de défaillance cumulée: 0,1 %) Varie selon l'application.
Conditions de fonctionnement prises pour hypothèse (exemples de conditions qui varient selon l'application)	$T_{ m a,min}$ = -40 °C/ $T_{ m j,typ}$ = 100 °C / Humidité relative (HR) min HR (avec 10 % de conde Exemple d'enviro	T <sub>j,max</sub> = 150 °C n.: 0 % / HR max.: 100 %, uite) (avec 70 % d'arrêt) nnement intérieur n.)/85 °C (max.) )/125 °C (max.) / 100 % (max.),	$T_{\rm a,min} = 0~{\rm ^{\circ}C} \ / \ T_{\rm a,max} = 70~{\rm ^{\circ}C}$ $T_{\rm j} = 70~{\rm ^{\circ}C/105~^{\circ}C} \ (max.)$ HR = 10 % (min.) / 80 % (max.) HR (avec 20 % sous tension) (avec 60 % hors tension)
Taux de défaillance précoce	1 × 10 <sup>-6</sup> par an ou moins	50 × 10 <sup>-6</sup> par an ou moins	Jusqu'à 500 × 10 <sup>-6</sup> par an Varie selon l'application.
Taux de défaillance aléatoire	Intensité de défaillance (FIT, Failure In Time) de 10 FIT ou moins	50 FIT ou moins	>50 FIT (valeur type) Varie selon l'application.

NOTE Dans ces exemples, les conditions et les exigences des applications ne doivent pas toutes être satisfaites pour être pertinentes dans chaque cas d'utilisation.

#### 5 Défaillance

#### 5.1 Distribution des défaillances

La distribution des défaillances de CI peut généralement être scindée en trois régions: la région des défaillances précoces (par exemple  $t_{\rm ELF}=1$  an), la région des défaillances aléatoires et la région des défaillances par usure. La Figure 1 représente la relation entre le temps d'utilisation sur le terrain et le taux instantané de défaillance (courbe en baignoire). Les distributions de défaillances pour chaque région sont détaillées en 5.2 à 5.4.

La majorité des défaillances précoces sont détectées au cours des procédés de fabrication des fournisseurs de CI. Cependant, les CI non totalement contrôlés peuvent engendrer des

problèmes sur une période relativement courte après le début de leur fonctionnement sur le terrain.

La défaillance aléatoire est considérée comme atteignant un certain taux de défaillance en fonction du temps mais, en fait, il est approprié de la considérer comme une extension de la région des défaillances précoces où le taux de défaillance continue à décliner. Il convient de ne pas inclure dans le calcul du taux de défaillance les défaillances potentiellement induites et échappant au contrôle du fournisseur, telles que les décharges électrostatiques (DES) et les surcharges électriques (EOS, Electrical OverStress), sauf si un taux de défaillance global incluant ces types de modes de défaillance est prévu.

La défaillance par usure est une défaillance qui survient en raison de l'arrivée en fin de vie des composants de CI tels que les transistors et les interconnexions, et indique la durée de vie des CI à proprement parler. La défaillance par usure est une défaillance qui dépend du profil de charge d'utilisation (les plages de temps peuvent être différentes). Le nombre de défaillances augmente au fil du temps et chaque CI finira par engendrer une défaillance audelà de la durée de vie spécifiée prévue pour la pièce. Les défaillances par usure ne sont pas considérées de la même manière car elles ont un mécanisme totalement différent et, de ce fait, une description mathématique différente (distribution des défaillances). Par conséquent, il est important d'empêcher cette défaillance au cours de la période durable. Pour les CI, le temps nécessaire pour atteindre la probabilité de défaillance cumulée de 0,1 % sur la durée de vie spécifiée de la pièce dans l'application donnée est généralement défini comme leur durée de vie spécifiée.

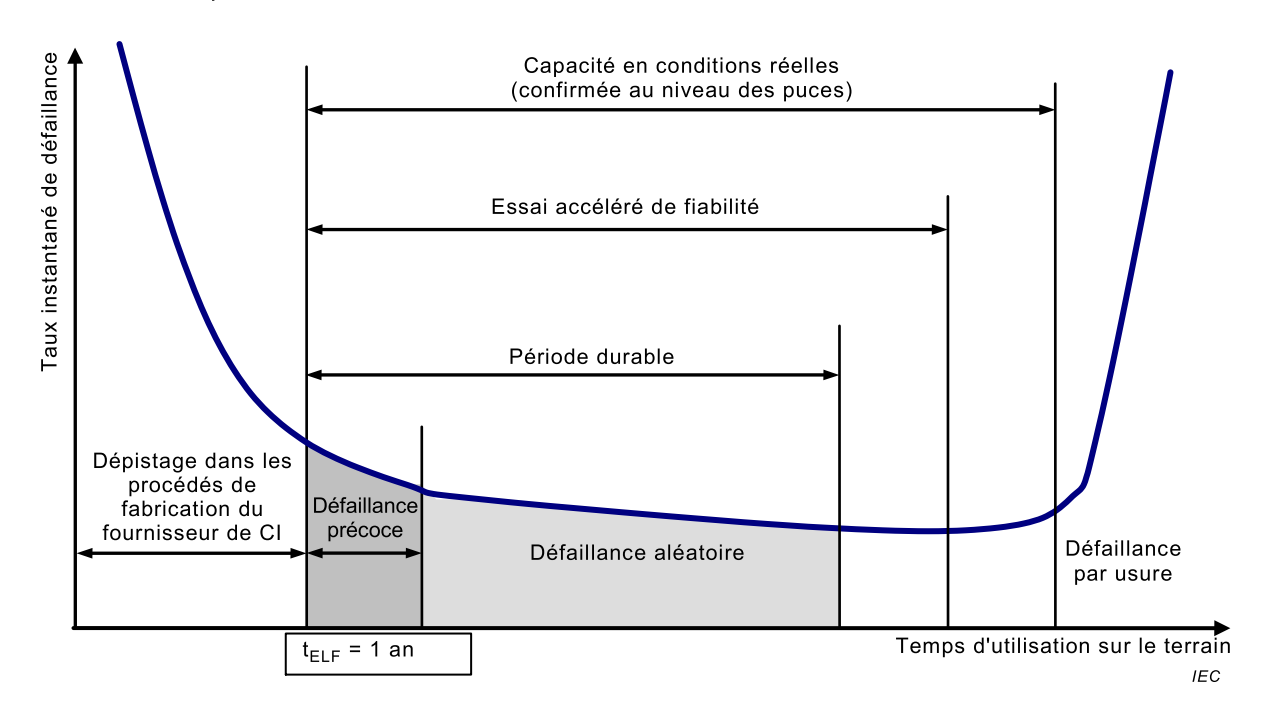


Figure 1 – Courbe en baignoire

#### 5.2 Défaillance précoce

#### 5.2.1 Description

Comme les CI contiennent des éléments de très petite taille, et qu'ils sont caractérisés par une forte densité d'éléments et une grande complexité, ils sont exposés aux défauts générés au cours des procédés de fabrication. C'est la raison pour laquelle les «bons» dispositifs, qui satisfont aux caractéristiques et fonctions exigées, sont triés à la dernière étape des procédés de fabrication. Le rapport des bons dispositifs par rapport à la quantité totale produite et soumise à l'essai dans le cadre de ce procédé est appelé le «rendement». Au cours du tri des bons dispositifs, des mesures sont effectuées sur autant de paramètres que possible, y compris les caractéristiques et fonctions exigées. Cependant, certains de ces

bons dispositifs triés peuvent inclure des dispositifs ayant des défauts internes latents ou des faiblesses qui n'ont aucun impact sur les caractéristiques électriques, de sorte qu'ils fonctionnent correctement au moment du tri. Lorsque le rendement est élevé, il est moins probable que les dispositifs ayant ces défauts potentiels soient inclus. En revanche, lorsque le rendement est relativement faible, il existe une forte probabilité de mélange de ces dispositifs avec défauts latents avec les bons dispositifs. Les dispositifs présentant ces défauts potentiels peuvent finalement engendrer une défaillance au cours de leur utilisation en raison de la durée de vie raccourcie ou de l'intensité de l'application de l'utilisateur.

Un petit nombre de bons dispositifs soumis à l'essai qui contiennent de tels défauts est inclus dans le lot de fabrication et, en tant que tel, son taux de défaillance diminue au fil du temps car les CI non défectueux qui n'engendreront probablement pas de défaillance subsistent, alors que les CI défectueux sont éliminés une fois qu'ils ont engendré une défaillance. Dans ce cas, le paramètre de forme de la loi de Weibull, m, est inférieur à 1 (m < 1).

Pour être plus précis, lorsqu'un lot de fabrication contient des bons dispositifs présentant un défaut potentiel, comme représenté à la Figure 2, les produits électroniques utilisant ces dispositifs peuvent engendrer une défaillance pendant leur utilisation, et les CI défectueux sont éliminés, par dépistage dans le cadre de l'application, par réparation (remplacement de composant) ou par mise au rebut. Ce procédé aboutit à des CI fiables.

NOTE Il est largement préférable de dépister ces défaillances, qu'elles soient associées à des défauts latents ou à d'autres défauts, au niveau du fabricant de CI, plutôt qu'une fois que les CI sont parvenus jusqu'à l'utilisateur, auquel cas la correction du défaut va s'avérer plus onéreuse.

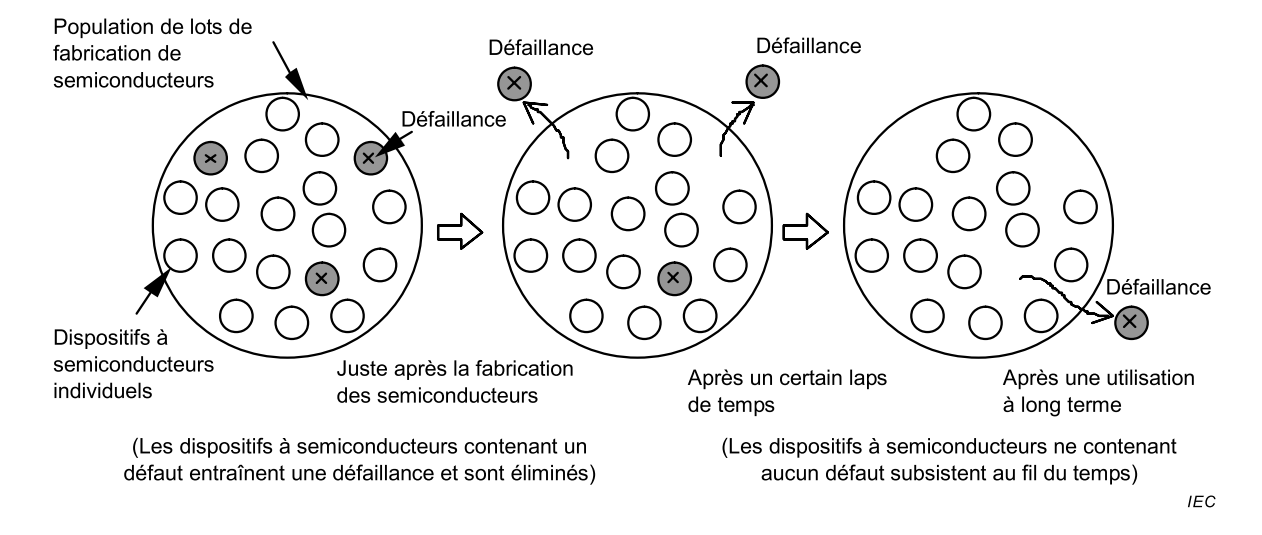


Figure 2 – Procédé d'identification des défaillances sur les lots de fabrication de CI au cours de la période de défaillance précoce

Par conséquent, la réduction des défauts générés au cours des procédés de fabrication constitue la principale disposition de prévention contre ce type de défaillance. Une autre disposition de prévention possible consiste à modifier la conception en une structure non sensible aux défauts, dans la mesure du possible.

Il existe également des techniques de dépistage, telles que le rodage, qui font fonctionner les CI dans des conditions de température et/ou de tension relativement difficiles afin d'induire l'apparition précoce des défauts et leur élimination par le tri. Ce procédé implique de consommer la période de défaillance précoce des CI avant l'expédition, ce qui peut réduire l'impact de la défaillance précoce après l'expédition. Le dépistage peut être optimisé si l'effet de la réduction susmentionnée des défauts est confirmé.

#### 5.2.2 Taux de défaillance précoce

#### 5.2.2.1 Définition

Le taux de défaillance précoce indique la probabilité de défaillances par dégradation résultant de défauts de fabrication qui apparaissent sur une année (période de défaillance précoce définie), après expédition par les fabricants de CI et le début du fonctionnement sur le terrain (dans les procédés des fabricants d'ensembles et les applications finales).

Le taux de défaillance précoce est souvent exprimé en «probabilité de défaillance cumulée» , pour laquelle le taux de défaillance qui apparaît pendant la période de défaillance précoce définie est exprimé sous forme de valeur numérique, en pourcentage (%) ou bien en parties par million (10<sup>-6</sup>).

#### 5.2.2.2 Probabilité de défaillance cumulée

En général, la probabilité de défaillance cumulée est exprimée de la manière suivante.

Lorsque le paramètre de forme de la loi de Weibull est m, le paramètre d'échelle  $\eta$  et le temps t, la probabilité de défaillance cumulée F(t): de 0 à t est définie par la Formule (1).

$$F(t) = 1 - \exp\left(-\frac{t^m}{\eta^m}\right) \tag{1}$$

La Figure 3 représente le concept du taux de défaillance précoce en utilisant un graphique de distribution de Weibull.

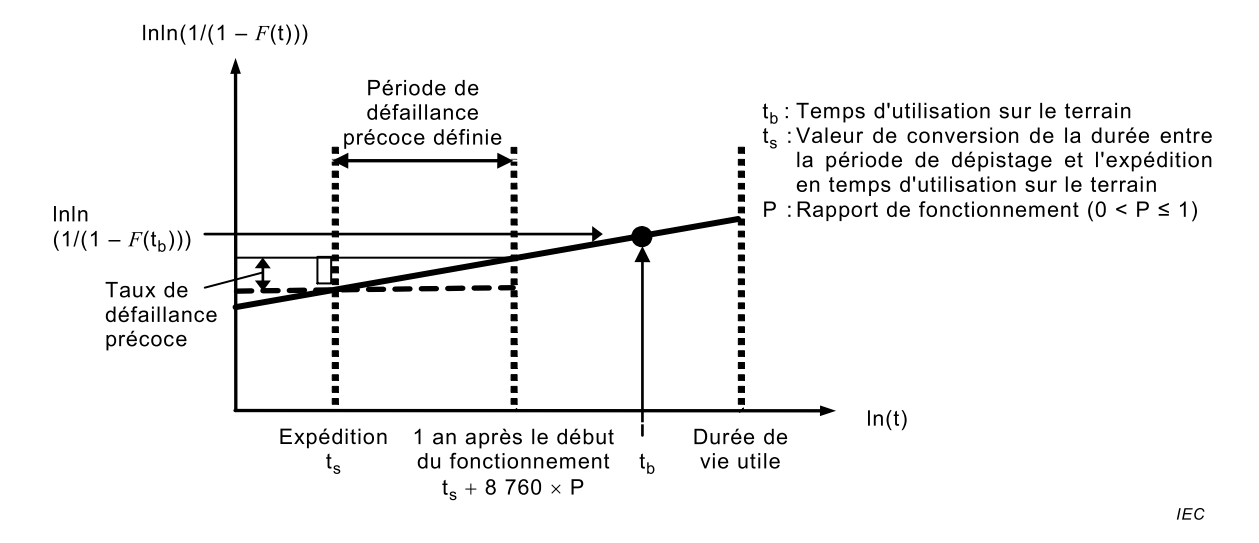


Figure 3 – Graphique de Weibull représentant le concept du taux de défaillance précoce

Les sections suivantes décrivent la méthode de calcul du taux de défaillance précoce à partir du résultat de confirmation de la convergence des défaillances cumulées lors de l'essai de dépistage.

#### 5.2.2.3 Calcul du taux de défaillance précoce

Il est admis que la probabilité de défaillance cumulée  $F(\mathsf{t_b})$  avec le temps d'utilisation sur le terrain  $\mathsf{t_b}$  a été obtenue comme résultat de confirmation de la convergence des défaillances cumulées lors de l'essai de dépistage. Le paramètre de forme de la loi de Weibull  $\eta$  est déterminé d'après la formule suivante:

$$\eta = \frac{\mathbf{t_b}}{\left[-\ln(1 - F(\mathbf{t_b}))\right]_m^{\frac{1}{m}}} \tag{2}$$

Où m indique la valeur obtenue à partir du résultat expérimental, ou est une valeur estimée. Cependant, dans la formule ci-dessus, s'il n'y a aucune défaillance, alors  $F(t_b) = 0$ , et le paramètre d'échelle  $\eta$  est non défini car le dénominateur tend vers 0.

C'est la raison pour laquelle la distribution  $\chi^2$  (khi-carré) doit être utilisée pour définir la probabilité de défaillance cumulée  $F_{\rm c}({\rm t_b})$  en tenant compte du niveau de confiance.

Cependant, ce raisonnement est basé sur l'hypothèse que le nombre d'échantillons N est suffisamment grand.

NOTE Le niveau de confiance type utilisé pour le calcul des taux de défaillance des dispositifs à semiconducteurs est de 60 %.

La probabilité de défaillance cumulée au niveau de confiance spécifié et au temps d'utilisation sur le terrain  $F_c(t_h)$  est donnée par la Formule (3).

$$F_{\rm c}(t_{\rm b})\big|_{\rm g} = \chi_{\rm g, \frac{\rm d}{2\times N}}^2 \tag{3}$$

Où:

χ<sup>2</sup> Distribution khi-carré

g Niveau de confiance (CL, Confidence Level) (en %)

d Degré de liberté = (2 × f) + 2

f Nombre de défaillances

N Nombre d'échantillons

Transposer le résultat de (3) dans (2) permet d'obtenir le paramètre d'échelle qui tient compte du niveau de confiance:

$$\eta_c = \frac{t_b}{\left[-\ln(1 - F_c(t_b))\right]_m^{\frac{1}{m}}}$$
 (4)

Lorsque la valeur de conversion de la durée entre la période de dépistage et l'expédition en temps d'utilisation sur le terrain  $t_s$  et la valeur calculée  $\eta_c$  sont utilisées, le taux de défaillance précoce tenant compte du niveau de confiance après expédition,  $F_c(t_1,t_s)$ , est donné par les formules suivantes.

Si des défaillances sont détectées au cours de la période de défaillance précoce,  $\eta$  est utilisé à la place de  $\eta_{\rm C}$  et le taux de défaillance précoce ne tient pas compte du niveau de confiance après expédition.  $F({\rm t_1,t_s})$  est donné par les formules suivantes:

$$F_{c}(t_{1},t_{s}) = 1 - \exp\left[-\frac{(t_{1}-t_{s})^{m}}{\eta_{c}^{m}}\right]$$
 (5)

$$F(t_1, t_s) = 1 - \exp\left[ -\frac{(t_1 - t_s)^m}{\eta^m} \right]$$
 (6)

Pour les deux Formules (5) et (6),  $t_1 = 365 \times 24 \times P$ 

où:

- P Rapport de fonctionnement variant de 0 (toujours hors service) à 1 (toujours en service)
- t<sub>1</sub> Point temporel correspondant à 1 an après le début du fonctionnement, mesuré en heures (fonctionnement constant = 8 760 h)

#### 5.2.2.4 Calcul d'un rapport de taux de défaillance

Le rapport de taux de défaillance,  $\alpha$ , entre le taux de défaillance précoce  $F_{\rm C}$  tenant compte d'un niveau de confiance g (en %) et le taux de défaillance précoce F ne tenant pas compte du niveau de confiance, est exprimé par les formules suivantes:

$$F_{\rm c} = \chi^2_{\rm g, \frac{\rm d}{2\times N}} \tag{7}$$

$$F = \frac{\mathsf{f}}{\mathsf{N}} \tag{8}$$

où f = Nombre de défaillances pour N = Nombre d'échantillons.

$$\alpha = \frac{F_c}{F} = \frac{\chi^2_{g,\frac{d}{2\times N}}}{\left(\frac{f}{N}\right)} = (N/f)\chi^2_{g,\frac{d}{2\times N}}$$
(9)

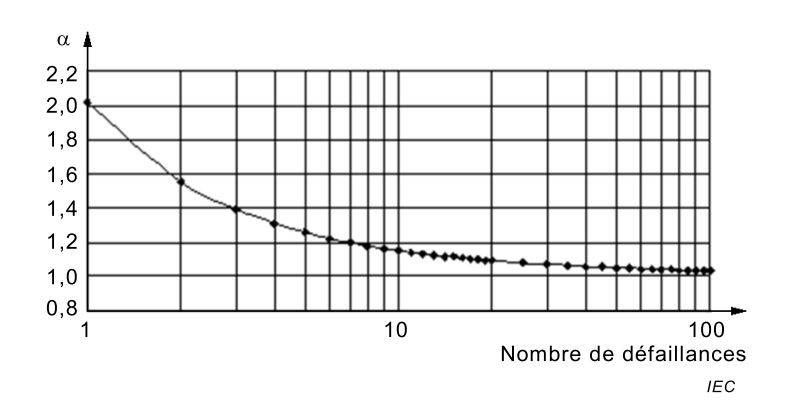


Figure 4 – Exemple d'un rapport de taux de défaillance  $\alpha$  (en centaines) en fonction du nombre de défaillances pour un CL de 60 %

F est déterminé par le nombre de défaillances, et non par le nombre d'échantillons d'essai N.

Au fur et à mesure que le nombre de défaillances augmente, le rapport entre les taux tenant compte et ne tenant pas compte du niveau de confiance se rapproche de 1.

Sur la Figure 4, lorsque le nombre cumulé de défaillances est de 50, la différence de taux de défaillance entre le taux de défaillance précoce tenant compte du niveau de confiance,  $F_{\rm c}$ , et le taux de défaillance précoce ne tenant pas compte du niveau de confiance,  $F_{\rm c}$ , est de 5 % ( $\alpha$  = 105 pour N = 50, contre  $\alpha$  = 100 avec une valeur N élevée).

Par conséquent, si la différence de taux de défaillance précoce en fonction du nombre de défaillances et si la présence de l'incorporation du niveau de confiance est admissible, le taux de défaillance précoce ne tenant pas compte du niveau de confiance peut être utilisé.

#### **EXEMPLE**:

Lorsque le résultat de confirmation de la convergence des défaillances cumulées dans le cadre de l'essai de dépistage est obtenu avec les valeurs

$$m = 0.3$$
;  $t_b = 70 298 h$ ;  $N = 2 000 et f = 69$ ,

et que le taux de défaillance précoce  $F_c(t_1,t_s)$  est obtenu avec un

CL de 60 %; 
$$t_s = 70 298 \text{ h et P} = 1.$$

Le paramètre d'échelle tenant compte du niveau de confiance est de  $\eta_c$  = 5,57 × 10<sup>52</sup>, calculé à partir de la Formule (4).

Le taux de défaillance précoce tenant compte du niveau de confiance est de  $F_c(t_1:t_s) = 129 \times 10^{-6}$ , calculé à partir de la Formule (5).

Le paramètre d'échelle ne tenant pas compte du niveau de confiance est de  $\eta$  = 2,15 × 10<sup>53</sup>, calculé à partir de la Formule (2).

Le taux de défaillance précoce ne tenant pas compte du niveau de confiance est de  $F(t_1:t_s)$  = 124 × 10<sup>-6</sup>, calculé à partir de la Formule (6).

Par conséquent, dans cet exemple, la différence de taux de défaillance entre le taux de défaillance précoce tenant compte du niveau de confiance,  $F_{\rm c}$ , et le taux de défaillance précoce ne tenant pas compte du niveau de confiance,  $F_{\rm c}$ , est de (129-124)/124 = 4 %.

#### 5.2.3 Dépistage

Comme les CI contiennent des éléments de très petite taille, et qu'ils sont caractérisés par une forte densité d'éléments et une géométrie complexe, ils sont exposés aux défauts générés au cours des procédés de fabrication. Par conséquent, certains lots classés comme étant des «bons dispositifs» contiennent des défaillances potentielles avec un défaut intrinsèque mineur, qui n'influe pas sur les caractéristiques électriques mesurées. Cette situation permet aux dispositifs de fonctionner conformément aux spécifications pendant le procédé de tri. L'élimination des défaillances potentielles avant l'expédition, permettant ainsi de réduire ou d'éliminer le taux de défaillance précoce, est appelée «dépistage».

Les méthodes générales de dépistage destinées à éliminer les dispositifs contenant ces défauts intrinsèques mineurs incluent l'application de contraintes (par exemple tension et température) plus strictes que celles rencontrées en conditions d'utilisation réelles, la combinaison d'un essai de produit et d'un rodage, des méthodes visant à éliminer les défauts initiaux dans les boîtiers en utilisant des contrôles aux rayons X et des examens visuels, la combinaison de la contrainte de montage et de contraintes sous un essai de cycle de température, etc. Les conditions du dépistage doivent être ajustées, si nécessaire, en fonction du taux de défaillance précoce ciblé. Il convient de les examiner de manière à ce que le dépistage à proprement parler n'ait aucun impact significatif sur la durée de vie utile, c'est-à-dire qu'il ne réduise pas le temps d'usure. Le taux de défaillance précoce d'un produit peut également être réduit en stabilisant les chaînes de fabrication des produits et en apportant le plus grand soin à la fabrication du produit, afin de réduire les défauts de fabrication intrinsèques.

Le rodage est généralement effectué après l'encapsulation, mais il est aujourd'hui de plus en plus réalisé sur les plaquettes estampées. Les deux méthodes produiront le même effet pour ce qui est d'éliminer les défauts de fabrication au niveau des puces du dispositif. La Figure 5 représente la relation entre le dépistage et le taux de défaillance précoce, qui peut faire l'objet d'une estimation statistique.

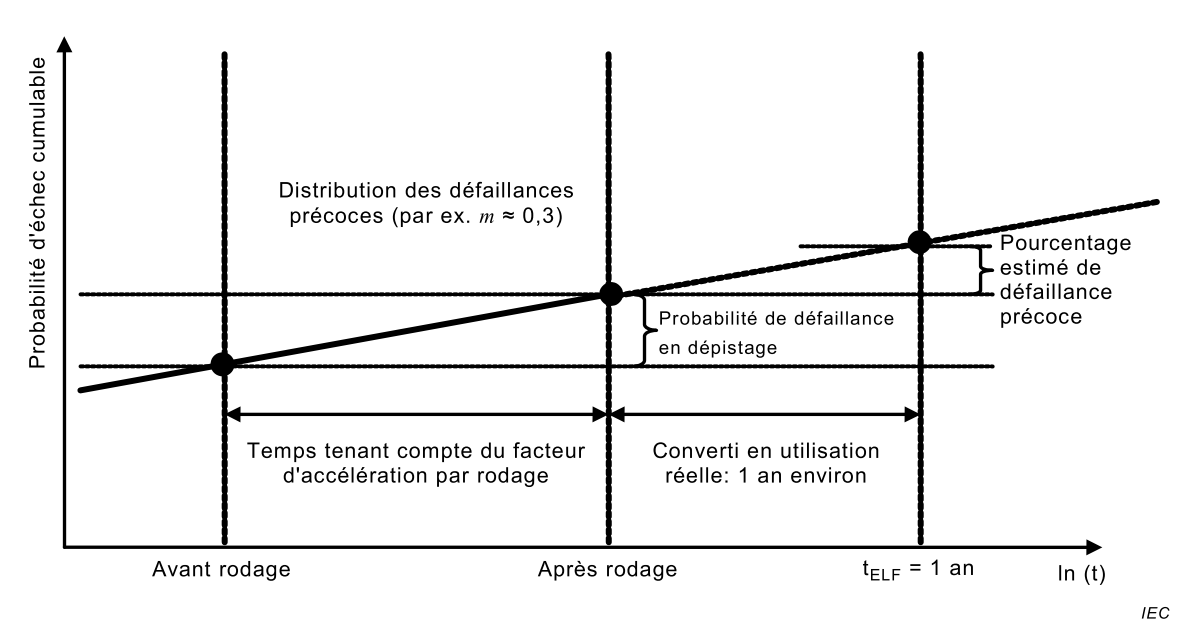


Figure 5 – Dépistage et taux estimé de défaillance précoce sur le graphique de Weibull

La Figure 5 représente la méthode de vérification du taux de défaillance précoce après dépistage, qui peut faire l'objet d'une estimation statistique. Dans certains cas, le rodage est répété jusqu'à ce qu'aucune défaillance effective en rodage ne se produise, afin de confirmer la convergence du dépistage, mais, comme représenté à la Figure 5, la défaillance précoce survient toujours, même à un faible taux, lorsqu'elle fait l'objet d'une estimation statistique d'après la loi de Weibull. C'est la raison pour laquelle l'échantillonnage n'a de sens que si les données sont analysées statistiquement en tenant compte du paramètre expérimental, du facteur d'accélération et du mode de défaillance, même lorsque le rodage est répété de manière excessive jusqu'à ce qu'aucune défaillance en rodage ne se produise.

La valeur m calculée avec la probabilité de défaillance du procédé de rodage ne reflète pas les défaillances qui sont survenues et qui ont été éliminées au cours des processus d'essai avant le rodage. Si la valeur m est calculée sans tenir compte des défaillances pendant les processus d'essai avant rodage, elle devient plus élevée. Par conséquent, le taux de défaillance précoce estimé à partir de la valeur m tend à être inférieur à la qualité réelle. Pour estimer la défaillance précoce, il est généralement nécessaire de calculer la valeur m en tenant compte de la probabilité de défaillance avant et après rodage, comme représenté à la Figure 5.

Il convient d'intégrer la vérification de la distribution des défaillances précoces et du taux basé sur ce concept, dans le procédé de vérification de la fiabilité du produit qui est également la méthode la plus efficace pour améliorer la qualité de livraison effective.

La défaillance précoce étant dépendante du taux de défaut de fabrication intrinsèque de la chaîne de fabrication, le taux de défaillance précoce des autres produits sur la même chaîne et en utilisant la même norme de conception peut également être aisément estimé tant que le taux de défaut de fabrication et que les caractéristiques convergentes (valeur m de la loi de Weibull) de la défaillance précoce sont assimilés.

#### EXEMPLE:

Méthode de calcul de la probabilité de défaillance précoce sur le terrain:

Soit  $t_1$  le temps jusqu'à expédition tenant compte du dépistage (converti en temps dans l'environnement d'utilisation, voir Figure 6). La probabilité de défaillance cumulée après expédition est alors:

$$F(t:t_1) = 1 - \exp\left[\frac{(t+t_1)^m - t_1^m}{\eta^m}\right]$$
 (10)

et le taux de défaillance après expédition (voir Figure 7) est:

$$\lambda(\mathbf{t}:\mathbf{t}_1) = \frac{m \times (\mathbf{t} + \mathbf{t}_1)^{(m-1)}}{n^m} \tag{11}$$

Il faut noter que la probabilité de défaillance cumulée sur un an après expédition est  $F(8.760 \text{ h}: \text{ t}_1)$  pour 1 an = 8.760 h.

Lorsque m et  $\eta$  sont obtenus à partir des données du dépistage, le calcul des quantités est permis.

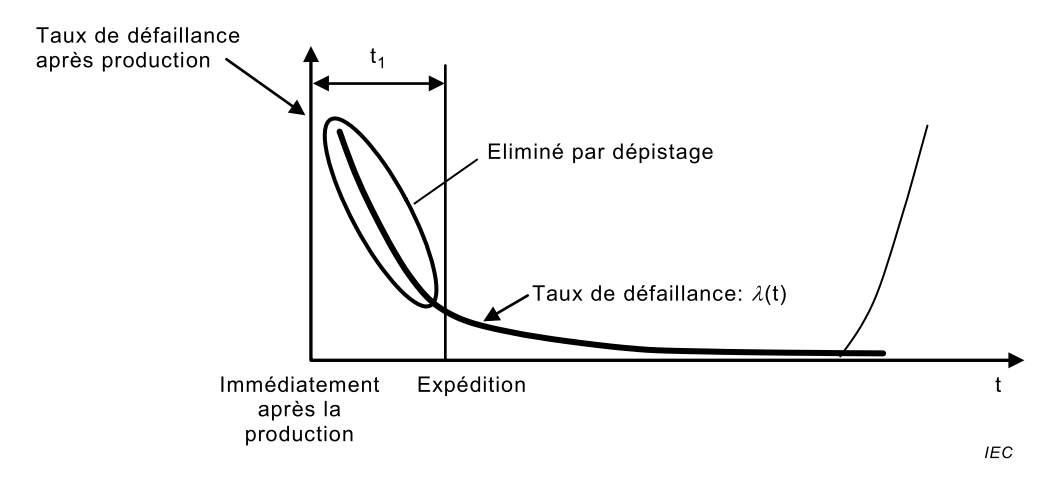


Figure 6 – Courbe en baignoire prenant comme origine le point immédiatement après la production

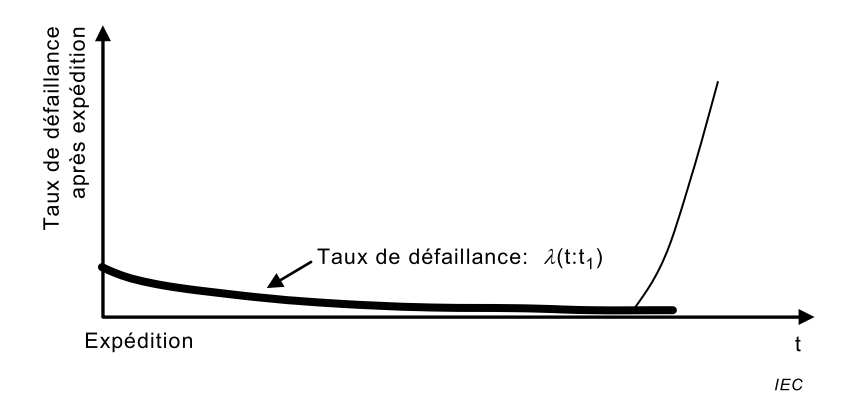


Figure 7 – Courbe en baignoire prenant comme origine le point après dépistage

#### 5.3 Défaillance aléatoire

#### 5.3.1 Description

Une défaillance aléatoire indique généralement une défaillance qui survient entre la fin de la période de défaillance précoce prédéfinie (dans le cas présent 1 an) et la fin de la durée de vie utile ou le début de la période d'usure. Il est approprié d'envisager que les défaillances survenant après la période de défaillance précoce définie sont dues à la survie des défaillances précoces qui n'ont pas été totalement éliminées par dépistage et, dans la plupart des cas, le paramètre de forme de la loi de Weibull, m, n'est pas exactement égal à 1. Il est parfois considéré que ces défaillances sont des défaillances induites dues à des facteurs de

perturbation non liés à des défauts de fabrication et, pour être plus précis, causés par des facteurs incidents.

#### 5.3.2 Taux moyen de défaillance

Le calcul du taux moyen de défaillance s'effectue en convertissant la probabilité d'occurrence de défaillances entre la fin de la période de défaillance précoce définie et la fin de la durée de vie utile, en probabilité d'occurrence par unité de temps. En général, ce taux est une valeur numérique exprimée en intensité de défaillance (FIT, Failure In Time, soit le nombre de défaillances pour 10<sup>9</sup> dispositif-heures, par exemple 1 FIT = 1 PPM toutes les 1 000 h de fonctionnement). Cette estimation peut être utilisée car la période de vie utile présente des taux de défaillance sensiblement constants.

Comme le taux moyen de défaillance basé sur une distribution exponentielle prenant pour hypothèse un paramètre de forme de la loi de Weibull m = 1 (taux de défaillance constant) est calculé par la méthode statistique en utilisant le résultat de l'essai de durée de vie en fonctionnement, la valeur est déterminée de manière unique par le nombre d'échantillons, la durée et le facteur d'accélération de l'essai. Par conséquent, la valeur calculée n'indique pas toujours la qualité réelle. Le taux moyen de défaillance calculé en utilisant la distribution exponentielle est simplement conceptuel et, en fait, le taux de défaillance réel après la période de défaillance précoce définie devient également une région où le nombre de défaillances diminue progressivement. Bien qu'elle dépende du facteur d'accélération, du fait de la marge de conception et de construction, la défaillance par usure n'est pas susceptible d'apparaître au cours d'un essai accéléré de durée de vie en fonctionnement d'environ 1 000 h, et il est approprié de considérer que les défaillances pendant la période d'essai de durée de vie en fonctionnement subsistent avec le paramètre de forme de la loi de Weibull m < 1, si le nombre de défaillances aléatoires dues à des facteurs de perturbation est suffisamment réduit. Par conséquent, il est commode d'étendre la distribution des défaillances précoces après dépistage au temps de fonctionnement pris pour hypothèse, en considérant que la défaillance moyenne survient comme une extension de la défaillance précoce, et d'exprimer la probabilité estimée de défaillance cumulée en taux de défaillance par unité de temps en FIT. La Figure 8 représente le concept décrivant la méthode de calcul du taux moyen de défaillance qui utilise une distribution exponentielle à partir du résultat de l'essai de durée de vie en fonctionnement. La Figure 9 représente le concept décrivant la méthode de calcul du taux moyen de défaillance qui tient compte du paramètre de forme de la loi de Weibull, m, en tant qu'extension de la défaillance précoce.

Dans la méthode de calcul du taux moyen de défaillance par une distribution exponentielle basée sur le résultat de l'essai de durée de vie en fonctionnement, la valeur FIT tend à croître car le taux moyen de défaillance est calculé en fixant uniquement m=1, sans tenir compte de la distribution réelle des défaillances, et en utilisant un petit nombre d'échantillons d'essai, un facteur d'accélération d'essai et une durée d'essai. Dans l'exemple de la Figure 8, ce taux est calculé à approximativement 1,36 FIT lorsque le nombre de défaillances pendant l'essai de durée de vie en fonctionnement est f=0 ( $r_c$  (0; 0,6) = 0,92) avec CL = 60 % et n = 77.

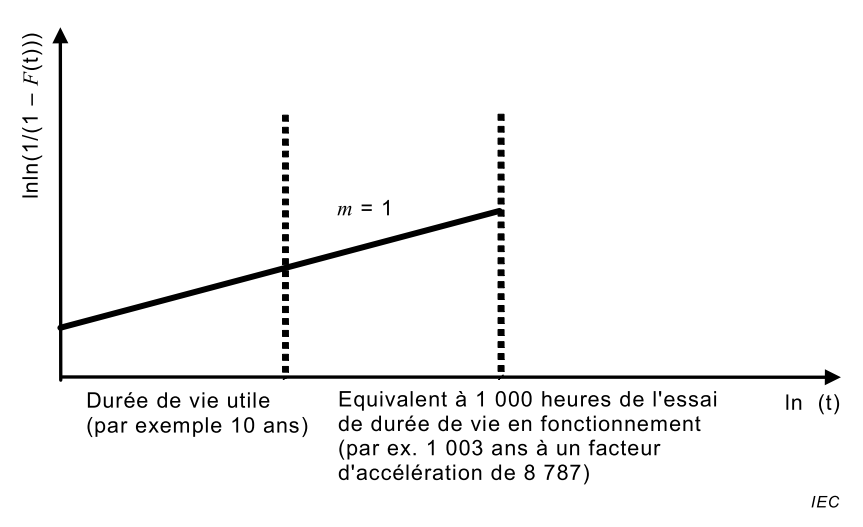


Figure 8 – Modèle conceptuel de la méthode de calcul du taux moyen de défaillance à partir de la distribution exponentielle

**EXEMPLE 1**:

$$\lambda = \frac{r_{c}(f,g)}{N \times T \times A_{cc}} \times 10^{9} \text{ FIT}$$
 (12)

où:

λ Taux de défaillance

f Nombre de défaillances

g Niveau de confiance (en %)

 $r_c(f,g)$  Nombre corrigé de défaillances avec un CL de g (en %) lorsque le nombre réel de défaillances est f, par exemple lorsque f = 0 et g = 60 %, alors  $r_c(0;0,6)$  = 0,92

N Nombre d'échantillons pour l'essai de durée de vie en fonctionnement: 77

T Durée de l'essai de durée de vie en fonctionnement: 1 000 h

 $A_{\mathrm{CC}}$  Facteur d'accélération pour l'essai de fiabilité: 8 787 fois

Le taux moyen de défaillance est alors de:

$$\lambda = \frac{0.92}{77 \times 1000 \times 8787} \times 10^9 \text{ h}^{-1} = 1.36 \text{ FIT}$$

D'autre part, lorsque la distribution réelle des défaillances (valeur m) est prise en compte pour le calcul, la probabilité de défaillance cumulée (probabilité de défaillance moyenne cumulée) entre la fin de la période de défaillance précoce définie et la fin de la durée de vie utile est calculée et convertie en taux moyen de défaillance. Cette méthode de calcul présente plusieurs avantages, notamment la crédibilité élevée des données, car les calculs sont effectués sur la base du résultat de confirmation de la convergence des défaillances cumulées lors de l'essai de dépistage.

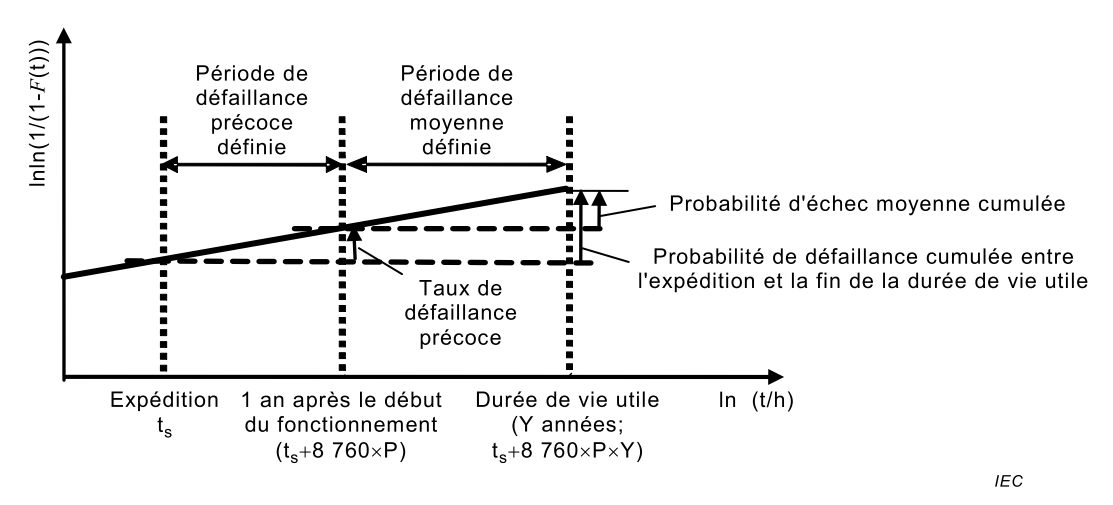


Figure 9 – Modèle conceptuel de la méthode de calcul du taux moyen de défaillance en tant qu'extension de la défaillance précoce

La méthode de calcul du taux moyen de défaillance avec le modèle de Weibull est définie comme suit car le taux de défaillance précoce pendant la période de défaillance précoce définie est défini séparément et la période de défaillance moyenne définie est considérée comme une extension de la défaillance précoce, et non comme une distribution exponentielle classique.

Période de défaillance moyenne définie: période entre la fin de la période de défaillance précoce définie et la fin de la durée de vie utile.

Les relations ci-dessus sont exprimées par une formule mathématique qui tient compte du niveau de confiance de la manière suivante:

 $F_{c}(t)$ : Probabilité de défaillance moyenne cumulée

 $\lambda(t)$ : Taux moyen de défaillance

 $F_c(t_Y,t_s)$ : Probabilité de défaillance cumulée entre l'expédition et la fin de la durée de vie

 $F_{\rm c}({\rm t_1,t_s})$ : Probabilité de défaillance cumulée au cours de la période de défaillance précoce définie

Y Durée de vie utile (en nombre d'années)

P Rapport de fonctionnement  $(0 < P \le 1)$ 

$$F_c(t_Y:t_s) = 1 - \exp\left[-\frac{(t_Y + t_s)^m - t_s^m}{\eta_c^m}\right]$$
 (13)

$$t_{Y} = Y \times 365 \times 24 \times P \tag{14}$$

$$F_{c}(t) = F_{c}(t_{Y} : t_{s}) - F_{c}(t_{1} : t_{s})$$
 (15)

$$\lambda(t) = \frac{F_{c}(t_{Y}:t_{s}) - F_{c}(t_{1}:t_{s})}{(Y-1)\times 365\times 24}$$
(16)

Lorsque  $F_{\rm C}$  est remplacé par F et  $\eta_{\rm C}$  par  $\eta$  dans la formule ci-dessus, cette probabilité correspond au taux moyen de défaillance sans tenir compte du niveau de confiance.

#### **EXEMPLE 2**:

a) Lorsqu'un résultat de confirmation est obtenu à la suite de la convergence des défaillances cumulées lors de l'essai de dépistage:

```
m = 0.3; t_h = 70 298 h; N = 2 000 et f = 69,
```

le taux moyen de défaillance tenant compte de ces paramètres:

```
\rm t_{\rm s} = 70 298 h; P = 1; durée de vie utile de 10 ans; CL de 60 %
```

est exprimé comme suit:

```
\eta_{\rm c} = 5.57 \times 10^{52} dans la Formule (4); F_{\rm c}({\rm t_1,t_s}) = 129 \times 10^{-6} dans la Formule (5) et F_{\rm c}({\rm t_Y,t_s}) = 898 \times 10^{-6} dans la Formule (8)
```

La probabilité de défaillance moyenne cumulée est de  $769 \times 10^{-6} \ h^{-1}$  et le taux moyen de défaillance est de  $9.8 \ FIT$ 

b) Si le niveau de confiance n'est pas pris en compte,

```
\eta = 2,15 × 10<sup>53</sup> dans la Formule (2); F(t_1,t_s) = 124 × 10<sup>-6</sup> dans la Formule (6) et F(t_Y,t_s) = 862 × 10<sup>-6</sup> en remplaçant F_c par F et \eta_c par \eta dans la Formule (8).
```

Le taux moyen de défaillance cumulée est de 738 × 10-6 h-1 et le taux moyen de défaillance est de 9,4 FIT.

#### 5.4 Défaillance par usure

#### 5.4.1 Description

La défaillance par usure indique la durée de vie des CI à proprement parler. En entrant dans la région des défaillances par usure, chaque CI finira par entraîner une défaillance. Par conséquent, cette défaillance doit être empêchée pendant la période durable de durée de vie utile. C'est la raison pour laquelle chaque fournisseur de CI intègre une «fiabilité théorique» dans la phase de conception afin d'empêcher l'apparition de la défaillance par usure pendant la période durable, en fixant une marge de conception appropriée. Dans la région des défaillances par usure où la durée de vie utile est confirmée, le paramètre de forme de la loi de Weibull, m, est supérieur à 1 (m > 1).

Les normes de conception (par exemple les conditions de fabrication ou de conception) qui satisfont à la fiabilité (ou aux spécifications de conception), et pour lesquelles une conversion de la durée de vie en temps d'utilisation réelle est exigée, sont déterminées par un examen de la conception basé sur les résultats d'essai utilisant le groupe d'éléments d'essai (TEG, Test Element Group) pour l'appréciation, etc., avec les éléments constitutifs des CI (par exemple transistors, interconnexions) et les éléments d'assemblage (par exemple boîtiers), et les CI doivent être conçus sur la base de ces normes.

Le paramètre de forme m de la défaillance par usure est obtenu à partir des résultats expérimentaux, ou est une valeur estimée. Si sa valeur peut être fixée, des objectifs de fiabilité sur le terrain sont fixés en traçant un graphique de Weibull avec le paramètre de forme m qui franchit le taux de défaillance pris pour hypothèse à partir du nombre d'échantillons et de la durée d'essai, et un essai de fiabilité, visant à confirmer que la fiabilité correspond exactement aux hypothèses formulées, est réalisé par le biais d'un essai d'accélération.

#### 5.4.2 Taux de défaillance par usure

La Figure 10 et la Figure 11 sont des modèles conceptuels décrivant le concept du taux de défaillance par usure et de l'essai d'accélération.

Sur la base de ces modèles conceptuels, les paragraphes suivants décrivent les méthodes de calcul utilisées pour le nombre d'échantillons et la durée de l'essai de fiabilité.

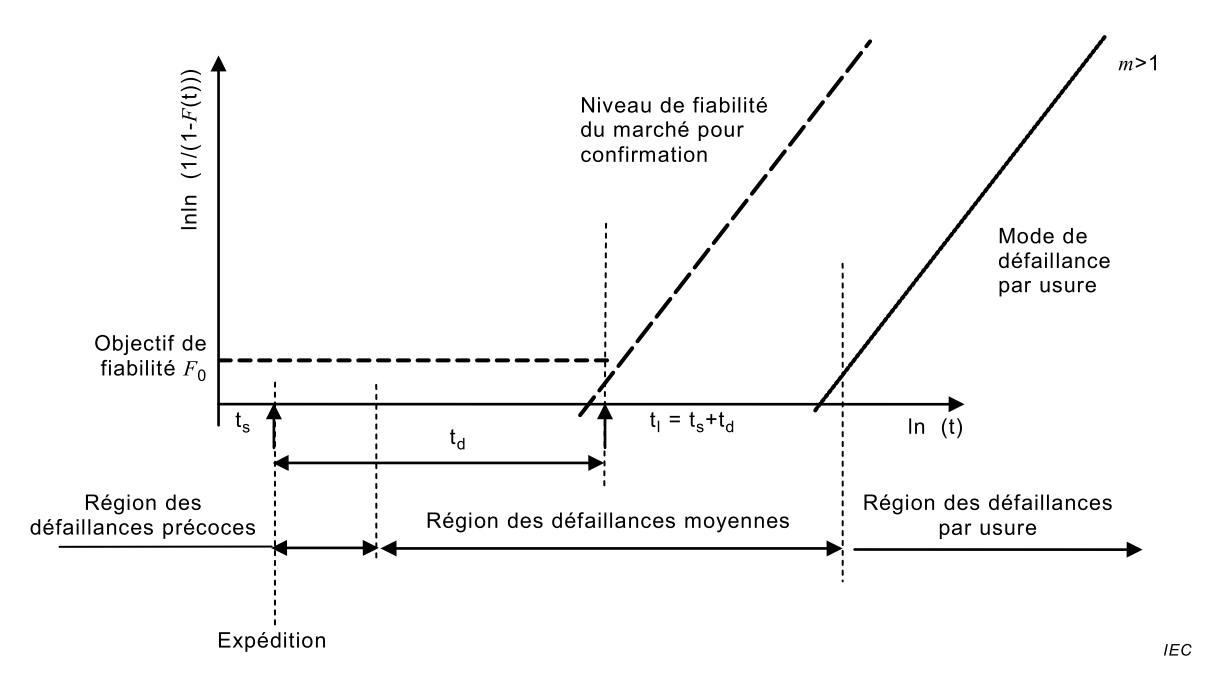


Figure 10 - Modèle conceptuel de la défaillance par usure

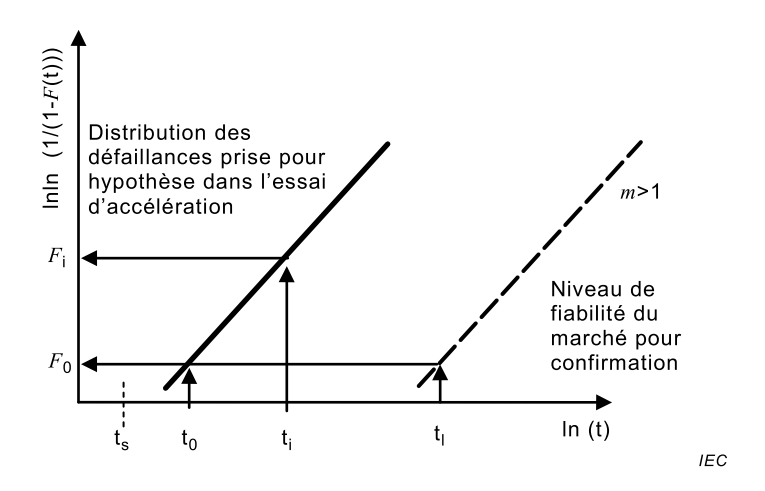


Figure 11 – Modèle conceptuel décrivant le concept de l'essai d'accélération

Le temps nécessaire pour atteindre la probabilité de défaillance  $t_0$  confirmée lors de l'essai d'accélération correspondant au temps d'utilisation sur le terrain jusqu'à la durée de vie utile  $t_1$  est exprimé par la formule suivante:

$$t_0 = \frac{t_l}{A_{CC}} \tag{17}$$

où:

 $t_{l} = t_{s} + t_{d}$ 

Valeur de conversion de la durée entre la période de dépistage et l'expédition en temps d'utilisation sur le terrain

t<sub>d</sub> Période durable

 $A_{
m cc}$  Facteur d'accélération

A partir d'un CL de g (en %) et d'un nombre d'échantillons  $n_i$ , le taux de défaillance maximal estimé (probabilité estimée de défaillance cumulée),  $F_i$ , calculé à partir de la distribution binomiale lorsque le nombre de défaillances est de 0, est exprimé par la formule suivante:

$$F_{i} = 1 - \left(1 - \frac{g}{100}\right)^{\frac{1}{n_{i}}} \tag{18}$$

La Formule (18) peut également être exprimée sous la forme suivante:

$$n_{i} = \frac{\ln\left(1 - \frac{g}{100}\right)}{\ln(1 - F_{i})} \tag{19}$$

La probabilité de défaillance cumulée pour la distribution des défaillances prise pour hypothèse au cours de l'essai d'accélération est exprimée par les formules suivantes:

$$F_{i} = 1 - \exp\left(-\frac{\mathsf{t}_{i}^{m}}{\eta^{m}}\right)^{\frac{1}{n_{i}}} \tag{20}$$

$$F_0 = 1 - \exp\left(-\frac{{\bf t_0}^m}{\eta^m}\right)^{\frac{1}{n_{\rm i}}} \tag{21}$$

où:

t<sub>i</sub> Durée, temps de dépistage inclus, de l'essai réalisé jusqu'à expédition

 $F_0$  Probabilité de défaillance cumulée à confirmer pendant la période durable

La formule suivante résulte des formules de Weibull précédentes:

$$\frac{\ln(1-F_i)}{\ln(1-F_0)} = \left(\frac{t_i}{t_0}\right)^{\frac{1}{m}} = \left(t_i \times \frac{A_{cc}}{t_1}\right)^{m}$$
 (22)

Une fois que le CL de g (en %) et que le nombre d'échantillons  $n_i$  sont fixés, le taux estimé de défaillances cumulées  $F_i$  est obtenu, et la durée, temps de dépistage inclus, de l'essai réalisé jusqu'à expédition,  $t_i$ , peut être calculée à partir de la probabilité de défaillance cumulée à confirmer pendant la période durable,  $F_0$ , et de la Formule (22).

Si une distribution binomiale est appliquée avec un nombre de défaillances de 0, la durée, temps de dépistage inclus, de l'essai réalisé jusqu'à expédition,  $t_i$ , s'exprime sous la forme suivante:

$$t_{i} = \left[ \frac{\ln\left(1 - \frac{g}{100}\right)}{n_{i} \times \ln(1 - F_{0})} \right]^{\frac{1}{m}} = \frac{t_{l}}{A_{cc}} \left[ \frac{\ln\left(1 - \frac{g}{100}\right)}{n_{i} \times \ln(1 - F_{0})} \right]^{\frac{1}{m}}$$
(23)

Si l'essai est réalisé avec des échantillons pour lesquels le dépistage pendant le temps d'utilisation sur le terrain,  $t_s$ , a été réalisé jusqu'à expédition, la durée, hors temps de dépistage, de l'essai réalisé jusqu'à expédition,  $t_i$ , s'exprime sous la forme:

$$t_i = t_1 - \frac{t_s}{A_{CC}} \tag{24}$$

Le taux estimé de défaillances cumulées,  $F_{\rm i}$ , est obtenu à partir de la durée, hors temps de dépistage, de l'essai réalisé jusqu'à expédition,  $T_{\rm i}$ , à partir de la probabilité de défaillance cumulée à confirmer pendant la période durable,  $F_{\rm 0}$ , et à partir de la Formule (22), et le nombre d'échantillons,  $n_{\rm i}$ , peut être calculé à partir d'un CL de g (en %).

$$t_{i} = t_{d} + \frac{t_{s}}{A_{cc}} \tag{25}$$

$$F_{i} = 1 - \exp\left[\left(t_{i} \times \frac{A_{cc}}{t_{i}}\right)^{m} \times \ln(1 - F_{0})\right]$$
(26)

Lorsqu'une distribution binomiale est appliquée avec un nombre de défaillances de 0, le nombre d'échantillons,  $n_i$ , s'exprime sous la forme:

$$n_{i} = \left(\frac{t_{0}}{t_{i}}\right)^{m} \times \frac{\ln\left(1 - \frac{g}{100}\right)}{\ln(1 - F_{0})} = \left(\frac{t_{l}}{A_{cc} \times t_{i}}\right)^{m} \times \frac{\ln\left(1 - \frac{g}{100}\right)}{\ln(1 - F_{0})}$$
(27)

#### 6 Essai de fiabilité

#### 6.1 Description

Les essais de fiabilité des produits visent principalement à confirmer la durée de vie utile (défaillance par usure) et la stabilité du circuit conçu. La défaillance par usure entraîne une défaillance lorsque le CI atteint la fin de son utilité intrinsèque (mode intrinsèque). Bien que le temps qui précède l'occurrence d'une défaillance dépende des variations de fabrication et de contraintes apparaissant pendant l'utilisation, chaque CI finira par atteindre sa fin de vie. C'est la raison pour laquelle le taux de défaillance augmente nettement à l'issue de la période durable. L'essai de fiabilité est réalisé pour confirmer que la défaillance par usure se situe dans les limites de la probabilité de défaillance cumulée souhaitée au cours de la période d'utilisation réelle prise pour hypothèse. Comme m > 1 pour la défaillance par usure, un essai de fiabilité qui n'utilise qu'un petit nombre d'échantillons (par exemple entre quelques échantillons et plusieurs dizaines) peut également être l'équivalent d'un essai qui représente de plusieurs fois à plusieurs centaines de fois la période d'utilisation réelle prise pour hypothèse. Cela se vérifie si un nombre significatif d'échantillons (> 50 %) peuvent être mis en défaillance sous l'effet de contraintes, leur durée avant défaillance pouvant alors être ordonnée de manière séquentielle sur une courbe de Weibull. Dans le cas contraire, des estimations des paramètres de pente doivent être utilisées dans le calcul de la durée de vie, comme décrit précédemment.

L'essai de fiabilité permet de confirmer la durée de vie soigneusement étudiée au cours de la phase de conception, mais pas la qualité de la livraison. Il convient de traiter les défauts de fabrication ayant un impact sur la qualité de la livraison de la même façon que les défaillances précoces, et de les exclure du concept de l'essai de fiabilité. Pour les dispositions de prévention contre les défaillances précoces, voir l'Article 8.

#### 6.2 Plan d'essai de fiabilité

#### 6.2.1 Modes opératoires pour la création d'un plan d'essai de fiabilité

Les essais de fiabilité consistent à accélérer la tension, la température, l'humidité, etc., par rapport à l'environnement d'utilisation réel. Cet essai étant conçu pour détecter les défaillances par usure, les variations de la distribution des défaillances prise pour hypothèse tendent à être moins nombreuses et la nette accélération des conditions permet d'utiliser un petit nombre d'échantillons sur une courte durée d'essai. Cependant, comme certains mécanismes sont également légèrement accélérés au cours de l'essai, il convient de choisir soigneusement le nombre d'échantillons et la durée de l'essai en fonction des facteurs d'accélération des mécanismes de défaillance. Il convient également de noter que l'essai devient peu significatif en cas d'application d'une contrainte excessive pour rompre l'éprouvette, si le mécanisme de défaillance n'est pas corrélé à des défaillances survenant sur le terrain. Une fois les conditions d'accélération établies, il est nécessaire d'accélérer les conditions sur une plage dans laquelle le mode de défaillance, le mécanisme de défaillance et le facteur d'accélération sont constants.

L'exemple ci-après décrit la méthode préconisée pour créer un plan d'essai de fiabilité destiné à confirmer que la défaillance par usure est inférieure ou égale à 0,1 % après une période d'utilisation réelle prise pour hypothèse de 10 ans, en utilisant l'accélération, et en considérant le claquage diélectrique en fonction du temps (TDDB, Time-Dependent Dielectric Breakdown).

- a) Choisir des méthodes d'essai de fiabilité adaptées au mode et au mécanisme de défaillance à détecter.
  - De manière générale, réaliser plusieurs essais de fiabilité pour confirmer le mode et le mécanisme de défaillance pris pour hypothèse. Dans cette partie, l'exemple de méthode d'essai de fiabilité pour confirmer le TDDB est un «essai de durée de vie en fonctionnement».
- b) Calculer le facteur d'accélération pour l'essai de fiabilité. Comme l'accélération du TDDB est favorisée par le champ électrique et la température, fixer des conditions de champ électrique et de température d'essai supérieures à celles rencontrées dans l'environnement d'utilisation réel. Dans cet exemple, la tension et la température sont accélérées dans les conditions qui suivent, et le facteur d'accélération est de 966 fois.

#### EXEMPLE

Tension en utilisation réelle: 2,5 V; tension d'essai: 3,4 V;  $\beta$  = 4,0 V<sup>-1</sup> donne le facteur d'accélération de tension:

$$\alpha_{V} = \exp[\beta \times (V_2 - V_1)] = 36,6 \tag{28}$$

Température en utilisation réelle: 70 °C; température d'essai: 125 °C; Ea = 0,7 eV donne le facteur d'accélération thermique:

$$\alpha_{\mathsf{T}} = \exp\left[\frac{\mathsf{E}_{\mathsf{a}}}{\mathsf{k}} \times \left(\frac{\mathsf{1}}{\mathsf{T}_{\mathsf{1}}} - \frac{\mathsf{1}}{\mathsf{T}_{\mathsf{2}}}\right)\right] = 26,4\tag{29}$$

La multiplication de ces deux paramètres donne le facteur d'accélération pour l'essai de fiabilité:

$$A_{\rm cc} = \alpha_{\rm V} \times \alpha_{\rm T} = 36.6 \times 26.4 = 966$$
 (30)

- c) Définir une hypothèse de distribution des défaillances. En général, lorsque la distribution des défaillances a été obtenue dans le cadre d'un essai de fiabilité de procédé utilisant un TEG avant que l'essai de fiabilité du produit ait été réalisé et lorsque cette distribution est connue, la valeur m déterminée à partir du TEG peut être utilisée.
- d) Tracer une distribution des défaillances qui franchit la probabilité de défaillance cumulée de 0,1 % pour l'intervalle de temps de 10 ans, basée sur la distribution des défaillances prise pour hypothèse. Dans cet exemple, une distribution de Weibull et le paramètre de

forme m=3 sont utilisés. Tracer ensuite une distribution des défaillances qui franchit la probabilité de défaillance cumulée de 0,1 % pendant la durée de vie prise pour hypothèse (10 ans / 966 = 90,7 h) dans cet exemple, en utilisant le facteur d'accélération de 966 fois). Modifier la durée de vie et la probabilité de défaillance cumulée pour confirmer si nécessaire, par exemple en les passant à 0,1 % sur 15 ans pour l'utilisation dans le secteur automobile. Si le rapport entre la durée de fonctionnement et la durée hors fonctionnement (service) peut être incorporé, il peut également être inclus.

e) Finaliser le plan d'essai à partir de la relation entre le moment de l'essai auquel la distribution des défaillances croise la probabilité de défaillance cumulée à confirmer pendant l'essai d'accélération mentionné au point d) ci-dessus. Comme les défaillances par usure sont peu souvent détectées au cours des essais réels de fiabilité des produits, les résultats de ces essais peuvent être remplacés par un nombre statistique d'occurrences de défaillances en utilisant un niveau de confiance tel qu'un CL de 60 %.

Dans l'exemple de la Figure 12 ci-après, la probabilité de 0,1 % pour l'intervalle de temps de 10 ans peut être confirmée avec 77 échantillons et une durée d'essai de 208 h; ainsi qu'avec 22 échantillons et une durée d'essai de 317 h. Ainsi, l'essai de fiabilité peut être optimisé en modifiant la combinaison durée d'essai/nombre d'échantillons. S'il s'avère nécessaire de réduire le nombre d'échantillons, il convient en contrepartie d'allonger la durée d'essai. En revanche, si l'appréciation de la fiabilité doit être achevée sur un court intervalle de temps, elle peut être réalisée en augmentant le nombre d'échantillons.

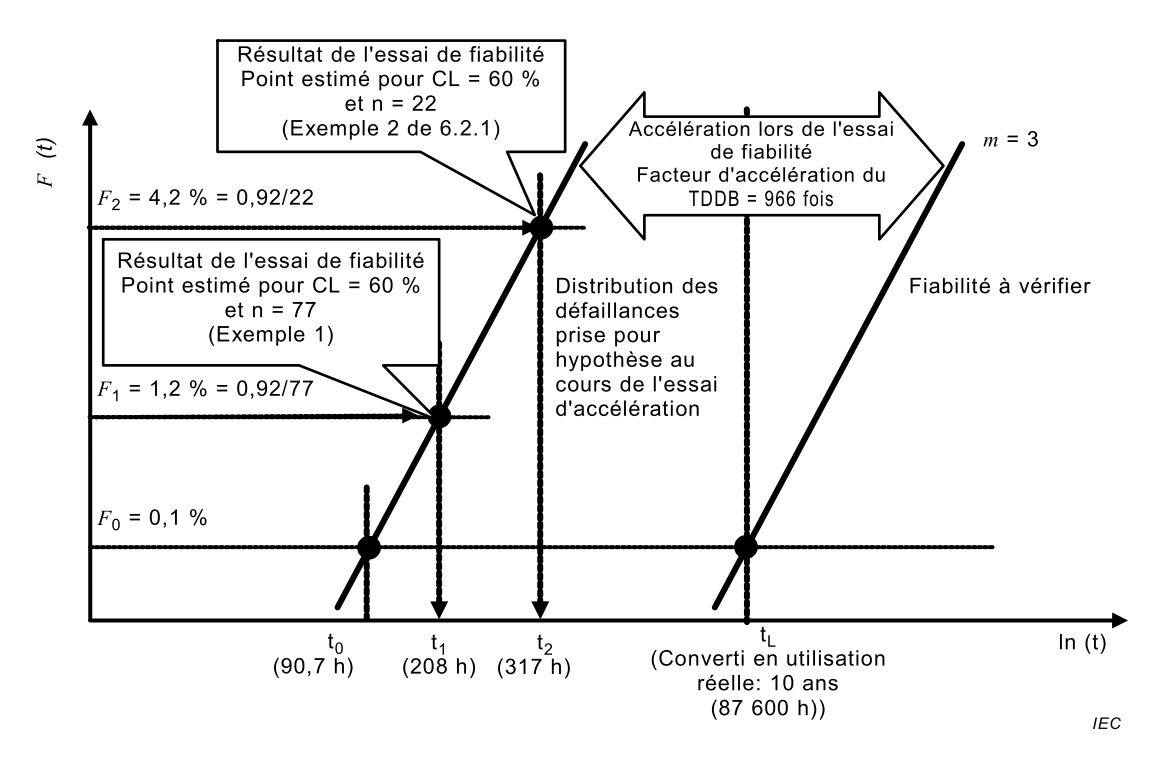


Figure 12 – Modèle conceptuel de l'essai de fiabilité sur un diagramme de Weibull (basé sur la taille d'échantillon)

En principe, il convient qu'un plan d'essai ait une marge qui tienne compte des variations et il convient que ce plan ne fournisse pas une confirmation exacte de 0,1 %. L'exemple de TDDB prend pour hypothèse que m=3, mais lorsque la valeur m est faible, la probabilité d'occurrence de la défaillance par usure au cours de la période d'utilisation réelle prise pour hypothèse augmente dans la confirmation de 0,1 % pour l'intervalle de temps de 10 ans. Par conséquent, la probabilité ciblée de défaillance cumulée sur 10 ans doit être fixée à moins de 0,1 %. Le Tableau 2 indique le taux de défaillance cumulée des  $3^{\rm e}$ ,  $5^{\rm e}$  et  $7^{\rm e}$  années en fixant la probabilité ciblée à 0,1 % pour l'intervalle de temps de 10 ans, pour m compris entre 1 et 5. Comme indiqué dans le tableau, même lorsque la probabilité ciblée de défaillance cumulée de la défaillance par usure est fixée à 0,1 %, cette défaillance par usure est moins susceptible de poser problème sur la période d'utilisation réelle prise pour hypothèse tant que la valeur m est élevée. Le concept de l'essai de fiabilité est que l'échelle de cet essai, qui peut confirmer

la «défaillance par usure inférieure ou égale à 0,1 %», est suffisante pour vérifier le risque d'occurrence des défaillances par usure, et elle ne prend pas pour hypothèse l'acceptation du taux d'occurrence de défaillances par usure de 0,1 %.

Tableau 2 – Probabilité de défaillance cumulée à 0,1 % sur 10 ans [×10<sup>-6</sup>] pour les 3<sup>e</sup>, 5<sup>e</sup> et 7<sup>e</sup> années

Valeur m	3 <sup>e</sup> année	5 <sup>e</sup> année	7 <sup>e</sup> année	10 <sup>e</sup> année
1,0	300	500	700	
2,0	90	250	490	1 000
3,0	27	125	343	1 000
5,0	2,0	31	168	

Le paragraphe 6.2.2 décrit la méthode de calcul de la durée d'essai et du nombre d'échantillons nécessaires présentés dans la Figure 12 et la Figure 13.

# 6.2.2 Estimation de la durée d'essai exigée pour confirmer le TDDB à partir du nombre d'échantillons

Une estimation de la probabilité de défaillance peut être confirmée en utilisant le nombre d'échantillons disponibles et en tenant compte du niveau de confiance.

Lorsque la fonction de Weibull est exprimée de manière simple, la probabilité de défaillance cumulée  $F_{\mathbf{0}}$  est exprimée par la formule suivante:

$$F_0 = 1 - \exp\left(-A \times t_0^m\right) \tag{31}$$

Où A est une constante incluant le paramètre de forme m et le paramètre d'échelle  $\eta$ ; paramètre de position  $\gamma = 0$ .

$$1 - F_0 = \exp\left(-A \times \mathbf{t_0}^m\right) \tag{32}$$

$$ln(1-F_0) = -A \times t_0^m$$
(33)

Selon le même raisonnement, comme  $ln(1-F_1) = -A \times t_1^m$ , la relation suivante est définie:

$$\left[\frac{\ln(1-F_1)}{\ln(1-F_0)}\right] = \left(\frac{t_1}{t_0}\right)^m \tag{34}$$

#### EXEMPLE 1:

Pour un CL de 60 % et 77 échantillons:  $F_1 = 0.92/77 = 1.2 \%$ . La durée d'essai exigée peut être calculée en remplaçant le paramètre. Si 77 échantillons sont utilisés, la probabilité de défaillance par usure cumulée de 0.1 % pour un intervalle de temps de 10 ans peut être confirmée en 208 h.

$$t_1 = t_0 \times \left\lceil \frac{\ln(1 - F_1)}{\ln(1 - F_0)} \right\rceil^{\frac{1}{m}} = \frac{t_1}{A_{cc}} \times \left\lceil \frac{\ln(1 - F_1)}{\ln(1 - F_0)} \right\rceil^{\frac{1}{m}} = \frac{10 \times 8760h}{966} \times \left\lceil \frac{\ln(1 - 0.0012)}{\ln(1 - 0.001)} \right\rceil^{\frac{1}{3}} = 208h$$

Selon le même raisonnement, si 22 échantillons sont utilisés,  $F_2$  = 0,92/22 = 4,2 %, et la probabilité de défaillance par usure cumulée de 0,1 % pour un intervalle de temps de 10 ans peut être confirmée en 317 h.

**- 64 -**

$$t_2 = t_0 \times \left[ \frac{\ln(1 - F_2)}{\ln(1 - F_0)} \right]^{\frac{1}{m}} = \frac{t_l}{A_{cc}} \times \left[ \frac{\ln(1 - F_2)}{\ln(1 - F_0)} \right]^{\frac{1}{m}} = \frac{10 \times 8760 \text{ h}}{966} \times \left[ \frac{\ln(1 - 0.0042)}{\ln(1 - 0.001)} \right]^{\frac{1}{3}} = 317 \text{ h}$$

où:

t<sub>0</sub> Temps nécessaire pour obtenir la probabilité de défaillance confirmée par l'essai d'accélération

t<sub>1</sub>,t<sub>2</sub> Durée d'essai à obtenir

t, Durée d'utilisation sur le terrain: 10 ans = 87 600 h

 $F_0$  Probabilité de défaillance cumulée à confirmer avec la durée de vie: 0,1 % = 0,001

F<sub>1</sub>,F<sub>2</sub> Probabilité de défaillance qui peut être confirmée à partir du nombre d'échantillons d'essai, qui peut être calculé en utilisant le niveau de confiance. Exemple 1: 1,2 %; Exemple 2: 4,2 %.

m Paramètre de forme de la loi de Weibull associé à la défaillance: m = 3

 $A_{\rm cc}$  Facteur d'accélération pour l'essai de fiabilité: 966 fois

# 6.2.3 Estimation du nombre d'échantillons exigé pour confirmer le TDDB à partir de la durée d'essai

L'estimation de la probabilité de défaillance peut être confirmée en utilisant la durée d'essai, en remplaçant le paramètre et en décidant du paramètre d'essai nécessaire à partir du résultat calculé.

$$\left[\frac{Ln(1-F_3)}{Ln(1-F_0)}\right] = \left(\frac{t_3}{t_0}\right)^m = \left(\frac{t_3 \times A_{cc}}{t_l}\right)^m 
Ln(1-F_3) = \left(\frac{t_3 \times A_{cc}}{t_l}\right)^m \times Ln(1-F_0) 
F_3 = 1 - \exp\left[\left(\frac{t_3 \times A_{cc}}{t_l}\right)^m \times Ln(1-F_0)\right]$$
(35, 36, 37)

#### EXEMPLE 1:

Lorsque l'essai de fiabilité est réalisé avec  $t_3$  = 500 h, le nombre d'échantillons avec lesquels la probabilité de défaillance de 15,4 % peut être confirmée, peut être utilisé pour les besoins de l'essai. Lorsque CL = 60 %, le nombre d'échantillons est 0,92/15,4 % = 5,97, ce qui indique qu'un essai de 500 h réalisé avec 6 échantillons peut confirmer la probabilité de défaillance par usure cumulée de 0,1 % pour un intervalle de temps de 10 ans.

$$F_3 = 1 - \exp\left[\left(\frac{t_3 \times A_{cc}}{t_l}\right)^m \times Ln(1 - F_0)\right] = 1 - \exp\left[\left(\frac{500 \times 966}{87600}\right)^3 \times Ln(1 - 0.001)\right] = 0.154 = 15.4\%$$

#### **EXEMPLE 2**:

Selon le même raisonnement, lorsque l'essai est réalisé avec  $t_4$  = 100 h, le nombre d'échantillons est 0,92/0,134 % = 686,6, et la probabilité de défaillance par usure cumulée de 0,1 % pour un intervalle de temps de 10 ans peut être confirmée avec 687 échantillons.

$$F_4 = 1 - \exp\left[\left(\frac{t_4 \times A_{cc}}{t_1}\right)^m \times Ln(1 - F_0)\right] = 1 - \exp\left[\left(\frac{100 \times 966}{87600}\right)^3 \times Ln(1 - 0.001)\right] = 0.00134 = 0.134\%$$

où:

t<sub>3</sub>,t<sub>4</sub>: Durée de l'essai à réaliser: Exemple 1: 500 h; Exemple 2: 100 h

 $t_1$ : Durée d'utilisation sur le terrain: 10 ans = 87 600 h

 $F_0$ : Probabilité de défaillance cumulée à confirmer avec la durée de vie: 0,1 %

 $F_3,F_4$ : Probabilité de défaillance qui peut être confirmée avec la durée d'essai prévue

m: Paramètre de forme de la loi de Weibull associé à la défaillance: m = 3

 $A_{cc}$ : Facteur d'accélération pour l'essai de fiabilité: 966 fois

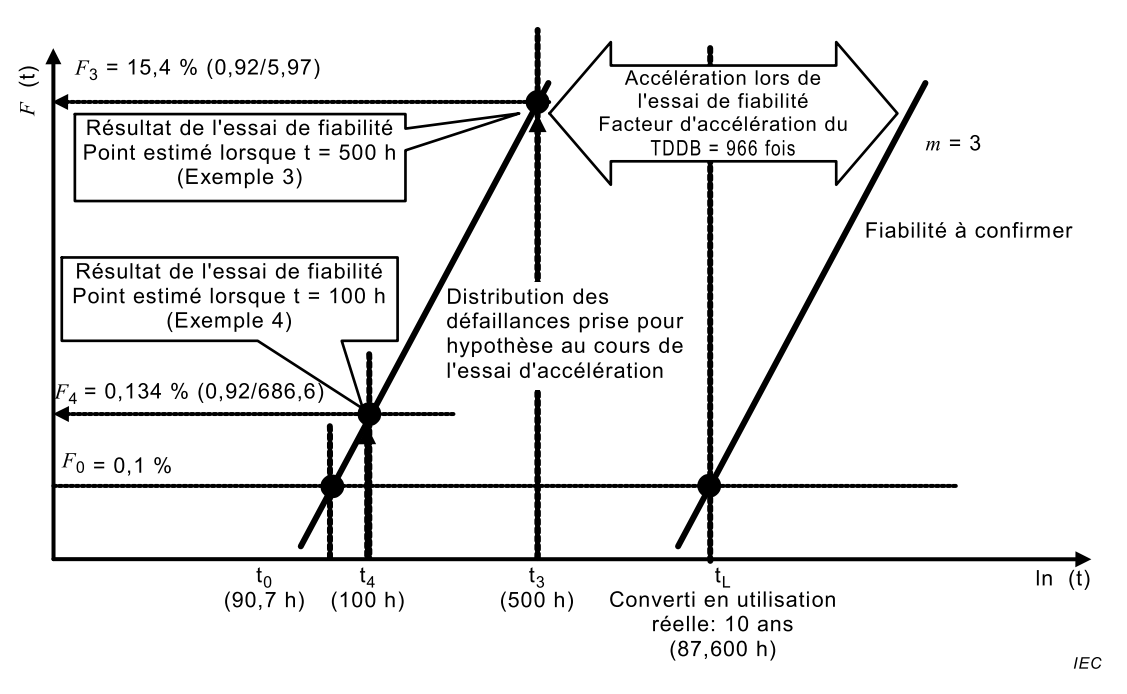


Figure 13 – Concept de l'essai de fiabilité sur un diagramme de Weibull (basé sur la durée d'essai)

#### 6.3 Méthodes d'essai de fiabilité

Le Tableau 3 et le Tableau 4 indiquent les méthodes d'essai de fiabilité avec des produits finis, ainsi que les principaux objectifs de chaque méthode. Les méthodes d'essai énumérées dans le Tableau 3 doivent être utilisées pour les essais réalisés en utilisant ce plan d'essai de fiabilité. Le Tableau 4 indique un exemple du nombre d'échantillons et de la durée d'essai avec des méthodes types de l'essai de fiabilité (durée de vie). Se reporter à chaque norme d'essai pour obtenir des détails complémentaires. Les échelles d'essai générales sont énumérées en tenant compte des normes industrielles, mais l'échelle peut être modifiée de manière flexible dès l'instant où il est possible de confirmer que la probabilité de défaillance cumulée de la défaillance par usure pendant la durée de vie utile est inférieure ou égale à 0,1 %. Cependant, pour modifier l'échelle de l'essai, il est nécessaire de pouvoir justifier statistiquement le niveau de confirmation de la défaillance par usure pendant la durée de vie utile. Dans la plupart des essais, les conditions de contrainte peuvent être accélérées par la tension, la température, l'humidité, etc. La fiabilité pendant la durée de vie utile peut être confirmée sur une courte période en utilisant ces conditions d'accélération. Le Tableau 4 indique un exemple du nombre d'échantillons et de la durée d'essai exigés pour confirmer la probabilité de défaillance par usure cumulée de 0,1 % pour un intervalle de temps de 10 ans, en prenant pour exemple des modèles et facteurs d'accélération des méthodes d'essai de fiabilité types (confirmation de durée de vie). Comme indiqué dans le tableau, la durée de vie peut être confirmée avec un petit nombre d'échantillons sur une courte période, selon le facteur d'accélération de l'essai. La bibliographie indique les ouvrages fournissant une description détaillée des modèles et facteurs d'accélération, auxquels il convient de se reporter lorsque nécessaire. Il faut noter que la précision du calcul de l'essai de durée de vie peut se dégrader lorsque le nombre d'échantillons est exagérément réduit si la valeur m est faible et que les variations de la distribution des défaillances sont importantes. Par conséquent, il est nécessaire de procéder à un échantillonnage en tenant compte de la distribution des défaillances par usure (voir Figure 14).

NOTE 1 Chaque essai du Tableau 4 ne contient qu'un seul mécanisme de défaillance pertinent détectable à partir de cet essai. Les différents mécanismes de défaillance sont pris en compte selon le même raisonnement et leurs taux de défaillance sont additionnés afin de représenter un ensemble réaliste de conditions d'essai et de tailles d'échantillon.

NOTE 2 Le document [1] donne en référence une description détaillée des modèles et facteurs d'accélération.

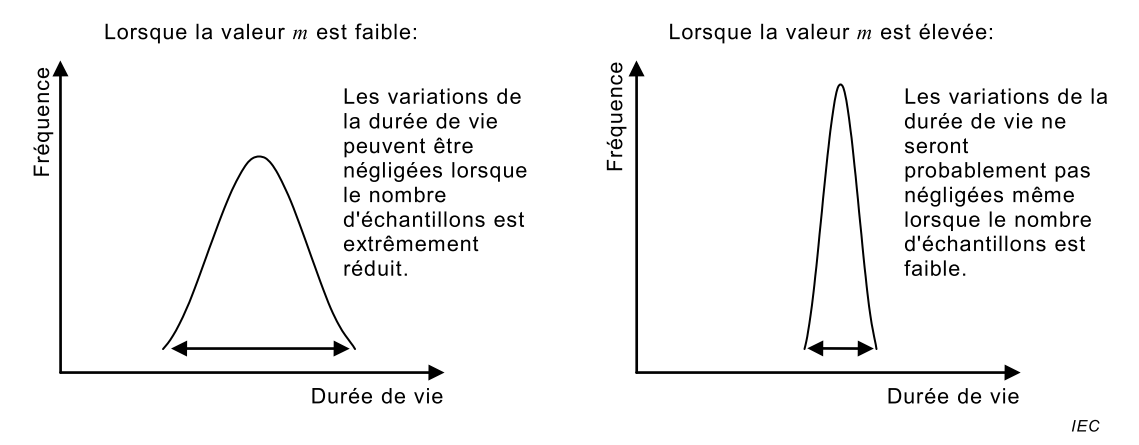


Figure 14 – Différence de tailles d'échantillonnage en fonction de la valeur m (image)

Comme la durée de vie utile est soigneusement étudiée au cours de la phase de conception, il est techniquement possible d'effectuer une appréciation de l'essai de fiabilité en utilisant des modèles représentatifs d'un nouveau produit utilisant la même norme de conception, avec les mêmes fonctions et dans la même installation que celle des produits existants pour lesquels il existe des dossiers d'appréciation des essais de fiabilité, sous réserve que le fournisseur et l'utilisateur de CI s'accordent sur l'identité et l'équivalence. Pour être plus précis, la fiabilité (durée de vie) des produits dont la conception des circuits s'est effectuée en utilisant le procédé existant de fabrication de plaquettes et la norme de conception existante sur la même installation, peut être appréciée avec les résultats de l'essai de fiabilité réalisé sur des produits existants antérieurs. Ainsi, en expliquant l'équivalence sur la base du résultat de l'analyse de la différence entre les produits antérieurs et les nouveaux produits, elle peut être considérée comme une «appréciation avec des modèles représentatifs».

Auparavant, les plaquettes et les puces vendues étaient soumises à un essai de fiabilité après l'encapsulation, mais aujourd'hui, l'élaboration d'une méthode permettant de réaliser un essai de fiabilité à l'état de plaquette nue est privilégié, en raison des problèmes tels que le délai total d'exécution de l'essai, y compris la création des échantillons d'essai. Le même concept d'essai avec boîtier étanche s'applique en principe, même lorsque l'essai de fiabilité est réalisé à l'état de plaquette nue. Cependant, comme il est nécessaire d'examiner les conditions d'essai lors de la réalisation des essais de durée de vie en fonctionnement des produits encapsulés, avec la température de jonction,  $T_{\rm j}$ , tenant compte de la résistance thermique du boîtier, une température appropriée de l'environnement d'essai,  $T_{\rm a}$ , tenant compte de la dissipation thermique par autoéchauffement, doit être définie lorsque l'essai est mené à l'état de plaquette nue. Les critères de défaillance doivent respecter les normes individuelles.

Tableau 3 – Principales méthodes d'essai de fiabilité (durée de vie) et objectifs visés

Méthode d'essai	Objectif	Mécanismes de défaillance		
Durée de vie en fonctionnement à haute température IEC 60749-23	Cet essai fournit les méthodes pour apprécier l'endurance des CI lorsqu'ils sont soumis à des contraintes électriques et thermiques de longue durée.	Dégradation du film d'oxyde au fil du temps par le champ électrique, migration de l'interconnexion de films métallisés		
température et humidité avec polarisation IEC 60749-5	Cet essai fournit les méthodes pour apprécier l'endurance des dispositifs à CI lorsqu'ils sont utilisés dans un environnement à température et humidité élevées.	Corrosion électrolytique de l'interconnexion de films métallisés, migration ionique entre l'interconnexion métallique, courant de fuite dû à l'eau		
Stockage de température et d'humidité IEC 60749-42	Cet essai fournit les méthodes pour apprécier l'endurance des CI sous boîtiers moulés en plastique lorsqu'ils sont utilisés dans un environnement à température et humidité élevées.	Corrosion de l'interconnexion de films métallisés, courant de fuite dû à l'eau		
Résistance des CMS à boîtier plastique à l'effet combiné de l'humidité et de la chaleur de brasage IEC 60749-20	Cet essai fournit les méthodes pour apprécier la résistance et l'endurance des CMS moulés en plastique après absorption de l'humidité pendant le stockage et après exposition à la contrainte de chauffage par brasage lors du montage sur la carte à circuits imprimés.	Fissures de boîtier, séparations à l'intérieur du boîtier		
Cycles de température IEC 60749-25	Cet essai fournit les méthodes pour apprécier l'endurance des CI lorsqu'ils sont exposés à des cycles répétés de variation thermique entre des températures hautes et basses.	Fissures de boîtier, fissures de puces		
Stockage à haute température IEC 60749-6	Cet essai fournit les méthodes pour apprécier l'endurance des CI lorsqu'ils sont stockés à haute température pendant une longue durée.	Echec de la rétention des données sur mémoire non volatile		

Tableau 4 – Exemples du nombre d'échantillons et de la durée d'essai avec des méthodes types de l'essai de fiabilité (durée de vie)

Méthode d'essai	Mode de défail- lance pris pour hypo- thèse	Distribu- tion des défail- lances	Paramètre d'accéléra- tion	For- mule d'accé- lération	Fac- teur d'accé- léra- tion		rmer la	durée d	de vie d	E LA FIA e 10 an cumulé	s avec	une
Durée de vie en	TDDB (claquage diélectri-	Distribu-	Energie d'activation: Ea = 0,7 eV	Formule (21)	77,8	Nombre d'échan -tillons	11	22	45	77	154	231
fonctionnemen t à haute température IEC 60749-23	que du film d'oxyde en fonction du temps)	tion de Weibull; m=3	Facteur d'accélératio n de tension: β = 4,0	Formule (22)	36,6	Durée d'essai (h)	136	108	84	70	55	48
Essai continu de durée de vie sous température et						Nombre d'échan -tillons	11	22	45	77	154	231
humidité avec polarisation IEC 60749-5 Stockage de température et d'humidité IEC 60749-42	midité avec colarisation du fin câblage métallique m = 1'humidité	Distribu- tion de Weibull; m = 4	tion de de la pression de Veibull;	Formule (23)	<sup>9</sup> 497,7	Durée d'essai (h)	538	450	358	329	276	250
Cycles de	Fracture	Distribu-	Accélération de la			Nombre d'échan -tillons	11	22	45	77	154	231
température IEC 60749-25	des fils dorés	tion de Weibull; m = 5	différence de température: n = 4	(24) 40,9	Durée d'essai (en cycles)	437	379	327	294	256	236	
Stockage à	Echec de la rétention des	Distribu-	Energie			Nombre d'échan -tillons	11	22	45	77	154	231
température IEC 60749-6	données sur mémoire non volatile	tion de Weibull; m=4	d'activation: Ea = 1,0 eV	Formule (21)	Formule (21) 2 816,7	Durée d'essai (h)	95	79	66	57	48	44

## Conditions préalables

Niveau de confirmation: probabilité de défaillance cumulée: inférieure ou égale à 0,1 %

Température moyenne de l'environnement d'utilisation:  $T_i$  = 55 °C,  $T_a$  = 40 °C

Température accélérée de l'environnement:  $T_{\rm j}$  = 125 °C (essai de durée de vie en fonctionnement);  $T_{\rm a}$  = 85 °C (essai d'humidité thermique);

 $T_a$  = 150 °C (essai d'exposition à haute température)

Humidité relative moyenne de l'environnement d'utilisation: 30 %

Humidité relative accélérée de l'environnement: 85 %

Différence de température de l'environnement d'utilisation: 85 °C

Différence de température accélérée de l'environnement: 215 °C (- 65 °C ↔ 150 °C)

Variations dans l'environnement de température: deux fois/jour

Tension de travail: 2,5 V Tension d'accélération: 3,4 V

 $Accélération \ du \ cycle \ de \ température \ avec \ 40 \ ^{\circ}C/30 \ \% \ d'humidité \ relative \ et \ 85 \ ^{\circ}C/30 \ \% \ d'humidité \ relative \ et \ relative \ relative \ relativ$ 

Pression de vapeur à 85 °C/85 % d'humidité relative: 49,37 kPa et 40 °C/30 % d'humidité relative: 2,213 kPa

#### 6.4 Modèles d'accélération pour les essais de fiabilité

#### 6.4.1 Modèle d'Arrhenius

$$\alpha_{\rm T} = \exp\left[\frac{E_{\rm a}}{k} \times \left(\frac{1}{T_{\rm l}} - \frac{1}{T_{\rm 2}}\right)\right] \tag{38}$$

où:

Ea Energie d'activation pour le mécanisme de défaillance pertinent modélisé

k Constante de Boltzmann

T<sub>1</sub> Température absolue en utilisation réelle

T2 Température absolue en essai sous contrainte

#### 6.4.2 Modèle V:

$$\alpha_{V} = \exp[\beta \times (V_2 - V_1)] \tag{39}$$

où:

β Constante dépendant du matériau diélectrique, de la structure du dispositif, etc.

V<sub>1</sub> Tension en utilisation réelle

V<sub>2</sub> Tension en essai sous contrainte

## 6.4.3 Modèle de pression de vapeur d'eau absolue

$$\alpha_{\mathsf{Vp}} = \left(\frac{V_{\mathsf{p2}}}{V_{\mathsf{p1}}}\right)^{\mathsf{n}} \tag{40}$$

où:

 $V_{\rm p1}$  Pression de vapeur d'eau dans l'environnement d'utilisation réel

 $V_{p2}$  Pression de vapeur d'eau dans l'environnement d'essai

n Exposant d'accélération (déterminé de manière empirique)

#### 6.4.4 Modèle de Coffin-Manson

$$\alpha_{\Delta T} = \left(\frac{\Delta T_2}{\Delta T_1}\right)^{m} \tag{41}$$

où:

ΔT<sub>1</sub> Différence de température en utilisation réelle

ΔT<sub>2</sub> Différence de température en essai sous contrainte

m Exposant de Coffin-Manson dépendant de la dureté du matériau

#### 7 Méthodes d'essai sous contrainte

Contrairement à l'essai de fiabilité (par exemple le TDDB) qui est conçu pour confirmer la durée de vie par rapport à un mécanisme de défaillance donné, l'essai sous contrainte (par exemple l'essai de durée de vie en fonctionnement sous température élevée (HTOL, High-Temperature Operating Life) ou l'essai continu de durée de vie sous température et humidité avec polarisation (THB, Temperature Humidity Bias)) vise à confirmer la tolérance (résistance) aux contraintes mécaniques et environnementales exercées dans le cadre des

procédés des clients ou sur le terrain, et n'est pas destiné à confirmer des mécanismes de défaillance spécifiques qui progressent au fil des heures de fonctionnement. En général, l'essai sous contrainte ne confirme pas la fiabilité en fixant un taux de défaillance cible, mais il juge davantage la fiabilité en fonction de la catégorie de produit déterminée par la résistance ou l'acceptation par rapport à des valeurs normalisées. Le nombre d'échantillons d'essai est traditionnellement déterminé sur la base de la norme d'échantillonnage de la proportion de produits défectueux tolérés dans un lot (LTPD. Lot Tolerance Percent Defective), avec un LTPD de 10 %, et le Tableau 5 indique un nombre d'acceptation pour Ac = 0. Cependant, contrairement aux défauts de fabrication, la distribution de la résistance est déterminée par les matériaux et les structures, et n'est donc pas sujette à d'importantes variations. Cette règle s'applique aux essais au cours desquels la résistance est déterminée par la conception des circuits, l'agencement des circuits et les structures des dispositifs (par exemple claquage électrostatique). Les conditions d'essai sous contrainte simulent les contraintes subies sur le terrain et sont définies de manière plus stricte que les contraintes réellement exercées sur le terrain. Certains essais, tels que l'essai de brasabilité, fixent des conditions plus strictes que celles existant dans l'environnement réel de prétraitement et, de ce fait, les risques réels sont faibles. A titre d'exemple, une échelle d'essai suffisante peut être obtenue en n'utilisant que 5 échantillons avec un LTPD de 50 % ou 11 échantillons avec un LTPD de 20 %. Pour les essais susceptibles de produire différents résultats en fonction des variations de matériaux, il suffit de tenir compte de facteurs tels que la détermination de la taille de l'échantillonnage en tenant compte des variations de matériaux. Par exemple, comme le résultat de l'essai sous contrainte des bornes dépend de l'épaisseur des bornes, les risques liés à la réduction du nombre d'échantillons peuvent être diminués en tenant compte des variations, en menant l'essai avec des échantillons créés avec la limite inférieure (échantillons minces) des spécifications d'épaisseur. Le Tableau 6 indique les principales méthodes d'essai de fiabilité (résistance). Les méthodes d'essai énumérées dans le Tableau 6 doivent être utilisées pour les essais réalisés en utilisant ce plan d'essai de fiabilité.

Tableau 5 – Echantillonnage en fonction du LTPD avec nombre d'acceptation Ac = 0

LTPD	50 %	20 %	10 %
Taille d'échantillon	5	11	22

Tableau 6 – Principales méthodes d'essai de fiabilité (résistance) et objectifs visés

Méthode d'essai	Objectif	Mécanismes de défaillance
Résistance à la température de soudage pour dispositifs par trous traversants IEC 60749-15	Cet essai fournit les méthodes pour apprécier la résistance à la chaleur agissant sur les CI au cours du brasage.	Fissures de boîtier, séparations à l'intérieur du boîtier
Brasabilité IEC 60749-21	Cet essai fournit les méthodes pour apprécier la brasabilité des bornes des CI	Défaillance du brasage de la borne
Essai de sensibilité aux décharges électrostatiques (DES) – Modèle du corps humain (HBM, Human Body Model) IEC 60749-26	Cet essai prescrit un mode opératoire pour apprécier l'endurance d'un CI aux décharges électrostatiques du corps humain lorsque le CI est manipulé jusqu'à montage dans un équipement électronique.	Rupture de liaison par diffusion principalement, destruction du film d'oxyde
Essai de sensibilité aux décharges électrostatiques (DES) – Modèle de dispositif chargé par contact direct (DC- CDM, Direct Contact Charged Device Model)	Cet essai spécifie la méthode pour clarifier la résistance lorsque les circuits intégrés sont exposés aux décharges électrostatiques du modèle de dispositif chargé pendant la manipulation jusqu'au montage des circuits dans l'équipement électronique.	Destruction du film d'oxyde principalement
Essai de verrouillage IEC 60749-29	Cet essai définit les méthodes d'appréciation de la susceptibilité de verrouillage des CI avec la structure CMOS (Complementary Metal Oxide Semiconductor).	Fusion de l'interconnexion et rupture de jonction principalement dues à une surintensité

# 8 Essais supplémentaires

Le Tableau 7 indique les méthodes d'essai supplémentaires ainsi que leur objectif. Bien qu'il s'agisse de méthodes établies, leur utilisation dans le cadre d'essais de fiabilité est discutable en raison de l'absence de corrélation pour la détection des défaillances des CI ou de leur duplication à d'autres méthodes d'essai. Par conséquent, ces méthodes d'essai sont classées dans la catégorie des «essais supplémentaires» dans les présentes lignes directrices, avec un niveau de priorité inférieur.

Tableau 7 – Essais supplémentaires

Méthode d'essai	Objectif	Principales défaillances détectables		
Froid IEC 60068-2-1	Cet essai fournit les méthodes pour apprécier l'endurance des CI lorsqu'ils sont stockés à basse température pendant une longue période.	En général, aucun mode de défaillance des CI n'apparaît lors de l'exposition à une basse température.		
Essai cyclique de chaleur humide (cycle de 12 h + 12 h) IEC 60068-2-30	Cet essai fournit la méthode pour apprécier l'endurance des CI lorsqu'ils sont exposés à des variations de température sous des conditions de forte humidité.	Fissures dues à la respiration du boîtier et au gel.		
Variations rapides de température – Méthode des deux bains IEC 60749-11	Cet essai fournit la méthode pour apprécier l'endurance des CI lorsqu'ils sont soumis à des variations rapides de température.	Fissures des boîtiers		

# 9 Tableau récapitulatif des hypothèses

Le Tableau 8 dresse un récapitulatif des hypothèses telles que les formules de calcul et les valeurs numériques (voir Bibliographie, document [4]).

Tableau 8 – Facteurs d'accélération, formules de calcul et valeurs numériques<sup>a</sup>

Facteur d'accélération	Modèle d'accélération	Coefficient (valeur de référence)	Remarques
Température	Modèle d'Arrhenius	Ea: 1,0 eV à 1,26 eV	Alliage Al-Au
	$TTF = A \times exp\left(\frac{E_a}{k \times T}\right)$	Ea: 0,55 eV à 0,6 eV	Electromigration de l'Al
	( <b>K</b> × I )	Ea: 0,8 eV à 1,0 eV	Electromigration du Cu
		Ea: 0,7 eV à 0,9 eV	Corrosion de l'Al (entrée d'humidité)
		Ea: 0,3 eV à 1,1 eV	Claquage diélectrique du film d'oxyde en fonction du temps (TDDB)
		Ea: -0,1 eV à -0,2 eV	Injection de porteurs chauds (HCI, Hot Carrier Injection)
Champ électrique	Modèle E (modèle Vg)	γ: 2 cm/MV à 4 cm/MV	
(tension)	$TTF = A \times \exp(-\gamma \times E_{ox})$	β: 3/V à 8/V	TDDB de l'oxyde de grille (Tox > 5 nm)
	$TTF = A \times exp \Big( -\phi \times V_{g} \Big)$	·	(10% > 3 1111)
	Modèle $V_{ m g}^{-n}$ (modèle de loi exponentielle)	N: 30 à 50	TDDB de l'oxyde de grille ultramince
	$TTF = A \times V_{g}^{-n}$	N. 00 a 00	(Tox < 2 nm)
Différence de température	Modèle d'accélération de la différence de température	n: 6 à 7,5	Glissement de l'Al
tomporaturo	$TTF = A \times \Delta T^{-n}$	n: 4,4 à 11	Fissures du film intercouche
	, 2.	n: 4 à 7	Fracture des fils dorés
		n = 5	Fissures des boîtiers
	Modèle de Coffin-Manson modifié [6]	m = 1/3	Fatigue thermique par brasage
	(modèle de Norris-Landzberg)	n = 1,9	
	$TTF = A \times f^{m} \times \Delta T^{-n} \times exp\left(\frac{E_{a}}{k \times T_{max}}\right)$		
Humidité (vapeur d'eau)	Modèle de pression de vapeur d'eau absolue	n = 2	
	$TTF = A \times V_{p}^{-n}$		
	Modèle d'humidité relative	n: 4 à 6	
	$TTF = A \times RH^{-n} \times exp\left(\frac{E_a}{k \times T}\right)$	n: 2,7 à 3,0	Corrosion de l'Al
Courant électrique	Modèle de Black	n: 1 à 3	Electromigration de l'Al
electrique	$TTF = A \times J^{-n} \times exp\left(\frac{E_a}{k \times T}\right)$	n: 1 à 2	Electromigration du Cu
	Modèle de courant de substrat	n: 2 à 4	Injection de porteurs chauds (NMOS, N-type Metal Oxide
	$TTF = A \times I_{sub}^{-n}$		Semiconductor)

<sup>a</sup> Une défaillance à basse température peut être due à l'injection de porteurs chauds. Cependant, son énergie d'activation est suffisamment basse et la condition de tension de contrainte est limitée dans le produit réel. Les facteurs à considérer lors de la conception des circuits afin d'éviter cette défaillance sont suffisamment bien connus pour savoir que cette défaillance n'est pas un mode de défaillance dominant.

#### 10 Résumé

Le présent document décrit des méthodes qui permettent d'apprécier la fiabilité et la qualité des CI. Des catégories de produits ont été définies pour les applications automobiles et les applications générales en tant qu'objectif de fiabilité. La catégorie Utilisation dans le secteur automobile a également été scindée en deux sous-catégories qui dépendent des applications. Les heures de fonctionnement annuelles, la durée de vie utile, etc., ont été prises pour hypothèse pour chaque catégorie afin de définir des méthodes de vérification pour chaque taux de défaillance précoce et chaque défaillance par usure.

En général, les CI tendent le plus souvent à engendrer des défaillances en mode de défaillance précoce, alors que les défaillances aléatoires et les défaillances par usure sont peu fréquentes.

Comme les défaillances précoces sont principalement dues aux défauts de fabrication, le taux de défaillance précoce peut être réduit en dépistant les défaillances potentielles. Pour ce qui concerne la défaillance par usure, l'essai de fiabilité qui accélère les conditions environnementales telles que la tension, la température et l'humidité, permet de confirmer que la défaillance ne survient pas au cours de la période durable.

Le taux de défaillance précoce peut être estimé statistiquement en utilisant les caractéristiques convergentes obtenues à partir de la probabilité de défaillance par dépistage dans chaque procédé, tel que le sondage et le rodage, ainsi que les facteurs d'accélération en fonction des modes de défaillance, et les conditions et la durée de dépistage nécessaires pour atteindre le taux de défaillance précoce ciblé peuvent être fixées. La défaillance par usure peut être vérifiée avec un petit nombre d'échantillons sur une courte période en fixant la tension, la température et l'humidité sur la plage de contraintes appropriée en fonction des modes de défaillance, afin de confirmer et d'appliquer la contrainte qui accélère la contrainte réellement exercée sur le terrain. Si le facteur d'accélération est important, la durée d'essai ou le nombre d'échantillons nécessaires pour l'essai de fiabilité peuvent être réduits sans être liés par le traditionnel concept des 1 000 h, en prêtant une attention suffisante à la précision de l'essai, par exemple les variations de la distribution des défaillances.

Le but de la publication des présentes lignes directrices est de démontrer que les coûts et la période de l'essai de fiabilité peuvent être réduits en appliquant une durée d'essai et un nombre d'échantillons appropriés pour l'essai de fiabilité, conformément aux méthodes énoncées dans les présentes lignes directrices, et qu'il est important de dépister précisément les défaillances précoces qui déterminent la qualité réellement perçue sur le terrain. Il est toutefois important de vérifier les motifs du facteur d'accélération, le paramètre de forme de la loi de Weibull, etc., qui ont été utilisés pour décider des conditions de dépistage ou des conditions de l'essai de fiabilité, non limitées à la défaillance précoce et à la défaillance par usure, et pour pouvoir justifier la validité de l'essai.

## Bibliographie

- [1] IEC 60068-2-1, Essais d'environnement Partie 2-1: Essais: Essai A: Froid
- [2] IEC 60068-2-30, Essais d'environnement Partie 2-30: Essais: Essai Db: Essai cyclique de chaleur humide (cycle de 12 h + 12 h)
- [3] IEC 60749-11, Dispositifs à semiconducteurs Méthodes d'essais mécaniques et climatiques Partie 11: Variations rapides de température Méthode des deux bains
- [4] JEITA EDR-4704A, Application Guide of the Accelerated Life Test for Semiconductor Devices, Japan Electronics and Information Technology Industries Association (JEITA), 2007 (disponible en anglais seulement)
- [5] JEDEC JESD 94A, Application Specific Qualification Using Knowledge Based Test Methodology, 2007 (disponible en anglais seulement)
- [6] JEDEC JEP122, Failure Mechanisms and Models for Semiconductor Devices (disponible en anglais seulement)
- [7] JP001, Foundry process qualification guidelines (Wafer Fabrication Manufacturing Sites), publication conjointe JEDEC/FSA (disponible en anglais seulement)
- [8] IECQ (Parties 01-03) IEC Quality Assessment System for Electronic Components (IECQ System) (disponible en anglais seulement)
- [9] JEDEC JESD74, Early Life Failure Rate Calculation (disponible en anglais seulement)
- [10] JEITA EDR-4705, Report on Failure Mechanism of LSI and Reliability Test Method (disponible en anglais seulement)
- [11] JEDEC JESD47, Failure mechanism based stress test qualification for integrated circuits (disponible en anglais seulement)
- [12] JEDEC JEP122, Failure Mechanisms and Models for Semiconductor Devices (disponible en anglais seulement)
- [13] JEDEC JESD85, Calculating Failure Rates in Units of FITS (disponible en anglais seulement)
- [14] JEITA EDR-4708, Guideline for LSI Reliability Qualification Plan (disponible en anglais seulement)
- [15] AEC Q100, Stress Test Qualification for Integrated Circuits (disponible en anglais seulement)

# INTERNATIONAL ELECTROTECHNICAL COMMISSION

3, rue de Varembé PO Box 131 CH-1211 Geneva 20 Switzerland

Tel: +41 22 919 02 11 Fax: +41 22 919 03 00 info@iec.ch www.iec.ch